



Lehrstuhl für Umformtechnik

Masterarbeit

Digitalisierung eines Walzwerks mit der  
Retrofitting Methode



Marcel Sorger, BSc

September 2020



**EIDESSTÄTTLICHE ERKLÄRUNG**

Ich erkläre an Eides statt, dass ich diese Arbeit selbständig verfasst, andere als die angegebenen Quellen und Hilfsmittel nicht benutzt, und mich auch sonst keiner unerlaubten Hilfsmittel bedient habe.

Ich erkläre, dass ich die Richtlinien des Senats der Montanuniversität Leoben zu "Gute wissenschaftliche Praxis" gelesen, verstanden und befolgt habe.

Weiters erkläre ich, dass die elektronische und gedruckte Version der eingereichten wissenschaftlichen Abschlussarbeit formal und inhaltlich identisch sind.

Datum 21.09.2020

---

Unterschrift Verfasser/in  
Marcel, Sorger

## **Danksagung**

An dieser Stelle möchte ich mich bei all jenen bedanken, die mich im Laufe meines Studiums und beim Verfassen meiner Masterarbeit unterstützt haben.

Mein Dank gebührt meinen Betreuern DDI Benjamin Ralph und Univ.-Prof. Dipl.-Ing. Dr.techn. Martin Stockinger für die hilfreichen Anregungen, tatkräftige Unterstützung und konstruktive Kritik, die diese Masterarbeit erst möglich gemacht hat.

Des Weiteren möchte ich bei meinen Eltern, meiner Familie und meinen Freunden für die Unterstützung und den Rückhalt bedanken, ohne die mein akademischer und persönlicher Werdegang nur schwer vorstellbar gewesen wäre.

## Kurzfassung

Durch die Einführung des Begriffes der Industrie 4.0 in 2011 werden in der Technik vermehrt Anstrengungen unternommen, um IT-Technologien stärker zu integrieren, um Prozesse zu automatisieren, digitalisieren und optimieren. Das Walzen zählt zu einem der bedeutendsten Umformerfahren in der metallverarbeitenden Industrie. Bei älteren Walzwerken, die heute noch oft zum Einsatz kommen, besteht die Möglichkeit eines Upgrades auf den Stand der Industrie 4.0 durch ein „Retrofitting“. Ein „Retrofitting“ eines Walzwerkes macht dann wirtschaftlich Sinn, wenn das zu modernisierende Walzwerk seine Anforderungen noch ausreichend erfüllt und die Kosten der Anschaffung eines neuen Walzwerkes die Kosten des „Retrofittings“ überschreitet. Dazu wird das zu modernisierende Walzwerk mit einer auf die zu messenden Zustandsgrößen abgestimmten Sensorik ausgestattet, deren Daten durch eine geeignete Software gesammelt, ausgewertet und analysiert werden können. Dies kann durch die digitale Abbildung des Prozesses in Form eines „Digital Shadows“ (DS) oder „Digital Twins“ (DT) und die Integration in ein „Cyber Physical Production System“ (CPPS) erreicht werden.

Diese Masterarbeit befasst sich mit der Konzipierung und Implementierung eines „Digital Twins“ durch ein „Retrofitting“ des Walzwerkes am Lehrstuhl für Umformtechnik an der Montanuniversität Leoben. Im Zuge dieser Masterarbeit werden zwei Konzipierungen zur Sensorik und Programmierung vorgestellt, die mittels „Proof of Concept“ (POC) beweisen sollen, dass auch „Open-Source“-Programmiersprachen mittlerweile ausgereift genug sind, um ein CPPS abbilden zu können. Des Weiteren wird die Implementierung eines erarbeitenden Konzeptes am Walzwerk behandelt, um dieses auf einen Industrie 4.0 Stand zu bringen.

## Abstract

With the introduction of the term Industry 4.0 in 2011, more efforts are being made to integrate IT technologies to automate, digitize and optimize processes. Rolling is one of the most important forming processes in the metal forming industry. In the case of older rolling mills, which are still frequently used today, there is the possibility of upgrading to the Industry 4.0 standard by means of a "retrofitting". A "retrofitting" of a rolling mill makes economic sense if the rolling mill to be modernized still sufficiently meets its requirements and the costs of purchasing a new rolling mill exceed the costs of the "retrofitting". For this purpose, the rolling mill to be modernized is equipped with a sensor system adapted to the condition variables to be measured and suitable software so the data can be collected, evaluated and analyzed. This can be done by digitally depict the process in the form of a "Digital Shadow" (DS) or "Digital Twin" (DT) and the integration into a "Cyber Physical Production System" (CPPS).

This master thesis deals with the designing and realizing of a digital twin through a "retrofitting" of the rolling mill at the Chair of Metal Forming at the Montanuniversitaet Leoben. During this master thesis, two concepts for sensor technology and programming are carried out, which will by means of "Proof of Concept" (POC) show that today's Open-Source-Programming-Languages are mature enough to depict a CPPS. Furthermore, the implementation of one concept is realized in order to bring the existing rolling mill system up to the state of Industry 4.0.

# Inhaltverzeichnis

<b>1.</b>	<b>Einleitung</b> .....	<b>10</b>
<b>2.</b>	<b>Stand der Technik</b> .....	<b>11</b>
<b>3.</b>	<b>Grundlagen</b> .....	<b>14</b>
3.1.	Umformtechnische Grundbegriffe .....	14
3.2.	Walzen .....	16
3.3.	Sensorik .....	26
3.3.1.	Wirbelstromsensor .....	28
3.3.2.	Linearpotentiometer .....	29
3.3.3.	Kraftmessdose .....	30
3.3.4.	Drehmomentsensor .....	32
3.3.5.	Drehzahlsensor .....	33
3.3.6.	Winkelsensor .....	33
3.3.7.	Drucksensor .....	33
3.4.	A/D-Wandler .....	33
3.5.	Industrie 4.0.....	36
<b>4.</b>	<b>Walzwerk</b> .....	<b>38</b>
<b>5.</b>	<b>Software</b> .....	<b>40</b>
<b>6.</b>	<b>Konzipierung</b> .....	<b>41</b>
6.1.	Konzept 1.....	41
6.1.1.	Sensorik .....	41
6.1.2.	Programmierung .....	45
6.1.2.1.	Modul „neues_projekt“ .....	46
6.1.2.2.	Modul „sensorkoordinaten“ .....	46
6.1.2.3.	Modul „sensoredata“ .....	48
6.1.2.4.	Modul „zeitschritte“ .....	49
6.1.2.5.	Modul „berechnung_kreis“ .....	49
6.1.2.6.	Modul „berechnung“ .....	50
6.1.2.7.	Modul „diagramme“ .....	50

---

6.1.2.8. Modul „visualisierung_walze“ .....	50
6.1.2.9. Modul „walzspaltzustellung“ .....	51
6.1.3. Auswertung und Ergebnisse .....	51
6.2. Konzept 2 .....	58
6.2.1. Sensorik .....	58
6.2.2. Programmierung .....	59
6.2.2.1. Modul „neues_projekt“ .....	60
6.2.2.2. Modul „sensordata“ .....	61
6.2.2.3. Modul „zeitschritte“ .....	61
6.2.2.4. Modul „berechnung“ .....	61
6.2.2.5. Modul „diagramme“ .....	62
6.2.2.6. Modul „walzspaltzustellung“ .....	62
6.2.3. Auswertung und Ergebnisse .....	62
<b>7. Implementierung .....</b>	<b>65</b>
7.1. Linearpotentiometer .....	65
7.2. Winkelsensor .....	67
7.3. Kraftmessdosens .....	68
7.4. Datenerfassung .....	73
<b>8. Auswertung und Ergebnisse.....</b>	<b>77</b>
<b>9. Zusammenfassung und Ausblick .....</b>	<b>79</b>
<b>Abbildungsverzeichnis .....</b>	<b>81</b>
<b>Tabellenverzeichnis .....</b>	<b>83</b>
<b>Literaturverzeichnis.....</b>	<b>84</b>
<b>Anhang .....</b>	<b>89</b>
Anhang A: Python-Code Konzept 1 .....	89
Anhang B: Python-Code Konzept 2 .....	112
Anhang C: Implementierter Python-Code basierend auf Konzept 2.....	123
Anhang D: Datenblätter .....	144

## Abkürzungsverzeichnis

Zeichen	Einheit	Beschreibung
$\mu$	[-]	Reibungskoeffizient
A	[mm <sup>2</sup> ]	Fläche
a	[mm]	Standardabstand zwischen Wirbelstromsensor und Walzenoberfläche
b	[mm]	Walzgutbreite
b <sub>0</sub>	[mm]	Anfangsbreite
b <sub>1</sub>	[mm]	Endbreite
C	[MN/mm]	Gerüstmodul
c <sub>p</sub>	[J/(kg*K)]	Spezifische Wärmekapazität
d	[mm]	Durchmesser
d <sub>w</sub>	[mm]	Walzendurchmesser
E	[N/mm <sup>2</sup> ]	Elastizitätsmodul
F	[N]	Kraft
F <sub>id</sub>	[N]	Ideelle Umformkraft
F <sub>max</sub>	[N]	Maximale Walzkraft des Walzwerkes
F <sub>N</sub>	[N]	Normalkraft
h	[mm]	Walzguthöhe
h <sub>0</sub>	[mm]	Anfangshöhe
h <sub>0</sub> '	[mm]	Einlaufdicke des Walzgutes
h <sub>0</sub> ''	[mm]	Einlaufdicke des Walzgutes
h <sub>1</sub>	[mm]	Endhöhe
h <sub>1</sub> '	[mm]	Auslaufdicke des Walzgutes
h <sub>1</sub> ''	[mm]	Auslaufdicke des Walzgutes
I	[mm <sup>4</sup> ]	Flächenträgheitsmoment
k <sub>f</sub>	[N/mm <sup>2</sup> ]	Fließspannung
k <sub>fm</sub>	[N/mm <sup>2</sup> ]	Mittlere Fließspannung
k <sub>w</sub>	[N/mm <sup>2</sup> ]	Formänderungswiderstand
l	[m]	Länge
l <sub>0</sub>	[mm]	Anfangslänge
l <sub>1</sub>	[mm]	Endlänge
l <sub>B</sub>	[mm]	Ballenlänge der Walze

---

$l_d$	[mm]	Gedrückte Länge
$m$	[kg]	Masse
$R$	[mm]	Walzenradius
$R_B$	[ $\Omega$ ]	Bürdenwiderstand
$R_W$	[ $\Omega$ ]	Widerstandsbahnwiderstand
$R_X$	[ $\Omega$ ]	Schleifkontaktwiderstand
$s_0$	[mm]	Walzspaltöffnung
$T$	[ $^{\circ}\text{C}$ ]	Temperatur
$T_m$	[ $^{\circ}\text{C}$ ]	Schmelztemperatur
$U$	[V]	Elektrische Spannung
$u_1$	[mm]	Messwert des Wirbelstromsensors 1
$u_2$	[mm]	Messwert des Wirbelstromsensors 2
$u_3$	[mm]	Messwert des Wirbelstromsensors 3
$U_a$	[V]	Schleifkontaktspannung
$U_s$	[V]	Angelegte Spannung
$V$	[ $\text{mm}^3$ ]	Volumen
$v$	[m/s]	Geschwindigkeit
$v_0$	[m/s]	Eintrittsgeschwindigkeit des Walzgutes
$v_1$	[m/s]	Austrittsgeschwindigkeit des Walzgutes
$v_{st}$	[1/s]	Umformgeschwindigkeit
$w_{max}$	[mm]	Maximale Durchbiegung der Walze
$W_Q$	[J]	Wärmeenergie
$W_U$	[J]	Umformenergie
$x$	[mm]	Position des Schleifkontaktes auf der Widerstandsbahn
$x_{1,i}$	[mm]	x-Koordinate des Sensormesspunktes 1 in der Ebene $x_i$
$x_{2,i}$	[mm]	x-Koordinate des Sensormesspunktes 2 in der Ebene $x_i$
$x_{3,i}$	[mm]	x-Koordinate des Sensormesspunktes 3 in der Ebene $x_i$
$x_i$	[mm]	x-Ebene der Wirbelstromsensoren
$x_{max}$	[mm]	Widerstandsbahnlänge
$y_{1,i}$	[mm]	y-Koordinate des Sensormesspunktes 1 in der Ebene $x_i$
$y_{2,i}$	[mm]	y-Koordinate des Sensormesspunktes 2 in der Ebene $x_i$
$y_{3,i}$	[mm]	y-Koordinate des Sensormesspunktes 3 in der Ebene $x_i$
$z_{1,i}$	[mm]	z-Koordinate des Sensormesspunktes 1 in der Ebene $x_i$
$z_{2,i}$	[mm]	z-Koordinate des Sensormesspunktes 2 in der Ebene $x_i$

$z_{3,i}$	[mm]	z-Koordinate des Sensormesspunktes 3 in der Ebene $x_i$
$\alpha$	[°]	Greifwinkel
$\alpha_s$	[°]	Anstellwinkel des Wirbelstromsensors
$\Delta F$	[N]	Änderung der Kraft
$\Delta h$	[mm]	Höhenänderung
$\Delta h_{\max}$	[mm]	Maximale Höhenänderung
$\Delta l$	[mm]	Längenänderung
$\Delta s_i$	[mm]	Anstellungsänderung
$\Delta t$	[s]	Änderung der Zeit
$\Delta \vartheta$	[K]	Temperaturerhöhung
$\Delta \varphi$	[-]	Änderung des Umformgrades
$\varepsilon$	[-]	Dehnung
$\varepsilon_I, \varepsilon_{II}, \varepsilon_{III}$	[-]	Hauptnormaldehnungen
$\rho$	[kg/m <sup>3</sup> ]	Dichte
$\sigma$	[N/mm <sup>2</sup> ]	Spannung
$\sigma_h$	[N/mm <sup>2</sup> ]	Horizontalspannung
$\sigma_I, \sigma_{II}, \sigma_{III}$	[N/mm <sup>2</sup> ]	Hauptnormalspannungen
$\sigma_v$	[N/mm <sup>2</sup> ]	Vertikalspannung
$\sigma_x$	[N/mm <sup>2</sup> ]	Spannung in x-Richtung
$\sigma_y$	[N/mm <sup>2</sup> ]	Spannung in y-Richtung
$\varphi$	[-]	Umformgrad
$\dot{\varphi}$	[1/s]	Umformgeschwindigkeit
$\varphi_{\max}$	[-]	Maximaler Umformgrad

# 1. Einleitung

Im Zuge der vierten industriellen Revolution, der Industrie 4.0, kommt es zu einer fortschreitenden Digitalisierung von Prozessen, bei denen vor allem eine systemübergreifende Kommunikation zwischen verschiedenen Prozessen, aber auch jene zwischen Menschen und Prozess im Vordergrund stehen [44].

Aus diesem Grund wurde der Entschluss gefasst, das Walzwerk am Lehrstuhl für Umformtechnik an der Montanuniversität Leoben auf den Stand der Industrie 4.0 zu bringen, um dieses für Forschung und Lehre künftig besser nutzen zu können. Die Ziele dieser Masterarbeit bestehen daher in der Erarbeitung eines geeigneten Konzeptes der Sensorik, in der Programmierung der Datenerfassung, -auswertung und -visualisierung in einer „Open-Source“-Programmiersprache, sowie einer geeigneten Implementierung, um ein „Cyber Physical Production System“ (CPPS) zu erschaffen [29].

Hierfür wurden Überlegungen zu den zu messenden Größen angestellt und wie es möglich gemacht werden kann, diese mittels geeigneter Sensorik zu erfassen. In der Folge wurden Prototypen zur Programmierung entwickelt, welche diese Daten analysieren, auswerten und visualisieren können, um diese auch dem Bediener leicht zugänglich zu machen.

Im zweiten Kapitel wird ein kurzer Überblick über den Stand der Technik gegeben, gefolgt von einer Übersicht über die technischen Grundlagen, die für diese Masterarbeit von Relevanz sind. Darauf folgt eine Übersicht über den derzeitigen Stand des Walzwerkes (Kapitel 4) und eine Erläuterung der Motivation eine „Open-Source“-Programmiersprache (Kapitel 5) zu verwenden. Das Kernstück der Arbeit wird in Kapitel 6 behandelt, die Konzipierung der Sensorik, die Programmierung sowie deren Ergebnisse mit einem theoretischen „Proof of Concept“, gefolgt von der Auswertung und den Ergebnissen (Kapitel 7). In Kapitel 8 wird die Implementierung der Sensorik und Software des aus Kapitel 6 erarbeiteten Konzeptes behandelt, um den „Proof of Concept“ zu erbringen. Abschließend wird die Masterarbeit in Kapitel 9 mit einer Zusammenfassung der Arbeit und einem Ausblick abgeschlossen.

## 2. Stand der Technik

Der Begriff Industrie 4.0, steht für eine vermehrte Durchdringung von Informationstechnologie (IT) in der Industrie [33].

Durch den wachsenden Einsatz von IT soll im Zuge der vierten industriellen Revolution mittels neuer Technologien die Digitalisierung und Vernetzung der Industrie vorangetrieben werden [7, 34].

Hierzu werden bereits etablierte Technologien der dritten industriellen Revolution, wie etwa Sensoren und Aktoren, mit neuen digitalen Technologien kombiniert, um wirtschaftliche, betriebliche und produktionsspezifische Daten zu gewinnen, verarbeiten und analysieren [34].

Neben dem Sammeln, Verarbeiten und Analysieren von Daten stehen viele weitere vielseitige und facettenreiche Ziele und Schwerpunkte im Fokus, welche mit Industrie 4.0 Ansätzen realisiert werden sollen – Kundenvernetzung, Produkt- und Produktionsablaufveränderungen, Produktinnovationen, Abstimmung und Vereinheitlichung von Prozessen und Systemen, Automatisierung von Transportsystemen, Selbststeuerung und Automatisierung des Produktionsprozesses [33] – um nur einige davon zu nennen.

Eine digitale Vernetzung verändert die Grundfunktionen einer Maschine nicht, sondern steuert neue unterstützende Zusatzfunktionen bei [36].

Als „Enabler“ für solch eine intelligente Vernetzung agieren sogenannte „Embedded Systems“ [36]. „Embedded Systems“ sind Steuerzentralen, welche im Hintergrund ohne das externe Zutun Steuer- und Überwachungsaufgaben übernehmen. Sie stellen eine Kombination aus Hardware, wie etwa Sensorik, Aktorik, und Mikrocontrollern und Software dar [36, 37, 38].

Durch den anhaltenden Trend von immer kompakterer und leistungstärkerer Elektronik, der steigenden Bandbreite von Netzwerken und der einfachen Verfügbarkeit beider werden sich nach aktuellem Forschungsstand immer mehr solcher Embedded Systems in den Maschinen der Zukunft finden [39].

Das „Cyber Physical System“ (CPS), und dessen Erweiterung, das „Cyber Physical Production System“ (CPPS), dienen als Grundstein der Industrie 4.0 [33].

Ein CPS stellt ein digital-phisches System dar und dient als Brücke zwischen der digitalen und realen Welt, welches mithilfe von Internettechnologien („Internet of Things“ (IoT)) Daten sammelt, speichert, analysiert und verarbeitet und diese Daten in der virtuellen und realen Welt integriert, um in weiterer Folge eine menschliche Interaktion zu ermöglichen [7, 29].

CPS bzw. CPPS sind in der Automobilindustrie am stärksten verbreitet, finden aber auch immer häufiger in der Medizintechnik Verwendung [39].

Ein „Digital Shadow“ (DS) oder „Digital Twin“ (DT), bildet den digitalen Teil eines CPS bzw. CPPS und ist eine digitale Repräsentanz des physischen, in der realen Welt vorhandenen Produktes oder ganzheitlichen Prozesses. DS oder DT werden in der Literatur oftmals als integraler Bestandteil eines CPS bzw. CPPS verstanden [29].

Durch das Vorhandensein eines CPS bzw. CPPS und die dadurch ermöglichte Interaktion zwischen Menschen und Maschine durch ein „Graphical User Interface“ (GUI), können vom Maschinenbediener durch die Visualisierung der Prozessdaten schnell und einfach flexible Änderungen am Prozess vorgenommen werden, wodurch man sich ökonomische als auch soziologische Vorteile verspricht [33, 35]. Durch eine weitreichende Vernetzung und Datenintegration ergeben sich zahlreiche Innovationspotentiale in Hinsicht auf die Produktionssteuerung und -planung. Ein in Echtzeit ablaufender Datenaustausch ermöglicht eine immense Prozessverbesserung in vielerlei Hinsicht – flexible Regelung des Produkt- und Warenstroms, flexible Bearbeitung von Kundenwünschen, dynamische Einsatzplanung von Beschäftigten und Belegungsplanung von Maschinen auf Basis der Auftragslage, Tracking der Produkte im Produktionsprozess – wobei diese Aufgaben auch mit ihrem Umfang an Komplexität hinzugewinnen [7, 33, 37].

Durch eine „Manufacturing Intelligence“, eine Echtzeit-Datenintegrationsmethode um Produktionsprozesse in Echtzeit zu analysieren, modellieren und simulieren zu können, soll das Zusammenführen verschiedener Datenquellen und das Auswerten und Analysieren der darin enthaltenen Daten unter dem Begriff „Operational Business Intelligence“ (OpBI), realisiert werden. Ihr Ziel besteht in der Entscheidungsunterstützung und Flexibilisierung von Geschäftsprozessen, um die hierarchische „Top-Down-Steuerung“ zu dezentralisieren und diese durch eine selbstorganisierende Steuerung zu substituieren. [33, 36].

Die Verwirklichung dieser Ziele führte zur Etablierung und Konkretisierung neuer und auch bereits bekannter fachspezifischen Termini – „Ubiquitous Computing“, „Pervasive Computing“, „Ambient Intelligence“, „Smart Objects“ bzw. „Smart Devices“, IoT, „Systems of Systems“, „Smart Factories“ und „Learning Factories“ sind gängige Begriffe im Bereich der Industrie 4.0 [38, 39].

Immer mehr „Smart Factories“, gekennzeichnet durch das Vorhandensein eines CPS, und „Learning Factories“, deren Ziele die Weiterbildung und Forschung im Bereich der Industrie 4.0 sind, halten im Industrie- und Forschungssektor Einzug [7, 35, 36].

Ganzheitlich gesehen bieten CPS bzw. CPPS nicht nur großes Potential in der Produktion, wie etwa als integrale Bestandteile einer „Smart Factory“, sondern auch in anderen Manifestierungen der Industrie 4.0, wie z.B. „Smart Mobility“, „Smart Health“ und „Smart Grids“ [39].

Bereits im Zuge der dritten industriellen Revolution wurden große Anstrengungen in die Automatisierung und Regelung von Walzwerken investiert. Moderne Walzwerke entsprechen in vielen Belangen bereits dem Standard der Industrie 4.0, jedoch bestehen diese oft aus digitalen Insellösungen, die eine umfassende System- und Datenintegration erschweren und deshalb aus technologischer Sicht keine „Smart Factory“ vorliegt. Da sich der allgemeine Trend aber eindeutig in diese Richtung bewegt, werden zum jetzigen Zeitpunkt immer mehr solcher Systeme in CPPS transformiert, um eine Prozessverbesserung und Flexibilisierung entlang der gesamten Prozesskette zu erreichen [7].

## 3. Grundlagen

Die folgenden Abschnitte bieten einen Überblick über die wichtigsten Begriffe und mathematischen Beziehungen, die für diese Masterarbeit von Relevanz sind. Zuerst werden die umformtechnischen Grundbegriffe behandelt, gefolgt von den Grundlagen des Walzens, welche auch im Laufe der Masterarbeit angewendet werden. Anschließend wird auf die Grundbegriffe der Sensorik und für diese Arbeit relevanten Sensortypen eingegangen. Als Abschluss folgt eine kurze Erläuterung der Funktionsweise von A/D-Wandlern sowie den wichtigsten Terminologien der Industrie 4.0.

### 3.1. Umformtechnische Grundbegriffe

DIN8550 definiert das Umformen als eine plastische Formänderung eines festen Körpers unter Beibehalt der Masse und des Stoffzusammenhalts [1].

Die Dehnung  $\varepsilon$  gibt Auskunft über die Längenänderung eines Körpers, wobei eine Streckung eine positive Dehnung und eine Stauchung eine negative Dehnung beschreibt [1].

$$\varepsilon = \frac{\Delta l}{l_0} = \frac{l_1 - l_0}{l_0} \quad (3.1)$$

In der Umformtechnik hat sich als Formänderungskenngröße der Umformgrad  $\varphi$  etabliert, welcher auch als logarithmische oder wahre Dehnung bezeichnet wird. Der Umformgrad bietet einige Vorteile:

- das Vorzeichen des Umformgrades gibt Auskunft über die Richtung der Umformung, so handelt es sich bei einem positiven Vorzeichen um eine Streckung und bei einem negativen Vorzeichen um eine Stauchung des Werkstückes
- die Umkehrbarkeit des Umformgrades, welche bei Rückrechnung auf die vorherige Umformung den gleichen Absolutwert ergibt
- die Summe aller Umformgrade der jeweiligen Umformungsschritte ergeben den Gesamtumformgrad [1].

Der Umformgrad  $\varphi$  kann als Maß für die Größe der plastischen Formänderungen angesehen werden [1].

$$\varphi = \ln \left( \frac{h_1}{h_0} \right) \quad (3.2)$$

Aus der Volumenskonstanz, hier für einen quaderförmigen Körper, ergibt sich somit für die Summe aller Umformgrade gleich null [1].

$$V = l_0 \cdot b_0 \cdot h_0 = l_1 \cdot b_1 \cdot h_1 = konst. \quad (3.3)$$

$$\frac{l_1 \cdot b_1 \cdot h_1}{l_0 \cdot b_0 \cdot h_0} = 1 \quad (3.4)$$

$$\ln\left(\frac{l_1}{l_0}\right) + \ln\left(\frac{b_1}{b_0}\right) + \ln\left(\frac{h_1}{h_0}\right) = \ln(1) = 0 \quad (3.5)$$

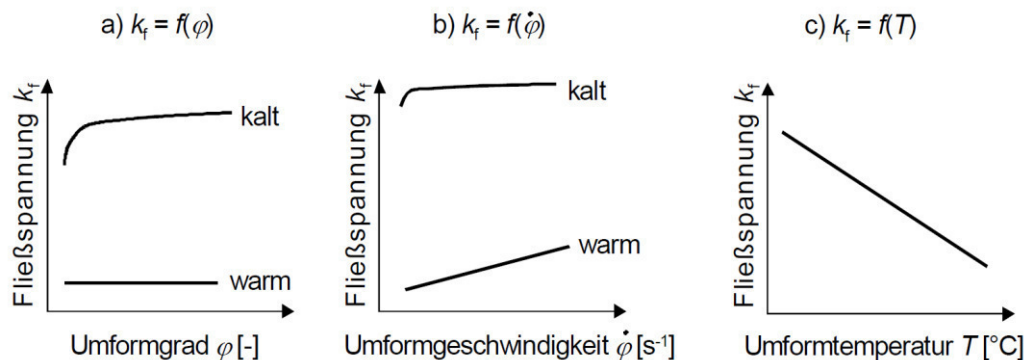
Die Umformgeschwindigkeit  $\dot{\varphi}$ , auch als  $v_{st}$  bezeichnet, kann durch die Ableitung des Umformgrades nach der Zeit beschrieben werden [1].

$$\dot{\varphi} = \frac{d\varphi}{dt} \cong \frac{\Delta\varphi}{\Delta t} \text{ oder } \lim_{\Delta t \rightarrow 0} \frac{\Delta\varphi}{\Delta t} \quad (3.6)$$

Die Fließspannung  $k_f$  (oder Formänderungsfestigkeit) ist die im einachsigen Spannungszustand ermittelte Normalspannung, die im Werkstoff die kritische zum Fließen erforderlichen Schubspannung hervorruft.

Die Fließspannung hängt im Wesentlichen von vier Parametern ab:

- vom Werkstoff (Legierungsbestandteile, Gefüge)
- von der Temperatur T
- vom Umformgrad  $\varphi$
- von der Umformgeschwindigkeit  $\dot{\varphi}$  [1]



**Abb. 1:** Abhängigkeit der Fließspannung  $k_f$  vom Umformgrad  $\varphi$  (a), von der Umformgeschwindigkeit  $\dot{\varphi}$  (b) und Temperatur T (c) [1]

Die Unterscheidung zwischen Kalt- und Warmumformung erfolgt durch die Temperatur, wobei als Grenzwert  $0,42 \cdot T_m$  (Schmelztemperatur des Werkstoffes), die Rekristallisationstemperatur, herangezogen wird. Ist die bei der Umformung vorherrschende Temperatur  $T > 0,7 \cdot T_m$  so spricht man von einer Warmumformung. In einem Temperaturbereich von  $0,7 \cdot T_m \leq T \leq 0,42 \cdot T_m$  spricht man von einer Halbwarmumformung. Geschieht die Umformung unterhalb der Rekristallisationstemperatur  $T < 0,42 \cdot T_m$ , spricht man von einer Kaltumformung [1, 32].

Im Zwischenbereich von Kalt- und Warmumformung liegt die sogenannte Halbwarmumformung. Von einer Halbwarmumformung spricht man in einem Temperaturbereich die unter jener der Warmumformung und über jener der Kaltumformung liegt [2].

Durch die geringe Temperatur gegenüber der Warmumformung bietet dies Vorteile in Bezug auf die verringerte Zunderbildung und höhere Maßgenauigkeit, jedoch auch Nachteile wie höhere Umformkräfte [1].

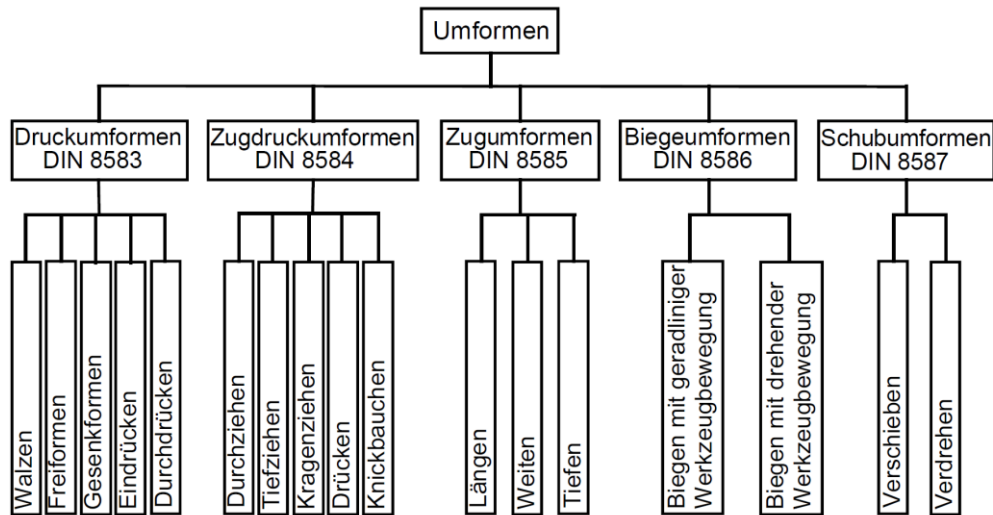
Wie in Abb. 1 zu sehen ist, sinkt mit der Temperatur die zur plastischen Umformung benötigte Fließspannung eines Werkstoffes (siehe Abb. 1, c). Des Weiteren flacht auch die Fließkurve mit zunehmender Temperatur bei zunehmenden Umformgrad ab (siehe Abb. 1, a.).

## 3.2. Walzen

Das Walzen zählt zu den Fertigungsverfahren der Gruppe des Druckumformens. Der Werkstoff wird zwischen mindestens zwei rotierenden Werkzeugen, den sogenannten Walzen, in der Umformzone umgeformt, was zu einer Querschnittverringering des Walzgutes führt [3].

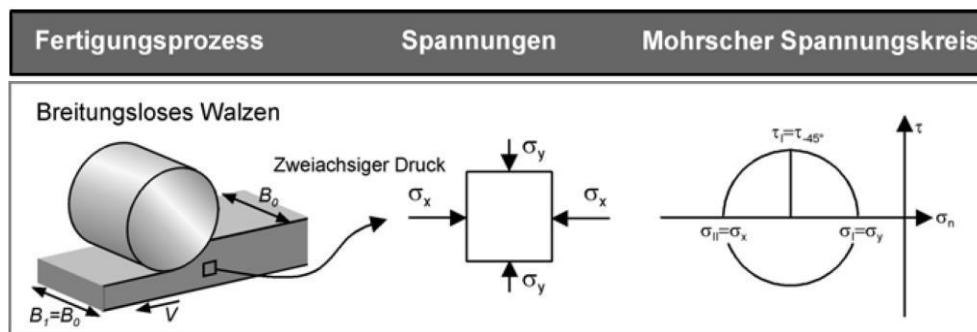
Abhängig von der Walzguttemperatur kann, wie in Abschnitt 3.1. beschrieben, zwischen Kalt-, Halbwarm- und Warmwalzen unterschieden werden.

Die zweite Hauptgruppe aus DIN 8580 wird nach DIN 8582 weiter nach dem herrschenden Spannungszustand unterteilt (siehe Abb. 2) [1].



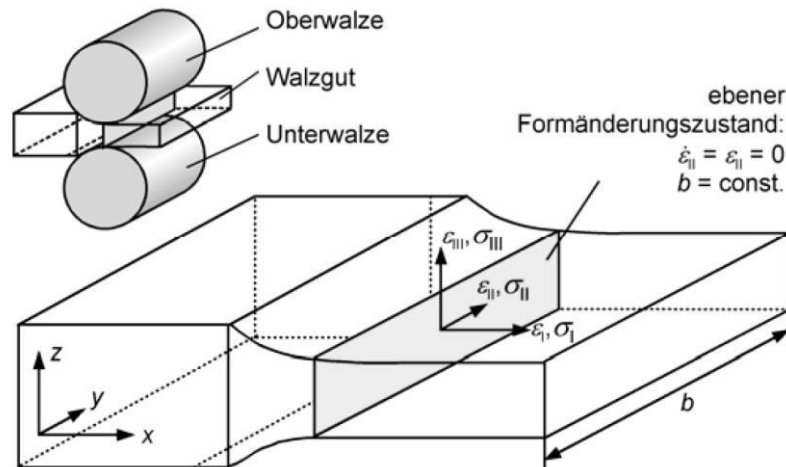
**Abb. 2:** Gliederung der sechs Hauptgruppen der Fertigungsverfahren (nach DIN 8582) [1]

Der Mohrsche Spannungskreis gibt Aufschluss über den Spannungszustand eines Punktes oder infinitesimalen Volumens. Beim breitungsfreien Walzen wird von einem ebenen Spannungszustand ausgegangen, wie in Abbildung 3 dargestellt.



**Abb. 3:** Mohrscher Spannungskreis des breitungsfreien Walzens [1]

Betrachtet man das breitungsfreie Walzen, so liegt ein ebener Formänderungszustand vor. Durch das Vorliegen eines ebenen Formänderungszustandes ist eine der Hauptformänderungsgeschwindigkeiten, sowie der Umformgrad und die Formänderung in dieser Richtung während der gesamten Dauer des Walzens gleich null (Abb. 4) [1].



**Abb. 4:** Spannungszustand beim breiungslosen Walzen [1]

Bei der plastischen Deformation des Walzgutes im Walzspalt kommt es zu einer Längung und in manchen Fällen auch zu einer Breitung des Walzgutes [1].

Die Längung des Walzgutes beschreibt dessen plastische Verformung in die Längsrichtung, wohingegen die Breitung die plastische Verformung des Walzgutes in die Querrichtung beschreibt. Bei einem Breiten/Dicke-Verhältnis  $> 10$  wird die Breitung vernachlässigbar klein und es wird vom breiungslosen Walzen gesprochen [5].

Diese durch Längung und/oder Breitung bedingte Deformation des Walzgutes führt zu einer Dickenreduzierung, welche als Walzgrad bezeichnet wird [5].

Zur weiteren Klassifizierung von Fertigungsverfahren werden diese durch die Art der Krafteinleitung in Verfahren mit mittelbarer und unmittelbarer Krafteinleitung eingeteilt. Bei Umformprozessen mit unmittelbarer Krafteinleitung wird die Umformkraft der Umformmaschine direkt ohne weitere Umwege in die Umformzone eingeleitet. Die benötigten Umformkräfte bei unmittelbaren Prozessen sind, wie auch bei mittelbaren Umformprozessen, von den Reibverhältnissen und der Geometrie der Umformzone und der Fließspannung des umzuformenden Werkstoffes abhängig [1].

Aus dieser Definition geht hervor, dass das Walzen den Verfahren der unmittelbaren Krafteinleitung angehört, da die Krafteinleitung der Walzkraft durch die Ober- und Unterwalze unmittelbar auf das Walzgut erfolgt.

Die plastische Verformung des Walzgutes erfolgt im Walzspalt, wenn der Formänderungswiderstand des Werkstoffes überschritten wird. Der Formänderungswiderstand ist dann erreicht, wenn die Vergleichsspannung bestehend aus allen einwirkenden Spannungen gleich dem

Formänderungswiderstand ist. Aufgrund der komplexen Zusammenhänge im Walzspalt werden für eine analytische Betrachtung des Warmwalzens folgende Annahmen getroffen:

1. Die Formänderung des Walzgutes wird als rein plastisch betrachtet, elastische Anteile der Formänderung werden vernachlässigt.
2. Der Walzvorgang wird als stationär betrachtet, die Ein- und Austrittsgeschwindigkeit des Walzgutes in den Walzspalt ist konstant.
3. Die Beschleunigungskräfte im Walzspalt, die zur Geschwindigkeitsänderung im Walzspalt führen, werden vernachlässigt.
4. Der Reibungskoeffizient zwischen den Oberflächen der Walze und des Walzgutes wird als konstant betrachtet. Abhängigkeiten von Kraft, Druck oder Geschwindigkeit werden vernachlässigt.
5. Bei dünnem, breitem Walzgut tritt keine Breitung auf, die Fließrichtung entspricht der Walzrichtung [6].

Die ideale Umformkraft  $F_{id}$  bei einer unmittelbaren Krafteinleitung kann wie folgt berechnet werden [1]:

$$F_{id} = A \cdot k_{fm} \quad (3.7)$$

Die mittlere Fließspannung  $k_{fm}$  berechnet sich dabei aus dem Umformgrad  $\varphi$  (Gl. 3.2) und der Fließspannung  $k_f$  [1]:

$$k_{fm} = \frac{1}{\varphi} \int_0^{\varphi} k_f \cdot d\varphi \quad (3.8)$$

Die Fläche in der das Walzgut mit den Arbeitswalzen in Kontakt tritt, wird als Walzspalt bezeichnet. Im Walzspalt tritt das Walzgut mit der Eintrittshöhe  $h_0$  ein und verlässt den Walzspalt mit der Austrittshöhe  $h_1$ . Projiziert man diesen Kontaktbogen auf die Walzgutmittenebene spricht man von der gedrückten Länge  $l_d$  (siehe Abb. 5). Diese Kontaktfläche  $A$ , auch als gedrückte Fläche bezeichnet, ist das Produkt aus Walzgutbreite  $b$  und der gedrückten Länge  $l_d$  [6].

$$A = b \cdot l_d = b \cdot \sqrt{R \cdot \Delta h - \frac{\Delta h^2}{4}} \quad (3.9)$$

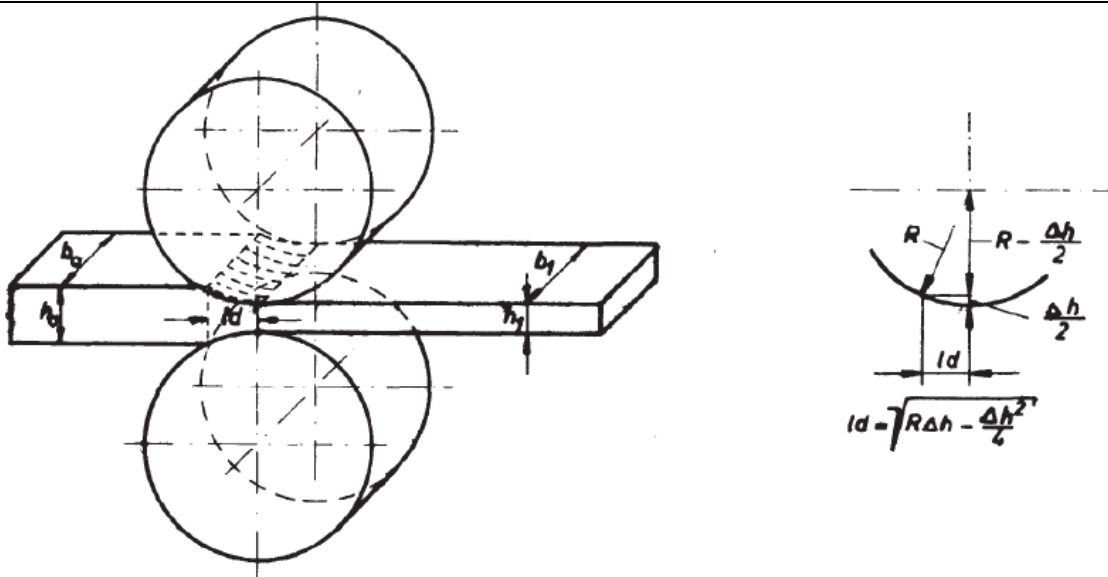


Abb. 5: Geometrie des Walzspaltes [6]

In der Umformzone kommt es zu einer Deformation der Körner des metallischen Gefüges des Walzgutes. Während der Umformung kommt es aufgrund der inneren Reibung und der äußeren Reibung zwischen Werkzeug und Walzgut zur Temperaturerhöhung des Walzgutes. Beim Kaltwalzen geht man davon aus, dass mehr als 90% der ideellen Umformarbeit  $W_{id}$  in Wärmeenergie umgewandelt werden. Die nicht in Wärmeenergie umgewandelte Umformarbeit verbleibt als potentielle Energie in Form von Eigenspannungen und Verfestigungserscheinungen im Walzgut [1].

Unter der Annahme, dass die gesamte Umformarbeit unter adiabatischen Verhältnissen in Wärme umgewandelt wird, erhält man Gl. 3.10. Da wie oben erwähnt fast die gesamte Umformarbeit  $W_U$  in Wärmeenergie  $W_Q$  umgesetzt wird kann  $W_U = W_Q$  angenommen werden, woraus die Temperaturerhöhung  $\Delta\vartheta$  des Walzgutes in Abhängigkeit von der mittleren Fließspannung  $k_{fm}$ , dem maximalen Umformgrad  $\varphi_{max}$ , der Dichte  $\rho$  und der spezifischen Wärmekapazität  $c_p$  berechnet werden kann (Gl. 3.11) [5]:

$$W_U = V \cdot k_{fm} \cdot |\varphi|_{max} = W_Q = m \cdot c_p \cdot \Delta\vartheta \quad (3.10)$$

$$\Delta\vartheta = \frac{k_{fm} \cdot |\varphi|_{max}}{\rho \cdot c_p} \quad (3.11)$$

Aufgrund der Volumskonstanz (Gl. 3.2) ergibt sich ein zeitlich konstanter Volumenstrom an Walzgut im Walzspalt (Gl. 3.12) [6].

$$v_0 \cdot b_0 \cdot h_0 = v \cdot b \cdot h = konst. \quad (3.12)$$

Setzt man  $b = b_0$ , ergibt sich der Geschwindigkeitsverlauf des Walzgutes im Walzspalt (Abb. 6) [6].

$$v = v_0 \cdot \frac{h_0}{h} = v_1 \cdot \frac{h_1}{h} \quad (3.13)$$

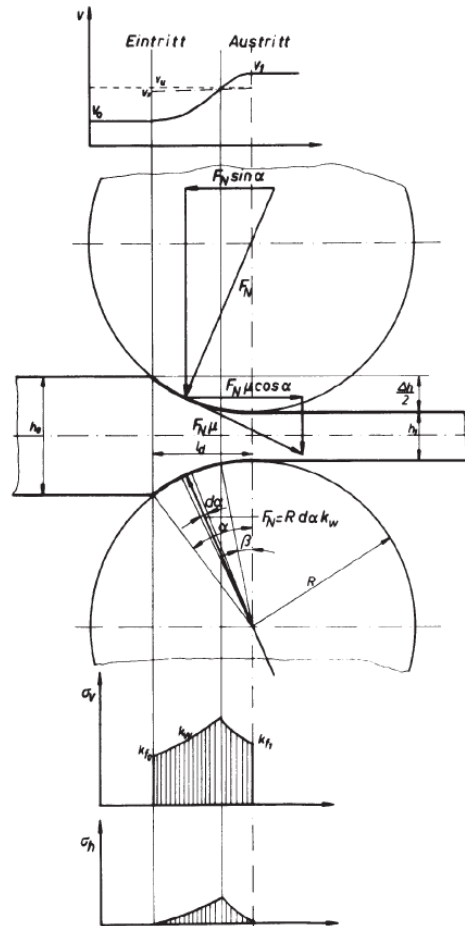


Abb. 6: Vorgänge im Walzspalt [6]

Zwischen dem Ein- und Austrittspunkt des Walzgutes wird zwischen der Nacheilzone, Fließscheide und Voreilzone unterschieden, was auf die Relativgeschwindigkeiten zwischen Walzenoberfläche und Walzgut zurückzuführen ist (Abb. 6, erstes Diagramm). Im Einlaufbereich ist die Walzenumfangsgeschwindigkeit höher als jene des Walzgutes, was aufgrund der Relativgeschwindigkeit zu einer Aufstauung an Walzgut führt, weshalb dieser Bereich als Nacheilzone bezeichnet wird. Als Fließscheide wird jener Bereich bezeichnet, in dem die Walzgutgeschwindigkeit der Walzenumfangsgeschwindigkeit entspricht, es liegt daher keine Relativgeschwindigkeit zwischen Walzgut und Walzenoberfläche vor. Zusätzlich wirken in der

Fließscheide die höchsten Druckspannungen auf das Walzgut. Im Austrittsbereich ist die Walzgutgeschwindigkeit höher als die Walzenumfangsgeschwindigkeit, was aufgrund der Relativgeschwindigkeit zu einer Ausstoßung an Walzgut führt, weshalb dieser Bereich als Voreilzone bezeichnet wird [5, 6].

Damit das Walzgut von den Arbeitswalzen eingezogen wird, muss die sogenannte Greifbedingung erfüllt sein [9].

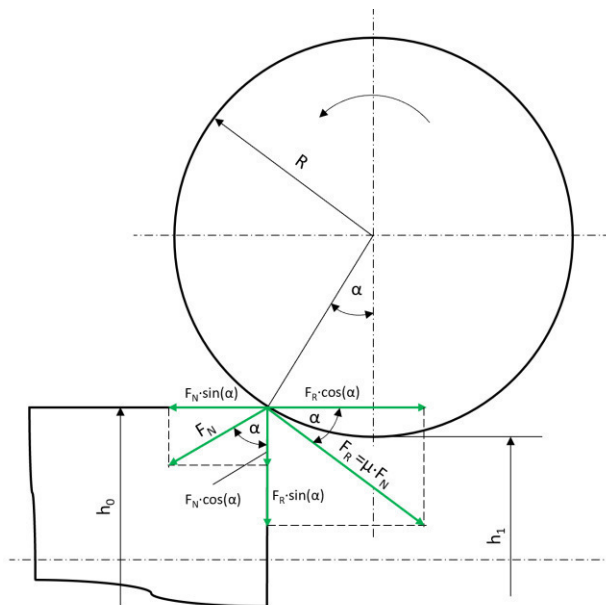
Um die Greifbedingung zu erfüllen, müssen die horizontalen, in Richtung der Walzrichtung wirkenden Reibungskräfte größer sein als die horizontalen, in Gegenrichtung der Walzrichtung wirkenden Reibungskräfte. In anderen Worten, die einziehenden Reibungskräfte müssen größer als die ausstoßenden Reibungskräfte sein, um das Walzgut in den Walzspalt einzuziehen (Abb. 7) [5].

Hierbei wird, wie bereits erwähnt, nach [6] von einem konstanten Reibungskoeffizienten  $\mu$  zwischen Walzgut und Walzenoberfläche ausgegangen, welcher weder druck- noch geschwindigkeitsabhängig ist. Aus Abb. 7 geht der in Gl. 3.13 beschriebene Zusammenhang zwischen dem Reibungskoeffizienten  $\mu$ , der Normalkraft  $F_N$  und dem Greifwinkel  $\alpha$  hervor:

$$\mu \cdot F_N \cdot \cos \alpha \geq F_N \cdot \sin \alpha \quad (3.13)$$

Somit folgt aus Gl. 3.13 die Greifbedingung:

$$\mu \geq \tan \alpha \quad (3.14)$$



**Abb. 7:** Auftretende Kräfte für die Einziehbedingung [5]

Während des Walzprozesses kommt es bedingt durch die Krafteinleitung auf das Walzgut zu einem Kraftfluss durch das Walzgerüst. Alle Teile des Walzgerüsts, die sich im Kraftfluss befinden, erfahren dabei eine elastische Deformation. Betroffen Teile sind dabei unter anderem die Walzen, Walzenlager, Kraftmessdosen, Ständerholme, Anstellelemente und das Ständerquerhaupt. Diese elastische Verformung führt zum Auffedern des Walzspaltes. Diese elastische Verformung bzw. Auffederung des Walzgerüsts wird im sogenannten Anstelltdiagramm zusammen mit der Walzgutdicke in Abhängigkeit voneinander dargestellt (siehe Abb. 8) [6].

Die maximale Höhenabnahme  $\Delta h_{max}$  des Walzgutes kann näherungsweise als Produkt des Walzenradius  $R$  und des Reibungskoeffizienten  $\mu$  zum Quadrat beschrieben werden [5]:

$$\Delta h_{max} = \mu^2 \cdot R \quad (3.15)$$

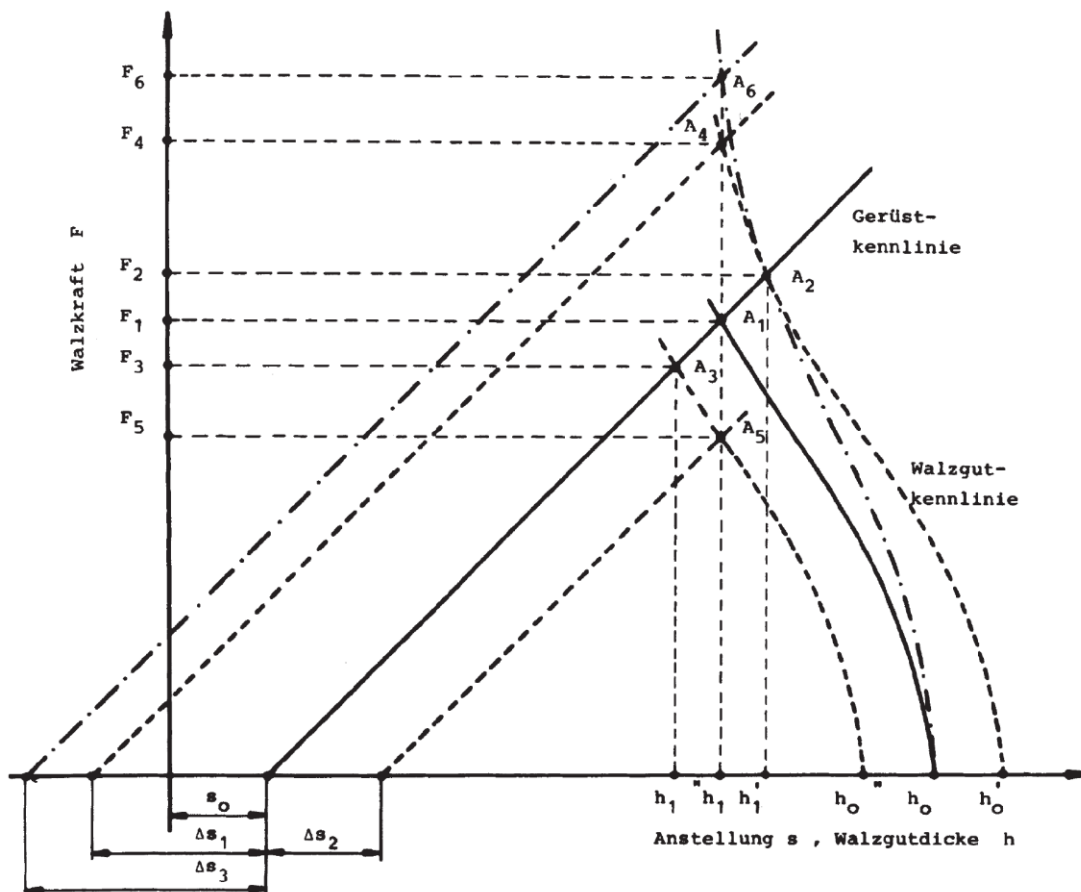


Abb. 8: Anstelltdiagramm [6]

Der Schnittpunkt zwischen der Gerüstkennlinie und der Walzgutkennlinie im Anstellendiagramm wird Arbeitspunkt genannt. Der Arbeitspunkt gibt Aufschluss über die Austrittshöhe des Walzgutes in Abhängigkeit von der Walzkraft (Abb. 8) [6].

Die Linearität der Federkennlinie ist dabei auf die Annahme eines ideal elastischen Verformungsverhaltens des Walzgerüsts und deren Bauteile zurückzuführen.

In Abb. 8 bezeichnet  $F$  die Walzkraft,  $s_0$  die Walzspaltöffnung des unbelasteten Gerüsts,  $h_0$  die Einlaufhöhe des Walzgutes und  $A$  die Arbeitspunkte. Die Steigung der Gerüstkennlinie wird Gerüstmodul  $C$  [MN/mm] genannt (siehe Gl 3.16). Bildet man den Kehrwert des Gerüstmodul erhält man die Auffederung [mm/MN] [6].

$$C = \frac{\Delta F}{\Delta s} = \frac{\Delta F}{h_1 - s_0} \quad (3.16)$$

Die Austrittshöhe des Walzgutes lässt sich nach der gage-meter-Gleichung berechnen [6]:

$$h_1 = s_0 + \frac{F}{C} \quad (3.17)$$

Somit ist es möglich die Austrittshöhe des Walzgutes in Abhängigkeit von Temperatur, Werkstofffestigkeit, Walzspalthöhe und weiteren Parametern zu ermitteln [8].

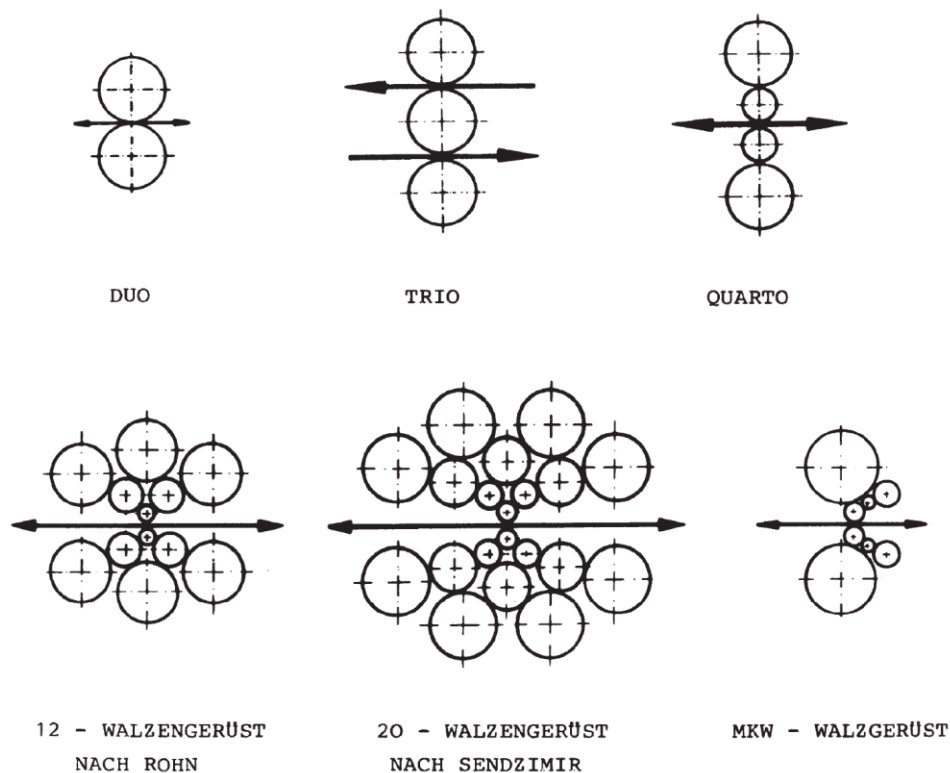
Zusätzlich nehmen die Wärmedehnung des Werkstoffes und der Walzen und der Verschleiß der Walzen Einfluss auf die Auslaufdicke des Walzgutes  $h_1$ .

Walzgerüste werden bezüglich der Anordnung und Anzahl ihrer Walzen unterschieden. Das Präfix bezieht sich auf die Anzahl der Walzen des Walzgerüsts, so besitzt ein Duo-Walzwerk zwei Walzen, ein Quattro-Walzwerk vier Walzen, etc. (Abb. 9). Die Art des Walzgerüsts ist stark abhängig vom Einsatzgebiet. Unterscheidet man zwischen Kalt- und Warmwalzen ist die Auswahl abhängig von mehreren Gesichtspunkten, wie z.B. Fließkurven des Werkstoffes, Temperatur, Maß- und Formhaltigkeit etc..., weshalb sich die Walzgerüste stark in Ausführung hinsichtlich Bauart (Abb. 6), Dimensionierung, Kühl- und Schmiersystemen unterscheiden [9].

Wie in Abschnitt 3.1. bereits angeführt kann beim Umformen zwischen Kalt-, Halbwarm- und Warmumformen unterschieden werden. Beim Walzen wird aufgrund der Temperatur des Walzgutes zwischen Kalt- und Warmwalzen unterschieden. Beim Kaltwalzen müssen gegenüber dem Warmwalzen aufgrund der geringen Temperatur des Walzgutes wesentlich höhere Umformkräfte aufgebracht werden,

um den gleichen Umformgrad zu erzielen (Abb. 1, a), was einen signifikanten Einfluss auf die Auslegung bzw. Auswahl des Walzgerüsts hat.

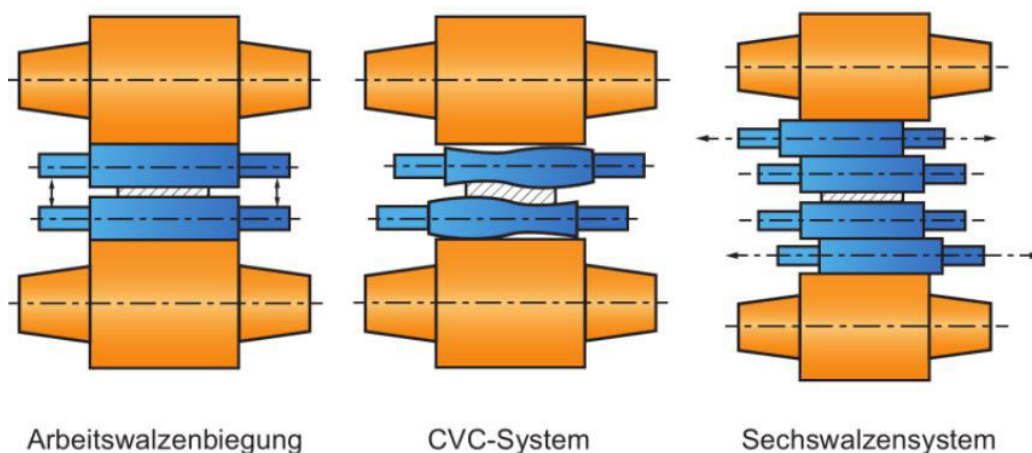
Der Vorteil den beispielsweise Quattro-Walzwerke gegenüber Duo-Walzwerken bieten ist jener, dass das Quattro Walzwerk über zwei Stützwalzen verfügt, welche die beiden Arbeitswalzen, die mit dem Walzgut in Kontakt treten, stützen. Die Stützwalzen stützen die Arbeitswalze während des Walzvorganges und reduzieren somit die Durchbiegung der Arbeitswalzen. Die Reduktion der Durchbiegung der Arbeitswalzen führt in weiterer Folge zu einer geringeren Profilabweichung bzw. Planheitsabweichung.



**Abb. 9:** Verschiedene Arten von Walzgerüsten [6]

Zusätzlich zur Auffederung des Walzgerüsts und der Durchbiegung der Arbeitswalzen nimmt die Walzenplättung Einfluss auf den Prozess. Durch die Flächenpressung zwischen Walzgut und Walzenoberfläche kommt es zu einer reversiblen bzw. elastischen Deformation der Walze im Bereich des Walzspaltes, was auch als Walzenplättung bezeichnet wird. Diese Walzenplättung führt zu einer Vergrößerung des Walzenradius und dadurch in weiterer Folge auch zu einer Vergrößerung der gedrückten Länge [8].

Zudem führt dieses Phänomen in Abhängigkeit von lokalen Kräften zu einer Vergrößerung des Walzspaltes und zu einer Profil- bzw. Planheitsabweichung des gewalzten Walzgutes. Profil- bzw. Planheitsabweichungen treten vor allem bei steigender Walzgutdicke auf. Zur Vermeidung von Planheitsfehlern des Walzgutes können Arbeitswalzen zum Ausgleich der Walzendurchbiegung vorgebogen werden, oder ein CVC-System eingesetzt werden. Das CVC-System verwendet flaschenförmige Walzen, welche durch eine gezielt axiale Verschiebung der Walzen die Steuerung der Dickenabnahme über die Breite ermöglicht. Durch axial verstellbare Zwischenwalzen kann die Walzendurchbiegung zusätzlich reduziert werden – man spricht dann von einem Sechswalzensystem (siehe Abb. 10) [9].



**Abb. 10:** Methoden zur Vermeidung von Planheitsfehlern [23]

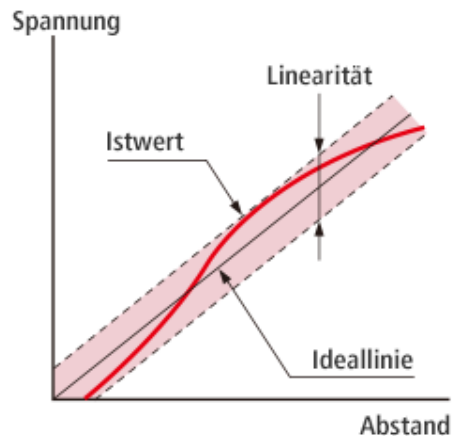
### 3.3. Sensorik

Die Sensorik, eine Teildisziplin der Messtechnik, befasst sich mit der Anwendung und Entwicklung von Sensoren und dem Erfassen und Messen von physikalischen Größen, welche durch die Sensoren in elektrische Signale umgewandelt werden [10].

Ein Sensor besteht aus einem für die zu erfassende Messgröße geeigneten Messfühler, welcher durch physikalische Effekte und innerelektrische Gesetze die Messgröße in ein elektrisches Signal transformiert [10]. Sensoren können hinsichtlich der physikalischen Grundlage der Messung [10], dem sogenannten Messprinzip, unterschieden werden. Die Sensorkennlinie dient zur Herstellung des Zusammenhanges zwischen dem analogen Signal und dem digitalen, zur weiteren computergestützten Verarbeitung

benötigten Wert. Die Auflösung eines Sensors beschreibt die kleinste, messbare Zustandsänderung einer zu messenden physikalischen Größe, die vom Sensor wahrgenommen werden kann [10].

Die Linearität eines Sensors, oft auch als Nichtlinearität bezeichnet, gibt die höchste Abweichung von der Ideallinie, auch Kennlinie genannt, des Messwertes einer physikalischen Größe an. Die Folge ist ein Streuband um die Kennlinie, welches in Prozent des Messbereichs (% d.M.) angegeben wird, in welcher der Istwert der Messung liegt (Abb. 11) [14].



**Abb. 11:** Linearitätskurve [15]

Nach ISO IEC 2382-1 (1993) sind Daten als eine wieder interpretierbare Darstellung von Information zu verstehen, welche nach einer bestimmten Syntax kodiert sind. Informationen werden dann gewonnen, wenn Daten miteinander in Zusammenhang gebracht und interpretiert werden (auch bekannt als Semantik). Werden Informationen visualisiert oder anderweitig dargestellt, so spricht man von Signalen, welche sich in analoge und digitale Signale unterteilen lassen. Ein analoges Signal ist eine sich kontinuierlich veränderlich physikalische Größe, wie beispielsweise die Temperatur. Ein digitales Signal ist ein diskretes Signal, welches Informationen nur in gewissen Grenzen, der Auflösung, darstellen kann. Die Datenerfassung (engl. data acquisition (DAQ)) befasst sich mit der Aufnahme von analogen Signalen mithilfe geeigneter Systeme (Abb. 12). [10, 16]

Um analogen Signale zur weiteren Verarbeitung in computergestützten Systemen nutzen zu können, müssen diese zuerst in digitale Signale umgewandelt werden. Hierzu werden Analog-Digital-Wandler, kurz A/D-Wandler, eingesetzt, welche das analoge Signal des Sensors, eine elektrische Größe, interpretieren und in ein digitales Signal umwandeln. [10]

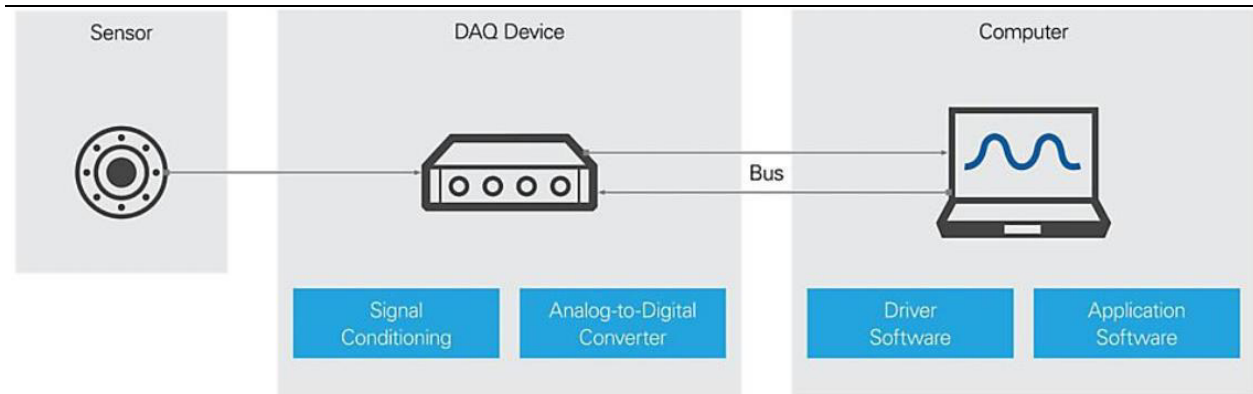


Abb. 12: Messdatenerfassung [17]

### 3.3.1. Wirbelstromsensor

Wirbelstromsensoren messen den Abstand zu elektrisch leitenden Messobjekten bzw. Werkstoffen mit ferromagnetischen und auch nicht ferromagnetischen Eigenschaften berührungslos und verschleißfrei, weshalb sie zur Gruppe der berührungslosen Abstandssensoren gezählt werden. [12, 13, 18, 21]

Das Messprinzip bedient sich der Induktivitätsänderung einer Spule, die auftritt, wenn ein elektrisch leitendes Objekt in das elektromagnetische Feld der Spule eintritt. Die Spule, welche sich im Sensorkopf des Wirbelstromsensors befindet, wird mit einem hochfrequenten Wechselstrom gespeist, welches ein elektromagnetisches Spulenfeld erzeugt. Befindet sich ein elektrisches Messobjekt im elektromagnetischen Feld der Spule, werden im Messobjekt Wirbelströme induziert, was eine Impedanzänderung der Spule verursacht. Diese Impedanzänderung ist proportional zum Abstand zwischen Messobjekt und Spule. [13, 18]

Durch die Fähigkeit der berührungslosen Abstandsmessung in Kombination mit der exklusiven Abstandsmessung zu elektrisch leitenden Objekten bzw. Werkstoffen ist es möglich, durch nichtmetallische Objekte hindurch den Abstand zum Messobjekt zu erfassen. Dies ermöglicht die Anwendung von Wirbelstromsensoren auch bei Verschmutzung, wie etwa durch Schmiermittel und Öle. Eine weitere Anwendung der Wirbelstromsensoren stellt die Schichtdickenmessung von elektrisch leitenden Objekten da, welche eine nicht elektrisch leitende Beschichtung besitzen. [13, 21]



Abb. 13: Wirbelstromsensor [12]

### 3.3.2. Linearpotentiometer

Linearpotentiometer, auch potentiometrische Wegaufnehmer genannt, dienen der Abstandsmessung und zählen zur Gruppe der tastenden Wegaufnehmer. Der Abstand wird ähnlich wie bei den Wirbelstromsensoren durch eine auf dem ohmschen Gesetz basierende Impedanzänderung gemessen. Eine Impedanzänderung erfolgt dann, wenn sich die Position des mechanischen Schleifkontaktes auf der Widerstandsbahn und damit auch der Schleifkontaktwiderstand  $R_x$  ändert (Abb. 14). Durch diese Änderung des Widerstands lässt sich gemäß Gl. 3.18 die Schleifkontaktspannung  $U_a$ , das analoge Signal des Sensors, in Abhängigkeit von der angelegten Spannung  $U_s$ , dem Bürdenwiderstand  $R_B$ , dem Widerstandsbahnwiderstand  $R_W$  und dem Schleifkontaktwiderstand  $R_x$  errechnen. Alternativ bieten Linearpotentiometer auch die Möglichkeit das analoge Signal in Form eines elektrischen Stromes auszugeben. [26]

$$U_a = U_s \cdot \frac{R_x \cdot R_B}{(R_W - R_x) \cdot R_x + R_B \cdot R_W} \rightarrow \text{wenn } R_B \gg R_W \rightarrow U_a \approx U_s \cdot \frac{R_x}{R_W} = U_s \cdot \frac{x}{x_{max}} \quad (3.18)$$

Folglich Gl. 3.18 ergibt sich eine lineare Kennlinie, wenn der Bürdenwiderstand  $R_B$  viel größer als der Widerstandsbahnwiderstand  $R_W$  ist. Würde die Spannungsmessung nicht hochohmig durchgeführt werden, könnten die in Gl. 3.18 getroffenen Vereinfachungen nicht angewendet werden und es ergäbe sich eine degressive Kennlinie, was eine Linearisierung notwendig machen würde. Durch die hochohmige Spannungsmessung kann die Schleifkontaktspannung  $U_a$  als Produkt der angelegten Spannung  $U_s$  und dem Verhältnis von Schleifkontaktposition  $x$  zur Widerstandsbahnlänge  $x_{max}$  beschrieben werden [26].

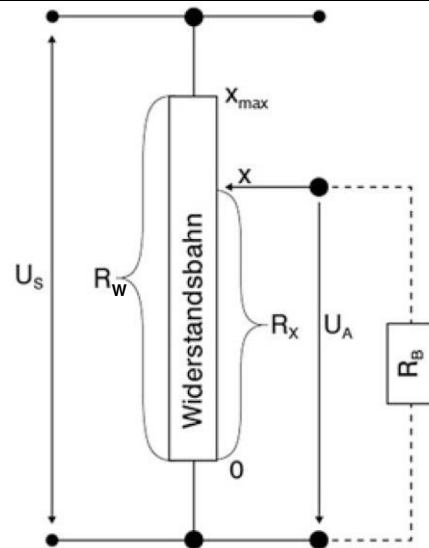


Abb. 14: Systematischer Aufbau eines potentiometrischen Wegaufnehmers [26]

### 3.3.3. Kraftmessdose

Kraftmessdosen, auch als Kraftaufnehmer bezeichnet, messen die auf sie wirkende Kraft mithilfe verschiedener Messprinzipien. Kraftaufnehmer werden nach dem verwendeten Messprinzip unterschieden (Abb. 15). [10]

Im Folgenden wird aufgrund der häufigen Verwendung nur auf die DMS-, piezoelektrischen und induktiven Kraftaufnehmer eingegangen.

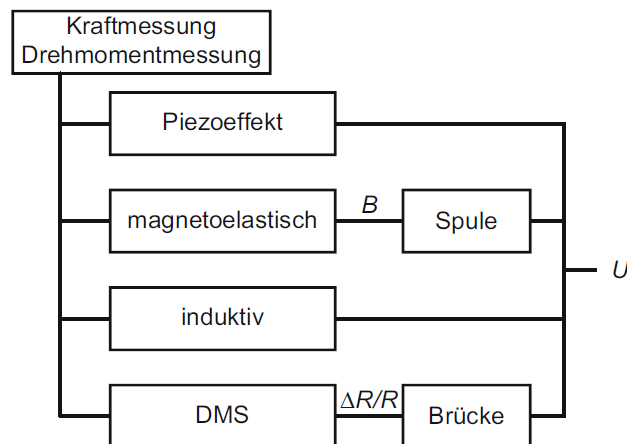
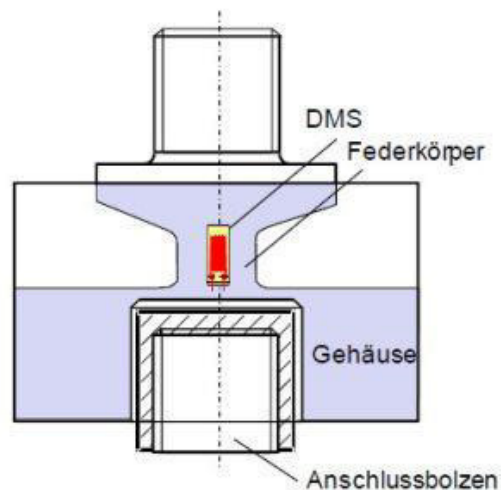


Abb. 15: Prinzipien der Kraft- und Drehmomentmessung [10]

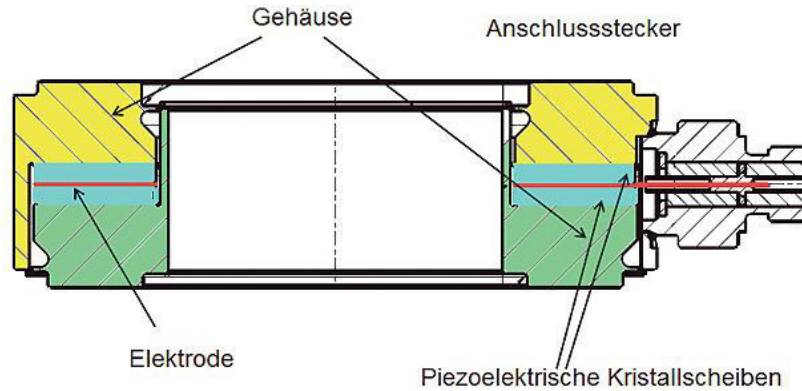
Kraftaufnehmer, basierend auf dem Dehnungsmessstreifen (DMS)-Prinzip, bestehen aus einem Federkörper und den DMS-Streifen, welche auf dem Federkörper aufgebracht sind (Abb. 16). Durch eine auf den Federkörper wirkende Kraft kommt es zu einer elastischen Verformung des Federkörpers. Durch die elastische Verformung des Federkörpers werden auch die auf ihm aufgetragenen DMS gedehnt, was zu einer Impedanzänderung der DMS führt. Das Messprinzip der DMS beruht auf einer Impedanzänderung, hervorgerufen durch eine dehnungsinduzierte Querschnittsänderung. Hierfür kommt eine sogenannte Wheatstonesche Messbrücke zum Einsatz, welche mindestens aus vier DMS besteht. Die Wheatstonesche Messbrücke liefert eine zur anliegenden Kraft proportionale Ausgangsspannung in Abhängigkeit von der Speisespannung der Messbrücke [10, 19, 27].

Aufgrund des sehr geringen Drifts, auch als Kriechen bezeichnet, einer zeitabhängigen, reversiblen Änderung des Ausgangssignals bei konstanter Belastung, eignen sich DMS-Kraftaufnehmer besonders für langfristige Messaufgaben [19, 31].



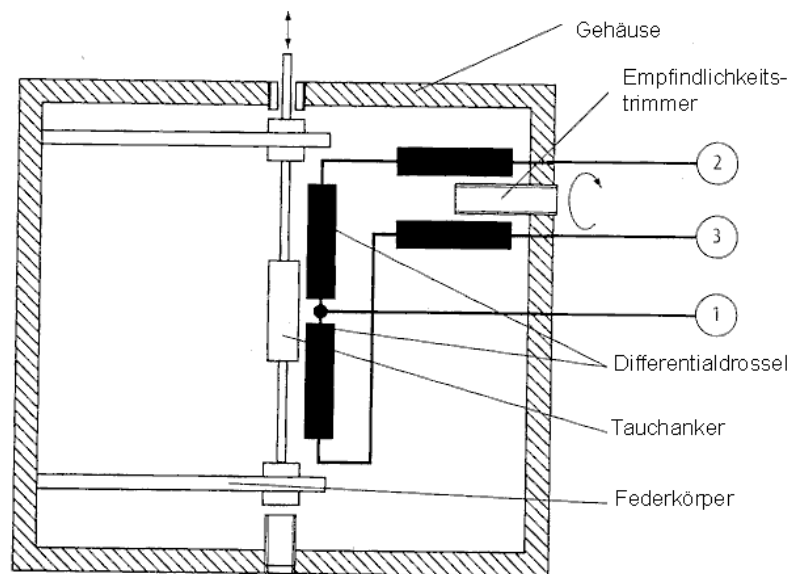
**Abb. 16:** Schema eines DMS-basierenden Kraftaufnehmers [20]

Piezoelektrische Kraftaufnehmer erzeugen durch piezoelektrische Kristallscheiben eine zur belastenden Kraft proportionale Ladung. Diese piezoelektrischen Kristallscheiben werden durch eine Elektrodenfolie getrennt, die die unter Kräfteinwirkung entstehende Ladung aufnimmt (Abb. 17). Zur weiteren Messung der Ladung wird ein Ladungsverstärker nachgeschaltet. Der Drift von piezoelektrischen Kraftaufnehmern wird mit ungefähr 1 N/min beziffert, welcher abhängig von der Größe der zu messenden Kräfte mehr oder weniger ins Gewicht fällt. Bei großen Kräften verfälscht dieser Drift den wahren Wert der Messung daher deutlich geringer als bei einer Messung von sehr kleinen Kräften. [19]



**Abb. 17:** Schema eines piezoelektrischen Kraftaufnehmers [20]

Induktive Kraftaufnehmer ermitteln die anliegende Kraft mithilfe eines Verformungs – bzw. Federkörpers. Das Messprinzip basiert auf der Abstandsänderung des Federkörpers zwischen zwei Punkten, wodurch die einwirkende Kraft ermittelt werden kann. Aufgrund der geringen Messtoleranz und hohen Genauigkeit eignen sie sich besonders zum Messen von sehr kleinen Kräften [4, 24].



**Abb. 18:** Schema eines induktiven Kraftaufnehmers [25]

### 3.3.4. Drehmomentsensor

Ein Drehmomentsensor dient zur Erfassung des Drehmoments. Die verwendeten Messprinzipien können Abb. 15 entnommen werden und funktionieren analog zu den in Abschnitt 3.3.3. beschriebenen Prinzipien. Hierbei muss die gemessene Kraft zusätzlich mit dem orthogonal auf die Kraft und Rotationsachse stehenden Hebelarm multipliziert werden, um das vorhandene Drehmoment zu errechnen.

### **3.3.5. Drehzahlsensor**

Es existieren zahlreiche Prinzipien zur Messung der Drehzahl, einige darunter sind nach [26] Wirbelstromdrehzahlsensoren, Stroboskope, Tacho-Generatoren, Wechselstrom-Generatoren, Unipolarmaschinen und Impulsdrehzahlsensoren. Eine günstige Variante der Drehzahlmessung kann mit einem Hodometer durchgeführt werden, jedoch ist hier aufgrund des ungleichen Durchmessers von Zählrad und Messobjekt eine Umrechnung der Drehzahl erforderlich. Aufgrund der rein theoretischen Implementierung eines Drehzahlsensors im Laufe der Arbeit wird hier nicht weiter auf die Messprinzipien der Drehzahlsensoren eingegangen.

### **3.3.6. Winkelsensor**

Winkelsensoren, auch Drehgeber genannt, dienen zur Erfassung der winkelbezogenen Position einer Achse oder Welle. Abhängig von den zu erfassenden Umdrehungen spricht man bei einer einzigen Umdrehung von Single-Turn-Drehgebern und bei mehreren Umdrehungen von Multi-Turn-Drehgebern. Die Erfassung der Position bei optischen Encodern erfolgt durch die Verwendung einer Codierscheibe, welche nach [28] hell/dunkel-codierte Felder oder geätzte Schlitzstrukturen in Metallscheiben besitzt. Das optische Muster, welches abhängig von der Scheibenposition ist, wird durch einen Photodetektor-Array und eine Lichtquelle erfasst und erzeugt ein digitales Signal, welches zur weiteren computergestützten Weiterverarbeitung verwendet werden kann. Bei magnetischen Encodern werden mithilfe von Hallensoren magnetische Pole im Sensor erfasst und durch die Modulation des Magnetfeldes die Position bestimmt. [28]

### **3.3.7. Drucksensor**

Zur Messung des Drucks wird sich einer großen Anzahl an verschiedenen Prinzipien bedient, einige dieser Prinzipien sind nach [26] piezoresistive Drucksensoren, kapazitive Drucksensoren und Halleffekt Drucksensoren. Da im Laufe dieser Arbeit nur eine theoretische Implementierung eines Drucksensors erfolgt, wird hier nicht weiter auf die Messprinzipien der Drucksensoren eingegangen.

## **3.4. A/D-Wandler**

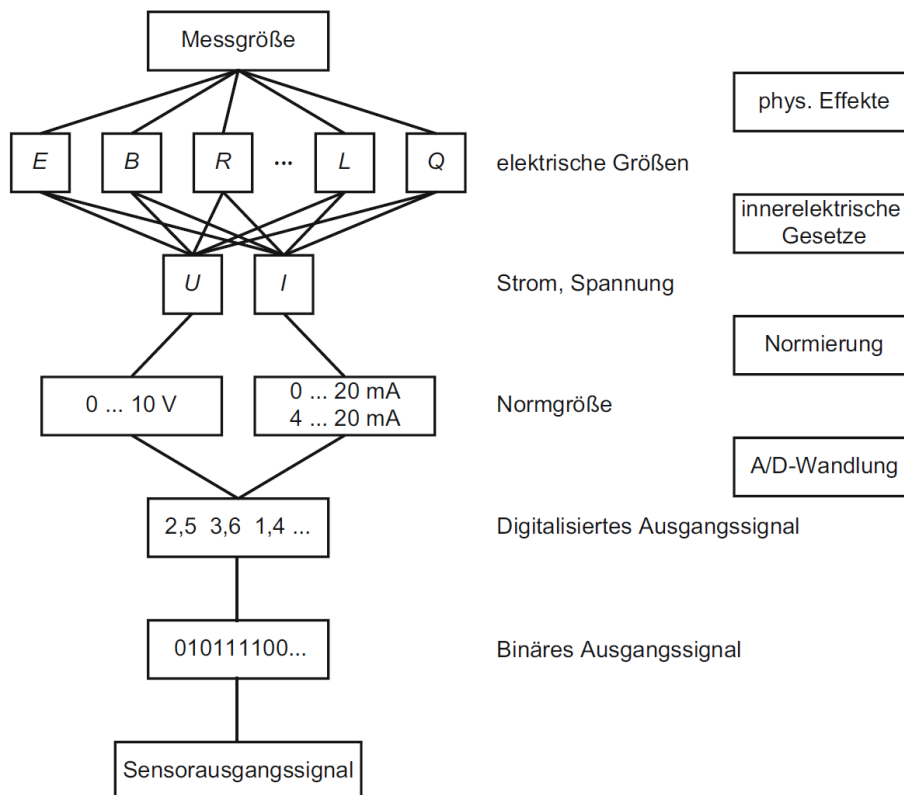
Um analoge Signale, wie sie Sensoren liefern, in computergestützten, digital arbeitenden Systemen verarbeiten zu können müssen diese erst in digitale Signale umgewandelt werden. Hierfür kommen

Analog-Digital-Wandler, kurz A/D-Wandler, zum Einsatz um das analoge Signal in eine proportionale digitale Größe zu überführen. [10]



**Abb. 19:** Prinzip eines A/D-Wandlers

Die physikalische Messgröße wird durch das Messprinzip mithilfe eines physikalischen Effektes in eine elektrische Größe umgewandelt, welche durch innerelektrische Gesetze in einen elektrischen Strom oder eine elektrische Spannung umgewandelt werden. Dieser elektrische Strom oder diese elektrische Spannung sind das analoge Signal, welches in A/D-Wandler eingeht. Durch die Normierung befinden sich diese elektrischen Spannungen im Bereich von 0-10 V und die elektrischen Ströme im Bereich von 0-20 mA und 4-20 mA, welche in ein digitales Signal, hier Sensorausgangssignal genannt, umgewandelt werden können (Abb. 20). [10]

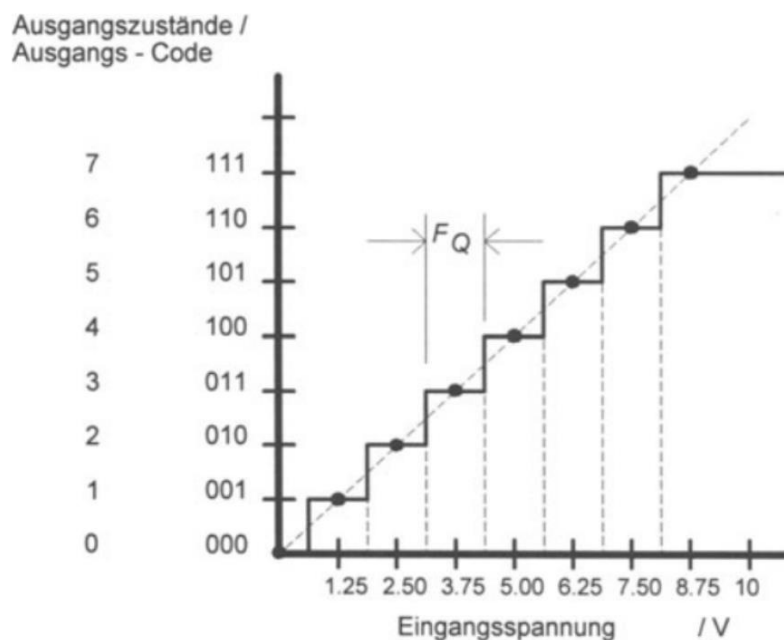


**Abb. 20:** Umwandlung einer Messgröße in ein digitales Signal [10]

A/D-Wandler arbeiten mit einer Abtastfrequenz, auch Taktung genannt, welche das analoge Signal mit einer definierten Abtastfrequenz abtasten und dieses so in ein proportionales, digitales Signal überführen. Je höher die Abtastfrequenz, mit der das analoge Signal abgetastet wird, desto besser spiegelt das digitale Signal den Verlauf des analogen Signals wider. [11]

Dennoch gilt, dass die Abtastrate nicht so hoch wie möglich gewählt werden sollte, sondern lediglich an den Prozess angepasst werden soll, da eine zu hohe Abtastrate kaum Vorteile mit sich bringt. [35]

Da für digitale Werte keine unendlich hohe Auflösung möglich ist, muss der Analogwertbereich, also jener Bereich in dem sich das Analogsignal bewegt, unterteilt werden. Diese Unterteilung des Analogwertbereichs wird auch Quantisierung genannt. Durch die Quantisierung wird der Digitalwertbereich mit einer Bitkombination in eine endliche Anzahl von Werten unterteilt, was eine Stufenfunktion bzw. Treppenkurve ergibt, durch deren Stufenmittelpunkte eine Gerade gelegt werden kann (Abb. 21). Schneidet man die Gerade mit der Treppenkurve erhält man an deren Schnittpunkten den Digitalwert, der alle in diesem Bereich liegenden Analogwerte darstellt. Je höher die Auflösung des Systems, desto geringer ist die Breite der Stufen, welche den kleinsten wahrnehmbaren Unterschied der Stufenfunktion repräsentieren [16].

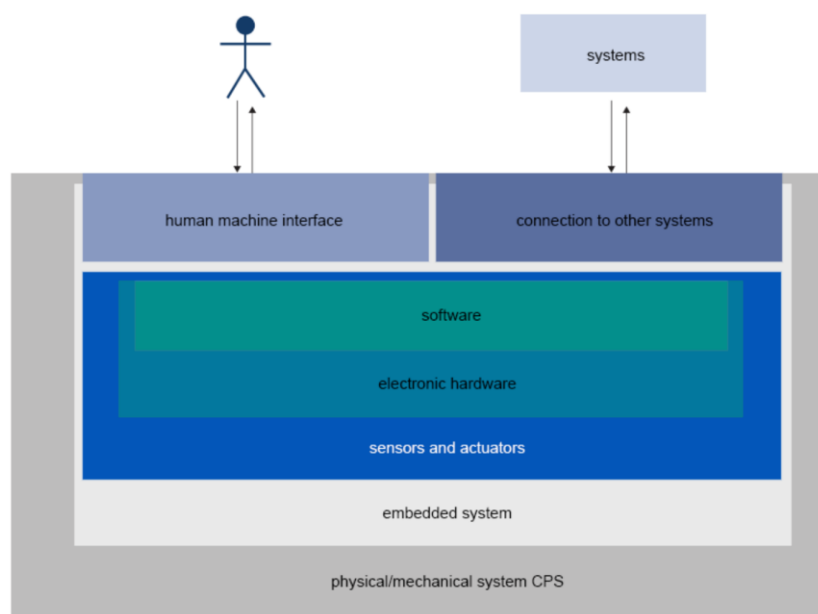


**Abb. 21:** Kennlinie eines 3-bit-A/D-Wandlers [16]

### 3.5. Industrie 4.0

Der Begriff Industrie 4.0 beschreibt das Vorhaben einer umfassenden Digitalisierung in der Industrie, vor allem in der Produktion. Im Zuge dessen kam es zu einer Erweiterung der gängigen Terminologie, auf die nachfolgend näher eingegangen wird. „Cyber Physical Systems“ (CPS) beschreiben ein System, welches Daten mit Internettechnologien („Internet of Things“ (IoT)) sammelt, speichert, analysiert und verarbeitet und diese Daten in der virtuellen und realen Welt integriert, um in weiterer Folge eine menschliche Interaktion zu ermöglichen. Die Erweiterung dieses Begriffs wird als „Cyber Physical Production Systems“ (CPPS) bezeichnet. Als Erweiterung zur Interaktion zwischen Computerwissenschaften, Informations- und Kommunikationstechnologie und menschlicher Interaktion durch grafische „User-Interfaces“ (GUI), welche bereits durch das CPS-Konzept bekannt sind, wird die Automatisierung miteinbezogen (siehe Abb. 22). Durch den Miteinbezug der Automatisierung in die Industrie 4.0 kommt es zur Kombination von Technologien der Industrie 3.0, wie Sensoren und Aktoren, mit moderner Informationstechnologie (Hard- und Software). [29]

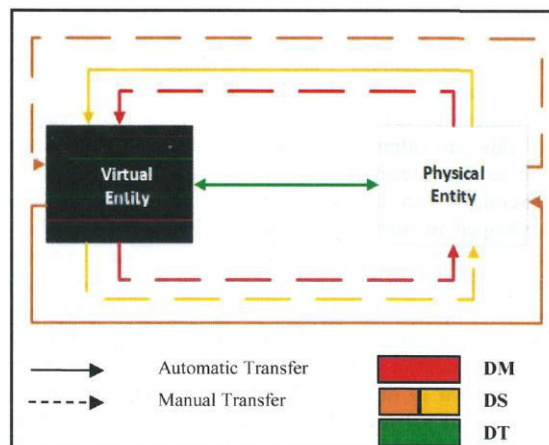
Werden Sensoren, Aktoren und Maschinenkomponenten durch moderne IT und Software miteinander vernetzt, können diese über ein digitales Netzwerk miteinander kommunizieren, indem sie Daten erhalten und senden, um sich so untereinander abzustimmen. Dadurch wird eine standort- und unternehmensübergreifende Kommunikation von CPS ermöglicht [30].



**Abb. 22:** Schema eines „Cyber Physical Systems“ (CPS) [40]

Ein „Digital Twin“ (DT) ist als eine digitale Repräsentanz eines physischen Produktes definiert. Für die metallverarbeitende Industrie ist es jedoch notwendig diesen Begriff zu erweitern. Die erste Unterscheidung ist auf Basis der Anwendung zu treffen. In diesem Industriezweig gibt es zwei Hauptanwendungsbereiche für das Konzept des „Digital Twin“: i.) als Repräsentation eines Produktionsprozesses über die im Laufe des Prozesses gefertigte Teile oder ii.) als gesamtheitlicher Prozess, welcher den realphysikalischen Einfluss auf das verarbeitende Werkstück näher betrachtet. In ii.) liegt der Fokus auf der numerischen Simulation (meist Finite Elemente Analyse (FEA)). [29]

Eine weitere Unterscheidung kann zwischen den Begriffen „Digital Twin“ (DT), „Digital Shadow“ (DS) und „Digital Model“ (DM) getroffen werden. Ein „Digital Model“ beschreibt eine digitale Kopie eines physischen Objekts, jedoch ohne automatisierten Datenaustausch zwischen dem digitalen und physischen Objekt. Ein „Digital Shadow“ beschreibt eine digitale Repräsentanz eines physischen Objektes mit Datenaustausch zwischen beiden Objekten, welcher aber nur unilateral automatisiert abläuft. Ein „Digital Twin“ ermöglicht, ähnlich wie ein „Digital Shadow“, einen Datenaustausch zwischen digitaler Repräsentanz und physischem Objekt, jedoch läuft dieser bilateral automatisiert ab (Abb. 23). [29]

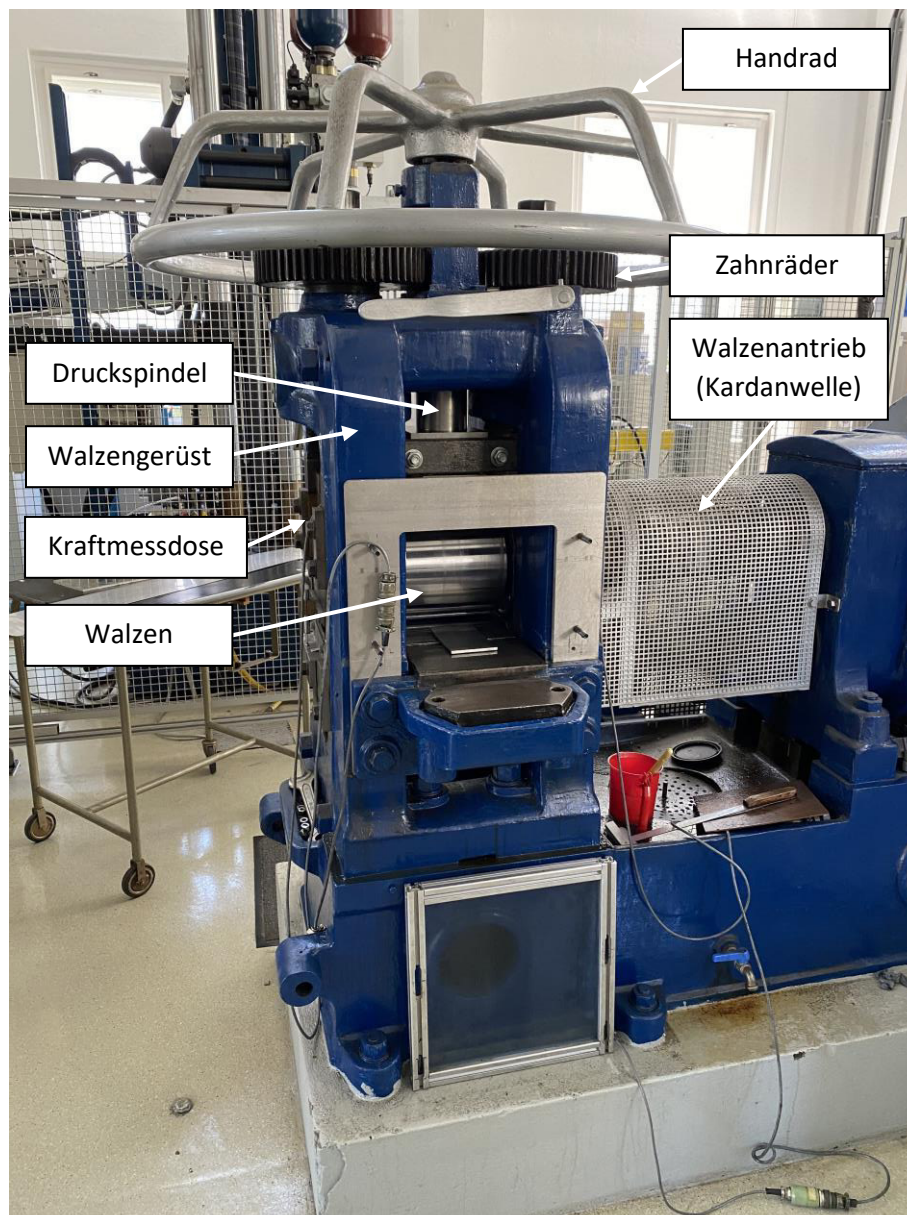


**Abb. 23:** Vergleich des Datenflusses zwischen DM, DS und DT [29]

„Retrofitting“ beschreibt im Kontext der Industrie 4.0 ein Upgrade einer bestehenden Anlage oder Maschine auf den Stand der Industrie 4.0. In wissenschaftlichen Publikationen beschränkt sich dieser Prozess im Wesentlichen auf die Konzipierung, Implementierung und Validierung von geeigneter Infrastruktur, Kommunikations- und Informationstechnologie. Das Ziel eines solchen „Retrofittings“ ist es eine Anlage oder Maschine mit älterer Technologie zu einem CPPS aufzurüsten, um dieses in weitere Folge in eine Industrie 4.0 Umgebung einzugliedern (auch als „brownfield-approach“ bezeichnet). [29]

## 4. Walzwerk

Das am Lehrstuhl für Umformtechnik der Montanuniversität Leoben vorhandene Walzwerk soll einem „Retrofitting“ unterzogen werden, um dieses auf den Stand der Industrie 4.0 zu bringen. Bei diesem Walzwerk handelt es sich um ein Duowalzwerk, ein Walzwerk mit zwei gleichläufigen Arbeitswalzen aus Werkzeugstahl (Abb. 24). Bei dem Walzwerk handelt es sich um eine Maßanfertigung einer externen Firma, weshalb kaum Standardbauteile verbaut wurden.



**Abb. 24:** Duowalzwerk am Lehrstuhl für Umformtechnik

Die obere Arbeitswalze ist bereits mit zwei Kraftmessdosen ausgestattet, welche nach dem DMS-Funktionsprinzip arbeiten (Abb. 25).



**Abb. 25:** Kraftmessdose 2 des Walzwerks

Durch das Handrad, welches sich auf dem Walzwerk befindet, ist es möglich durch eine Anstellspindel mit Übersetzung die Höhe des Walzspaltes zu justieren (Abb. 24). Ein Zahn an den Zahnradern der Anstellspindel entspricht ungefähr 0,07mm Walzenzustellung.

Aus Tabelle 1 können die wichtigsten Kennwerte des Walzwerkes entnommen werden:

**Tabelle 1:** Kennwerte des Walzwerkes

Kennwert	Variable	Wert
Walzendurchmesser	$d_w$	203 mm
Maximale Walzkraft	$F_{\max}$	300 kN
Maximales Walzmoment	$M_{\max}$	2500 Nm
Ballenlänge der Walzen	$l_B$	220 mm
E-Modul des Walzenwerkstoffes	E	210000 N/mm <sup>2</sup>

## 5. Software

Zur Programmierung eines DS für das Walzwerk wurde die objektorientierte Programmiersprache Python verwendet. Ein Grund weshalb Python als Programmiersprache gewählt wurde, ist die mittlerweile weite Verbreitung. Python war nach dem TIOBE Index im September 2020 bereits die drittmeist verwendete Programmiersprache der Welt (siehe Abb. 26) [45]. Ein weiterer Grund Python zu verwenden war, dass es sich bei Python um eine „Open-Source“-Programmiersprache handelt die bereits eine Vielzahl verschiedenster „Frameworks“ bereitstellt, welche ständig erweitert und verbessert werden. Ein weiterer Grund für die Verwendung von Python war zu zeigen, dass „Open-Source“-Produkte wie Python anderen „Closed-Source“-Programmiersprachen gegenüber konkurrenzfähig sind und diese somit auch für kleine und mittelständische Unternehmen kostengünstige alternativen darstellen. Die Messdatenerfassung erfolgt durch einen Controller und der eCockpit-Software der Firma Wago.

Sep 2020	Sep 2019	Change	Programming Language	Ratings	Change
1	2	▲	C	15.95%	+0.74%
2	1	▼	Java	13.48%	-3.18%
3	3		Python	10.47%	+0.59%
4	4		C++	7.11%	+1.48%
5	5		C#	4.58%	+1.18%
6	6		Visual Basic	4.12%	+0.83%
7	7		JavaScript	2.54%	+0.41%
8	9	▲	PHP	2.49%	+0.62%
9	19	▲▲	R	2.37%	+1.33%
10	8	▼	SQL	1.76%	-0.19%
11	14	▲	Go	1.46%	+0.24%
12	16	▲▲	Swift	1.38%	+0.28%
13	20	▲▲	Perl	1.30%	+0.26%
14	12	▼	Assembly language	1.30%	-0.08%
15	15		Ruby	1.24%	+0.03%
16	18	▲	MATLAB	1.10%	+0.04%

**Abb. 26:** TIOBE Index im September 2020 [45]

## 6. Konzipierung

Die Konzipierungen zur Digitalisierung des Walzwerks umfassen die Sensorik, Programmierung sowie deren Auswertung und Ergebnisse. In Abschnitt 6.1. und 6.2. werden, basierend auf den zu erfassenden Messgrößen, geeignete Sensoren gewählt und auf Basis dieser Sensorik ein Python-Programm zur Messdatenerfassung, -verarbeitung, -auswertung und -visualisierung verfasst. Im letzten Schritt wird jedes Konzept durch die Einspeisung exemplarischer Messdaten getestet.

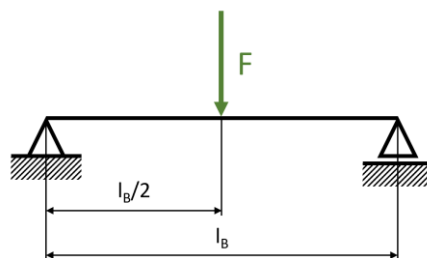
### 6.1. Konzept 1

Das erste Konzept stellt den Versuch da, alle relevanten Messgrößen des Walzwerks zu erfassen. Hierzu kommt eine Vielzahl verschiedener Sensoren zum Einsatz, um diese Messgrößen zu erfassen. Durch eine eigens entwickelte Sensoranordnung soll die Durchbiegung der unteren Arbeitswalze erfasst werden (Abschnitt 6.1.1.). Die von der Sensorik erfassten Messdaten ermöglichen im Zusammenspiel mit der Python-Programmierung die Auswertung und Visualisierung der aufgenommenen Messdaten sowie die Visualisierung der Walzendurchbiegung (Abschnitt 6.1.2. & 6.1.3.).

#### 6.1.1. Sensorik

Die Sensorik umfasst insgesamt 15 Sensoren, die 16 Messgrößen erfassen. Die Gesamtheit dieser Sensoren ermöglicht es Daten über die Durchbiegung der unteren Arbeitswalze, die Größe und Auffederung des Walzspaltes zwischen den beiden Arbeitswalzen, das Walzendrehmoment, die Walzendrehzahl, die Walzkraft, den Winkel des Handrades sowie den Pumpendruck zu sammeln.

Um die Durchbiegung der Arbeitswalze abschätzen zu können wurde eine Vorberechnung zur Abschätzung der zu erwartenden Durchbiegung anhand eines Biegebalkens durchgeführt (Anhang A). Hierfür wurde als Biegeträger die Arbeitswalze mit ihren Abmessungen und die angreifende Kraft als maximale Walzkraft substituiert (Abb. 27).



**Abb. 27:** Vereinfachung der Walze als Biegeträger

Aus der Literatur folgt die Gleichung für die maximale Durchbiegung  $w_{max}$  eines Biegeträgers, mit der Länge  $l$ , dem Flächenträgheitsmoment  $I$  und dem Elastizitätsmodul  $E$ , welcher mittig mit der Kraft  $F$  belastet wird:

$$w_{max} = \frac{F \cdot l^3}{48 \cdot E \cdot I} \quad (6.1)$$

Wobei sich das Flächenträgheitsmoment  $I$  für einen Kreisquerschnitt mit dem Durchmesser  $d$  wie folgt berechnet:

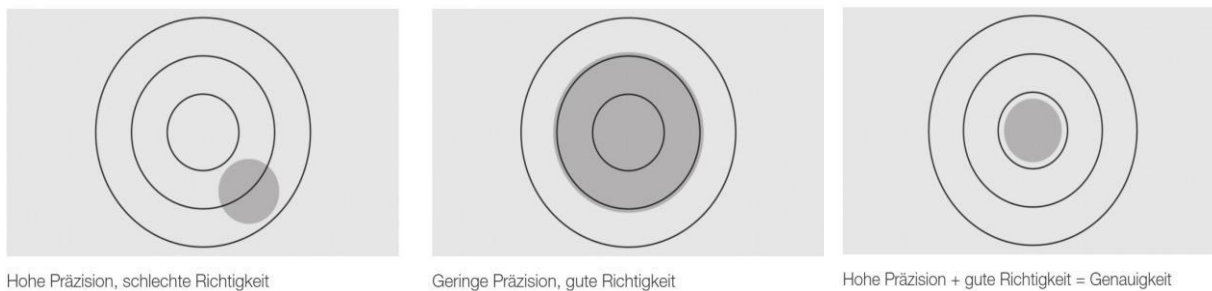
$$I = \frac{d^4 \cdot \pi}{64} \quad (6.2)$$

Aus den Kennwerten folglich Tab. 1 lassen sich alle für die Vorberechnung notwendigen Größen entnehmen. Setzt man Gl. 6.2 in Gl. 6.1 mit den Kennwerten aus Tabelle 1 ein, so erhält man:

$$w_{max} = \frac{F_{max} \cdot l_B^3}{48 \cdot E \cdot \frac{d_W^4 \cdot \pi}{64}} = \frac{300 \cdot 10^3 \cdot 220^3}{48 \cdot 210000 \cdot \frac{203^4 \cdot \pi}{64}} = 3,8 \mu m \quad (6.3)$$

Aus der Vorberechnung (Gl. 6.3) geht hervor, dass an der Stelle der maximalen Durchbiegung der Walze eine Durchbiegung von  $3,8 \mu m$  zu erwarten ist. Hinzu kommen weiterer Anteile die zur Durchbiegung beitragen, wie z.B. durch die elastische Deformation der Walzenlager.

Durch die sehr geringe Durchbiegung im einstelligen  $\mu m$ -Bereich sind Sensoren mit hoher Genauigkeit unerlässlich. Der Begriff Genauigkeit setzt sich hierbei aus den Begriffen Präzision bzw. Linearität und Richtigkeit zusammen (Abb. 28). Die Genauigkeit ist ein Maß für die Übereinstimmung zwischen dem Messergebnis und dem wahren Wert der Messgröße. Eine hohe Genauigkeit kann man also nur erreichen, wenn die Präzision hoch und die Richtigkeit gut ist (Abb. 28) [22].



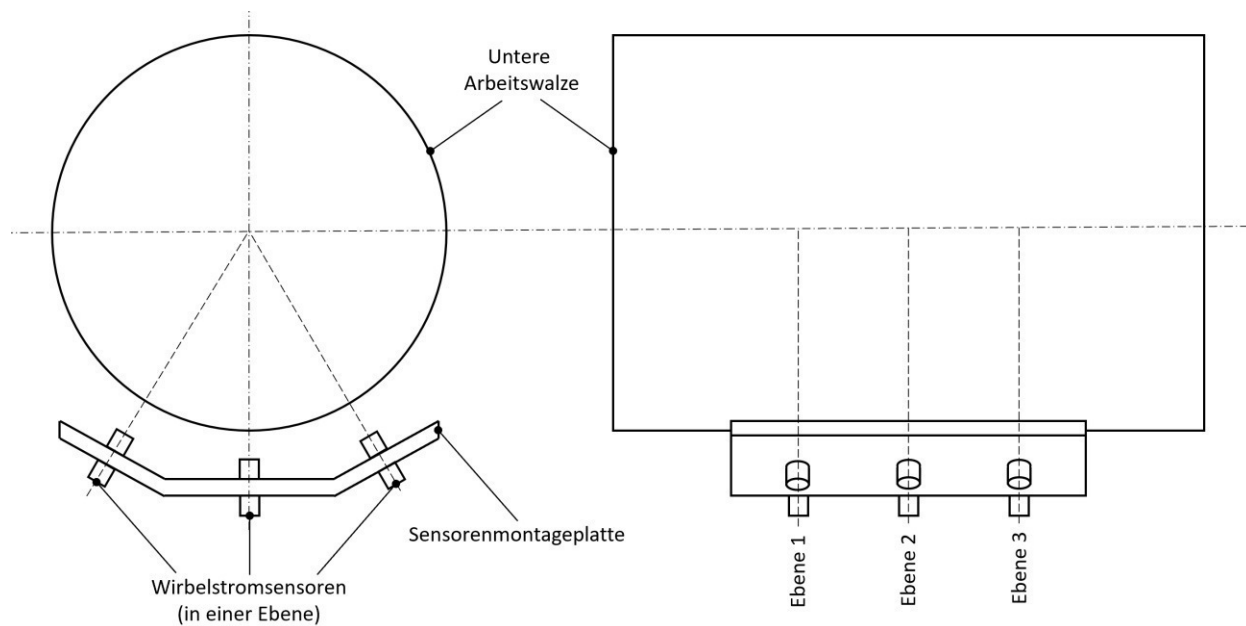
**Abb. 28:** Genauigkeit eines Sensors [22]

Für die richtige Wahl der Sensoren zur Messung der Walzendurchbiegung müssen die Arbeitsbedingungen mit in Betracht gezogen werden. Beim Kaltwalzen kommen Schmiermittel zum Einsatz, welche die Sensoren verschmutzen und diese in ihrer Funktion beeinträchtigen können. Die zu wählenden Sensoren müssen daher folgende Anforderungen erfüllen:

- hohe Genauigkeit (hohe Präzision + gute Richtigkeit)
- geringe Schmutzempfindlichkeit bis Schmutzunempfindlichkeit

Aufgrund dieser Anforderungen fällt die Wahl auf Wirbelstromsensoren, denn diese bieten eine hohe Auflösung, hohe Genauigkeit sowie Schmutzunempfindlichkeit gegenüber allen nichtmetallischen Stoffen, wie etwa Schmiermitteln.

Um die Durchbiegung der Arbeitswalze messen zu können wurde ein Sensoraufbau mit insgesamt neun Wirbelstromsensoren entwickelt. Jeweils drei Wirbelstromsensoren befinden sich in insgesamt drei Ebenen normal zur Walzenachse (Abb. 29).



**Abb. 29:** Schematische Anordnung der Wirbelstromsensoren

Durch diesen Aufbau ist es möglich in jeder Ebene durch die Messpunkte in Kombination mit den bekannten Sensorpositionen drei Punkte zu ermitteln, die sich auf der Arbeitswalze befinden. Durch diese drei Punkte ist der Walzenquerschnitt, ein Kreis, eindeutig in seiner Lage und Form bestimmt. Es kann also die Lage im Raum über den Kreismittelpunkt und den Radius bzw. Durchmesser errechnet werden (siehe

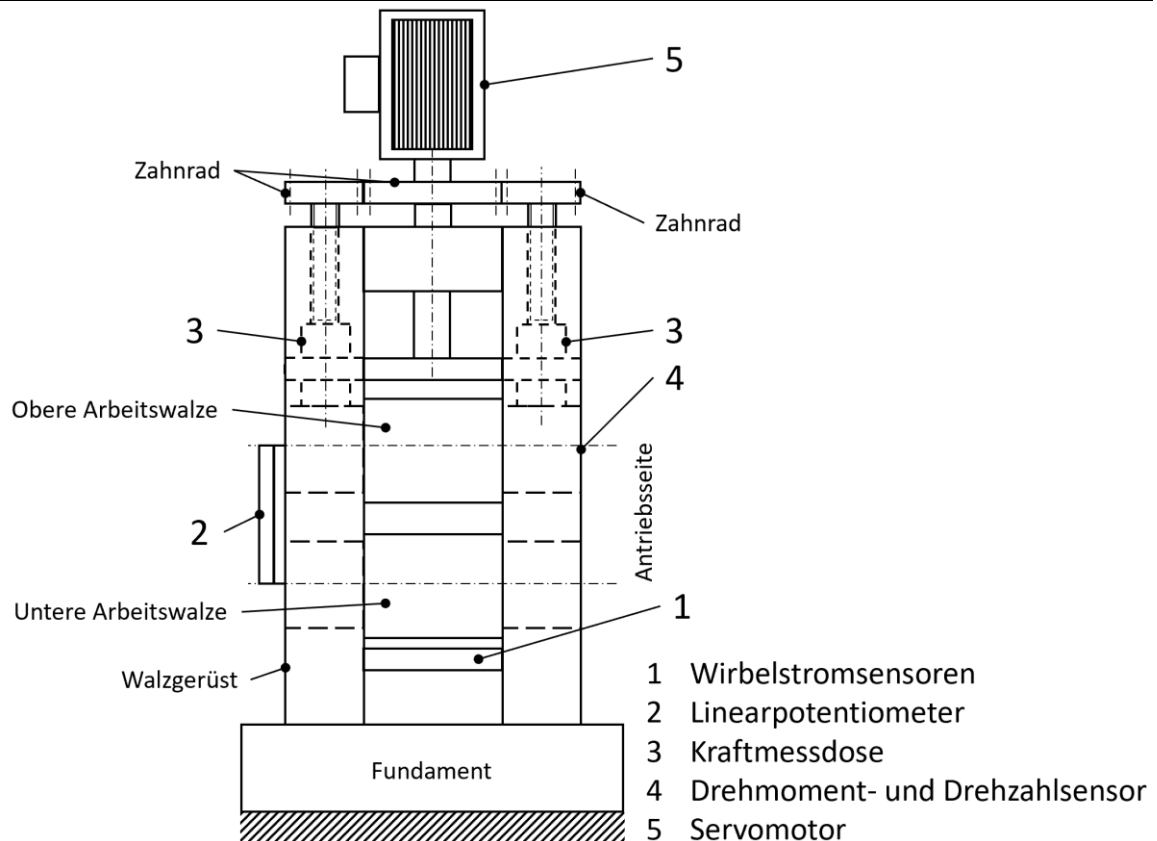
Abb. 43). Die Montage der Wirbelstromsensoren erfolgt aus Platzgründen unter der unteren Arbeitswalze (Abb. 30).

Für die Messung der Größe des Walzspaltes und Auffederung zwischen den beiden Arbeitswalzen kommt aufgrund der hohen Auflösung ein Linearpotentiometer zum Einsatz. Die Montage des Sensors erfolgt zwischen den beiden Walzlagerdeckeln (Abb. 30). Die maximale Höhe des Walzspaltes beträgt ungefähr 35mm, weshalb das Linearpotentiometer eine Wegmessung von mindestens 35mm ermöglichen muss.

Das Drehmoment der Walze wird über einen Drehmomentsensor mit integriertem Drehzahlsensor ermittelt. Hierbei wurde am Walzwerk antriebsseitig eine Kardanwelle verbaut, was auf einen höheren Winkelversatz zwischen An- und Abtriebsseite schließen lässt, weshalb auf die Eignung bei höherem Winkelversatz des Sensors geachtet werden muss. Für die Montage des Drehmomentsensor wird dieser seriell zwischen Antriebs- und Abtriebsseite, also zwischen der Kardanwelle und der Walze, angebracht. Der Drehmomentsensor muss dabei dem maximalen Drehmoment des Walzwerkes von 250Nm (Tabelle 1) standhalten. Die Walzkraft wird mit zwei bereits vorhandenen DMS-Kraftmessdosen gemessen, welche sich über der oberen Arbeitswalze befinden. Die maximale Walzkraft des Walzwerkes beträgt 300kN. Der Pumpendruck, der zur hydraulischen Vorspannung der oberen Arbeitswalze benötigt wird, wird mit einem Drucksensor (barometer) gemessen, welcher nicht direkt am Walzwerk, sondern an einem externen Aggregat verbaut wird. Auf dem Walzwerk wird anstelle des Handrades ein Servomotor montiert, um mithilfe der aus der Programmierung erhaltenen Daten die Zustellung des Walzspaltes zu regeln (Abb. 30). Die insgesamt 15 verbauten Sensoren sind in Tabelle 2 zusammengefasst.

**Tabelle 2:** Sensortypen und Anzahl (Konzept 1)

Position in Abb. 30	Sensor	Anzahl	Messwert
1	Wirbelstromsensor	9	Abstand zur Walzenoberfläche [mm]
2	Linearpotentiometer	1	Auffederung zwischen den Walzen [mm]
3	Kraftmessdose	2	Walzkraft am Führungsholm [N]
4	Drehmomentsensor inkl. Drehzahlsensor	1	Drehmoment der Walze [Nm] + Drehzahl der Walze [1/s]
5	Servomotor inkl. Winkelsensor	1	Winkel des Handrades [°]
-	Drucksensor	1	Druck der hydraulischen Vorspannung [MPa]

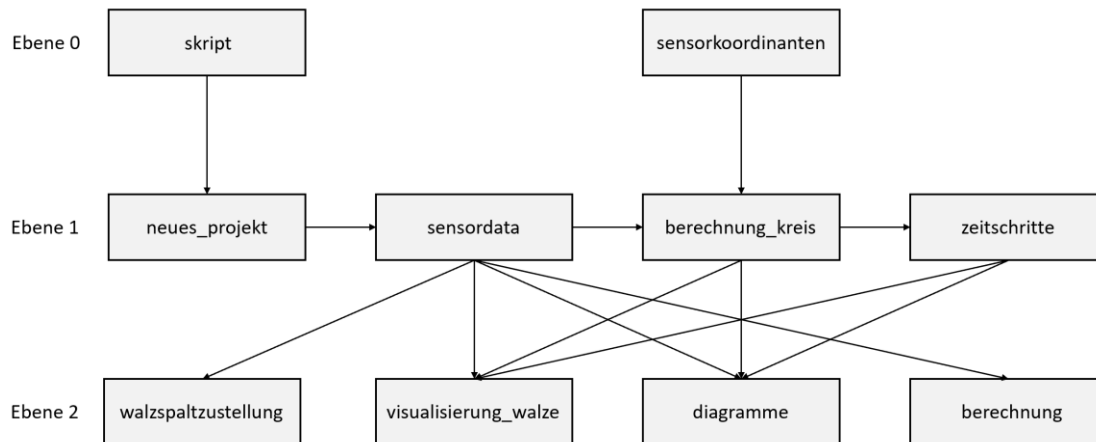


**Abb. 30:** Walzwerk mit Sensoren (Konzept 1)

Die analogen Messsignale der Sensoren werden über ein A/D-Wandler in digitale Messsignale umgewandelt und anschließend auf einem Rechner mit der dazugehörigen Programmierung (siehe Abschnitt 6.1.2.) ausgewertet. Um diese Daten für den Maschinenbediener leichter zugänglich zu machen, wird ein Tablet verwendet, welches als Bildschirm und Eingabemodul für diesen Rechner dient.

### 6.1.2. Programmierung

Zur Auswertung der Messdaten und zu deren Visualisierung wurde Python verwendet. Hierzu wurde ein Skript geschrieben, welches alle gewünschten Funktionen ausführt. Dabei greift das Skript auf ebenfalls selbst programmierte Module zu, welche diese Funktionen enthalten und dann ausführen. Abb. 31 zeigt ein Flussdiagramm der verschiedenen Module, die im Zuge des ausführenden Skripts verwendet werden. Der Quellcode kann Anhang A entnommen werden.



**Abb. 31:** Flussdiagramm der Module (Konzept 1)

Ebene 0 beschreibt jene Gruppe von Skripten und Modulen, die die Ausführung von Befehlen initialisieren („skript“) und vordefinierte Werte bzw. Daten liefern („sensorkoordinanten“). Ebene 1 beschreibt jene Gruppe von Modulen, die für Datensammlung und -filtrierung zuständig sind. Ebene 2 beschreibt jene Gruppe von Modulen, die für die Auswertung und Visualisierung der Daten, welche durch Module der Ebene 1 bereitgestellt werden, zuständig sind.

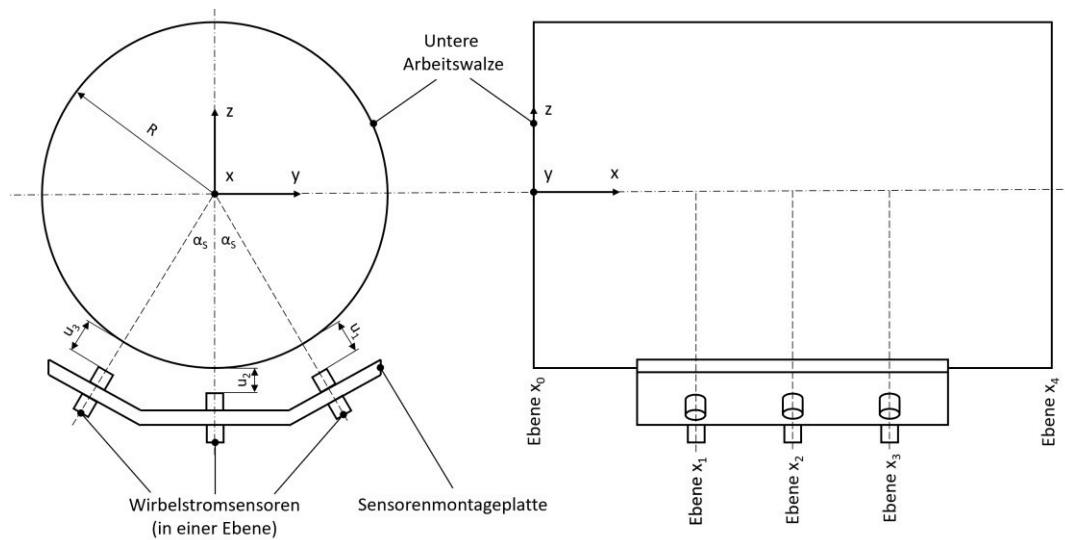
### 6.1.2.1. Modul „neues\_projekt“

Das Modul „neues\_projekt“ generiert einen neuen Ordner auf einem vordefinierten Pfad mit einem vom Anwender frei wählbaren Projektnamen. Die Benennung des Projektordners erfolgt standardisiert im Format „Jahr-Monat-Tag [Stunde-Minute-Sekunde] – Projektname“ um eine mehrfache Verwendung von Projektordnernamen zu verhindern und so auch Datenverlust vorzubeugen. Zur Generierung des Projektordnernamens wird auf die lokale Uhr des Rechners zugegriffen. Im Projektordner wird ein der Unterordner „csv-data“ generiert, welcher nach Wahl des Anwenders alle csv-Dateien mit den Messdaten der Sensoren und/oder eine Zusammenfassung aller Messdaten der Sensoren enthält.

### 6.1.2.2. Modul „sensorkoordinaten“

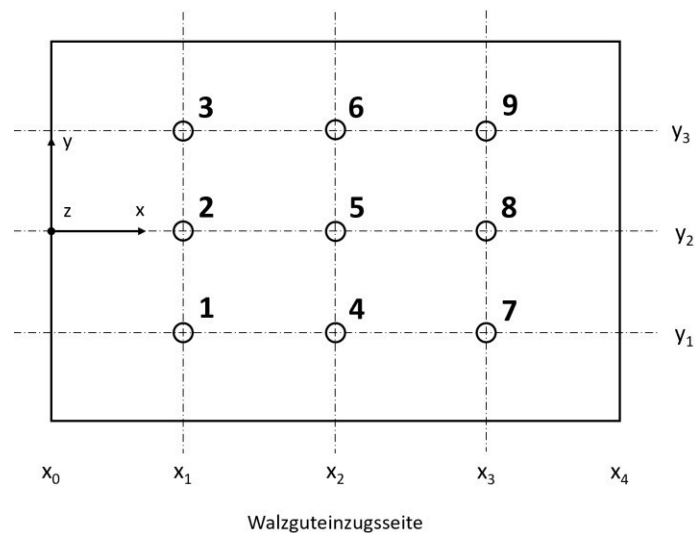
Das Modul „sensorkoordinaten“ stellt die grundlegenden Kennwerte bereit, die für die weitere Messdatenverarbeitung und Visualisierung benötigt werden. Das Modul liefert die x-, y- und z-Koordinaten und Anstellwinkel  $\alpha_s$  der Wirbelstromsensoren (Abb. 32), die für die Berechnung und Visualisierung der Durchbiegung der unteren Arbeitswalze benötigt werden. Die Messwerte der Wirbelstromsensoren  $u_1$ ,  $u_2$  und  $u_3$  werden zusammen mit dem Modul „berechnung\_kreis“ und den von Modul „sensorkoordinaten“

gelieferten Werten umgerechnet (siehe Abschnitt 6.1.2.5.). Der Standardabstand im unbelasteten Zustand der Walze zwischen Wirbelstromsensor und Arbeitswalze  $a$  kann formal folgend dargestellt werden:  $a = u_1 = u_2 = u_3 = 1\text{mm}$ , dieser variiert jedoch in Abhängigkeit vom gewählten Wirbelstromsensor.



**Abb. 32:** Sensorkoordinaten

Die Wirbelstromsensoren werden hierbei mit einer fortlaufenden Nummerierung von eins bis neun versehen, um eine eindeutige Zuordnung der Sensorkoordinaten und Messdaten zu ermöglichen und in weiterer Folge die Berechnung und Zuordnung der Ergebnisse zu erleichtern (Abb. 33).



**Abb. 33:** Schematische Sensorpositionierung in der Draufsicht

Die Koordinate  $x_0$  beschreibt hierbei die Anfangslänge der Walze (0mm) und  $x_4$  auf die Ballenlänge der Walze (siehe Tab. 1).

### 6.1.2.3. Modul „sensoredata“

Das Modul „sensoredata“ liest die Messdaten aller Sensoren ein, welche in einem zuvor definierten Verzeichnis zu finden sind. Die Messdaten der Sensoren sind in einer csv-Datei gespeichert, die eingelesen und intern in Python als Liste gespeichert werden. Dieser Datensatz wird im Code allgemein als „all\_data“ bezeichnet und ist eine „List of Lists“, eine Liste, die Listen mit den Messdaten zu jedem Messzeitpunkt enthält.

Exemplarisch wird hier ein Datensatz mit zwei Messzeitpunkten ( $t_1$ ,  $t_2$ ) und den Messdaten zum jeweiligen Messzeitpunkt ( $s_1$ - $s_{16}$ ) angeführt:

```
all_data = [[t1, s1, s2, s3, s4, s5, s6, s7, s8, s9, s10, s11, s12, s13, s14, s15, s16], [t2, s1, s2, s3, s4, s5, s6, s7, s8, s9, s10, s11, s12, s13, s14, s15, s16]]
```

**Tabelle 3:** Sensorenbezeichnung im Datensatz "all\_data" (Konzept 1)

Position im Datensatz	Sensor	Abkürzung	Messwert
1	Wirbelstromsensor 1	$s_1$	Abstand zur Walzenoberfläche [mm]
2	Wirbelstromsensor 2	$s_2$	Abstand zur Walzenoberfläche [mm]
3	Wirbelstromsensor 3	$s_3$	Abstand zur Walzenoberfläche [mm]
4	Wirbelstromsensor 4	$s_4$	Abstand zur Walzenoberfläche [mm]
5	Wirbelstromsensor 5	$s_5$	Abstand zur Walzenoberfläche [mm]
6	Wirbelstromsensor 6	$s_6$	Abstand zur Walzenoberfläche [mm]
7	Wirbelstromsensor 7	$s_7$	Abstand zur Walzenoberfläche [mm]
8	Wirbelstromsensor 8	$s_8$	Abstand zur Walzenoberfläche [mm]
9	Wirbelstromsensor 9	$s_9$	Abstand zur Walzenoberfläche [mm]
10	Linearpotentiometer	$s_{10}$	Auffederung zwischen den Walzen [mm]
11	Kraftmessdose 1	$s_{11}$	Walzkraft linker Führungsholm [N]
12	Kraftmessdose 2	$s_{12}$	Walzkraft rechter Führungsholm [N]
13	Drehmomentsensor	$s_{13}$	Drehmoment der Walze [Nm]
14	Drehzahlsensor	$s_{14}$	Drehzahl der Walze [1/s]
15	Winkelsensor	$s_{15}$	Winkel des Handrades [°]
16	Drucksensor	$s_{16}$	Druck der hydraulischen Vorspannung [MPa]

Wie bereits in Abschnitt 6.1.2.1. beschrieben, kann dieser Datensatz in diesem Format als Zusammenfassung in eine csv-Datei in den Projektordner exportiert werden.

#### 6.1.2.4. Modul „zeitschritte“

Das Modul „zeitschritte“ filtert aus dem von Modul „sensordata“ bereitgestellten Datensatz „all\_data“ alle Zeitpunkte, an denen eine Messung durchgeführt wurde und liefert eine Liste, die alle Messzeitpunkte enthält. Zusätzlich liefert das Modul jenen Zeitpunkt, an dem die maximale Durchbiegung der Arbeitswalze im gesamten Messungszeitraum vorliegt.

#### 6.1.2.5. Modul „berechnung\_kreis“

Das Modul „berechnung\_kreis“ berechnet mit dem von Modul „sensordata“ bereitgestellten Datensatz „all\_data“ und den Sensorkoordinaten aus dem Modul „sensorkoordinaten“ die auf der Arbeitswalze liegenden Messpunkte. Die Berechnung wird jeweils in jeder der drei x-Ebenen  $x_1$ ,  $x_2$  und  $x_3$  (Abb. 32) zum Zeitpunkt  $t$  durchgeführt. Aus Abb. 32 können für die Ebene  $x_i$  folgende geometrische Zusammenhänge hergestellt werden, um die auf der Walze liegenden Punkte zu beschreiben. Für den Messpunkt von Sensor 1 (rechts) in der Ebene  $x_i$  gilt (siehe Abb. 32):

$$x_{1,i} = x_i \quad (6.4)$$

$$y_{1,i} = (R + a - u_1) \cdot \sin \alpha_s \quad (6.5)$$

$$z_{1,i} = -(R + a - u_1) \cdot \cos \alpha_s \quad (6.6)$$

Für den Messpunkt von Sensor 2 (mittig) in der Ebene  $x_i$  gilt (Abb. 32):

$$x_{2,i} = x_i \quad (6.7)$$

$$y_{2,i} = 0 \quad (6.8)$$

$$z_{2,i} = -(R + a) + u_2 \quad (6.9)$$

Für den Messpunkt von Sensor 3 (links) in der Ebene  $x_i$  gilt (Abb. 32):

$$x_{3,i} = x_i \quad (6.10)$$

$$y_{3,i} = -(R + a - u_3) \cdot \sin \alpha_s \quad (6.11)$$

$$z_{3,i} = -(R + a - u_3) \cdot \cos \alpha_s \quad (6.12)$$

Durch diese drei Punkte kann nun die Lage des Walzenquerschnittes im Raum ermittelt werden (siehe Anhang A). Wird dies für alle drei x-Ebenen  $x_1$ ,  $x_2$  und  $x_3$  zum Zeitpunkt  $t$  durchgeführt, so können die drei Mittelpunkte und Radien des Walzenquerschnittes (Kreis) ermittelt werden. Durch die drei Mittelpunkte des Walzenquerschnittes kann die Durchbiegung bzw. die Biegelinie mittels einer Polynomapproximation ermittelt werden.

Dieses Modul liefert den Datensatz „data\_tmr“, wobei „tmr“ für Zeit, Mittelpunkt und Radius steht, für alle Zeitpunkte  $t$  (exemplarisch für die Zeitpunkte  $t_1$  und  $t_2$ ) des Walzprozesses im Format:

```
data_tmr = [[t1, x1,1, y1,1, z1,1, r1], [t1, x1,2, y1,2, z1,2, r2], [t1, x1,3, y1,3, z1,3, r3], [t2, x1,1, y1,1, z1,1, r1], [t2, x1,2, y1,2, z1,2, r2], [t2, x1,3, y1,3, z1,3, r3]]
```

#### **6.1.2.6. Modul „berechnung“**

Das Modul „berechnung“ führt eine Vorberechnung nach Gl. 6.3 durch, um die maximal auftretende Durchbiegung der Arbeitswalze abschätzen zu können. Zusätzlich werden ausgewählte Größen des Walzprozesses wie die gedrückte Länge  $l_d$  (nach Gl. 3.9), der Greifwinkel  $\alpha$  (nach Gl. 3.14), die maximale Dickenabnahme des Walzgutes  $\Delta h_{\max}$  (nach Gl. 3.15), sowie das Gerüstmodul  $C$  (nach Gl. 3.16) berechnet.

#### **6.1.2.7. Modul „diagramme“**

Das Modul „diagramme“ liefert auf Basis der Messdaten und deren Auswertung verschiedene Diagramme. Es werden Diagramme auf Basis der unverarbeiteten Messdaten, wie z.B. der Walzenkräfte, des Walzendrehmomentes, der Walzendrehzahl, des Handradwinkels und des Pumpendruckes ausgegeben. Durch eine Auswertung der Messdaten können Diagramme der Walzenradien über den gesamten Walzprozess, die Gerüstkennlinie des Walzwerkes, sowie die Geometrie des Walzspaltes visualisiert werden.

#### **6.1.2.8. Modul „visualisierung\_walze“**

Das Modul „visualisierung\_walze“ ermöglicht es die 3-D-Biegelinie der unteren Arbeitswalze, die Kreis- bzw. Sensorebenen (aus Abschnitt 6.1.2.5.), die untere Arbeitswalze separat und beide Arbeitswalzen simultan zu visualisieren.

Die Visualisierung der 3-D-Biegelinie erfolgt über eine Polynomapproximation durch die aus Abschnitt 6.1.2.5. errechneten Mittelpunkte der Walzenquerschnitte aus dem Datensatz „data\_tmr“. Diese Polynomapproximation geschieht hierbei in der x-y- und x-z- Ebene – dies liefert zwei zweidimensionale

Polynome. Diese Polynome beziehen ihre  $y$ - und  $z$ -Werte jeweils auf dieselben  $x$ -Koordinaten, was es ermöglicht diese als dreidimensionale Biegelinie zu visualisieren. Außerdem wurde ein sogenannter Verstärkungsfaktor eingeführt, welcher frei wählbar ist. Dies ermöglicht bei den erwartungsgemäß sehr kleinen Durchbiegungen eine bessere Darstellung.

Die Visualisierung der Kreis- bzw. Sensorebenen wird durch die aus Abschnitt 6.1.2.5 gewonnenen Daten über die Mittelpunkte und Radien der Walzenquerschnitte aus dem Datensatz „data\_tmr“ errechnet. Zur Visualisierung der unteren Arbeitswalze werden die Funktionalitäten der 3-D-Biegelinie und Kreis- bzw. Sensorebenen kombiniert. Im ersten Schritt wird aus dem Datensatz „data\_tmr“ aus den Mittelpunkten der Walzenquerschnitte die 3-D-Biegelinie der unteren Arbeitswalze ermittelt. Im zweiten Schritt werden wie zuvor beschrieben die Kreis- bzw. Sensorebenen ermittelt. Im dritten Schritt wird aus den Daten über Mittelpunkte und Radien, welche jeweils einen eindimensionalen Vektor darstellen, ein dreidimensionales Vektorfeld erzeugt, um die Oberfläche der unteren Arbeitswalze beschreiben zu können. Auch hier besteht die Möglichkeit die Darstellung der Durchbiegung durch einen Verstärkungsfaktor zu verbessern.

Zur Visualisierung beider Walzen wird derselbe, wie zuvor beschriebene Ablauf angewendet. Zusätzlich wird die obere Arbeitswalze unter der Annahme einer spiegelsymmetrischen Biegung unter Miteinbezug der Auffederung zwischen den beiden Arbeitswalzen aus dem Datensatz „all\_data“ visualisiert. Hierfür wird der grundlegende Ablauf der Visualisierung der unteren Arbeitswalze beibehalten, jedoch einige geometrisch bedingte Änderungen an den Daten vorgenommen (siehe Anhang A).

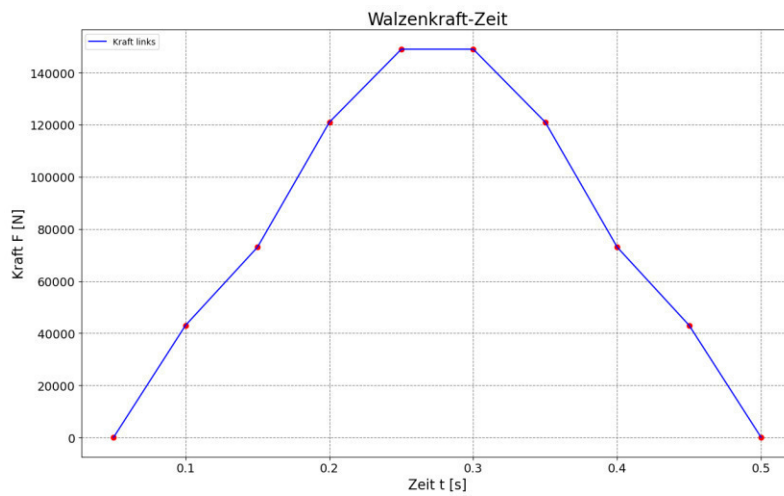
#### **6.1.2.9. Modul „walzspaltzustellung“**

Das Modul „walzspaltzustellung“ ermittelt aus dem Datensatz „all\_data“ die Walzspaltöffnung  $s_0$  und die Auslaufdicke des Walzgutes bzw. die Walzspaltöffnung mit Auffederung  $h_1$  und ermittelt daraus die notwendige Zustellung. Die notwendige Zustellung wird durch die Übersetzung des Walzwerkes umgerechnet und in einen Zustellwinkel überführt, welcher an den Servomotor weitergegeben wird, der sich um diesen Zustellwinkel dreht und damit den definierten Walzspalt einstellt.

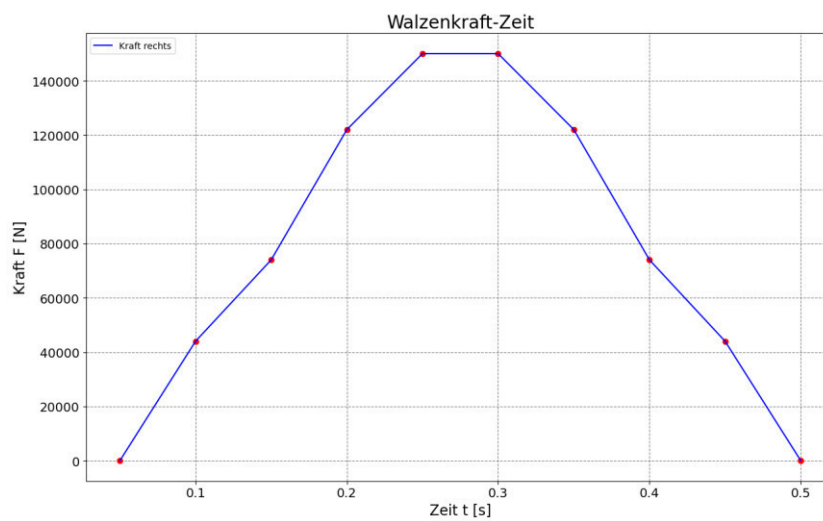
#### **6.1.3. Auswertung und Ergebnisse**

Für die Auswertung wurden repräsentative csv-Dateien mit Messdaten angelegt, welche Messwerte der Sensoren darstellen. Diese wurden mit realen Grenzwerten, basierend auf Maschinen- und Sensorkennwerten, generiert, um real auftretende Messwerte bestmöglich abzubilden. Diese können den beigelegten Dateien entnommen werden.

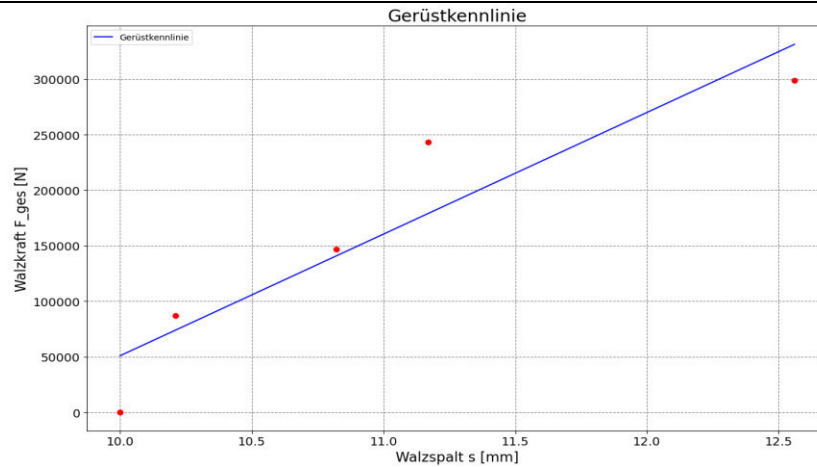
In Abb. 34 – 42 sind die Diagramme ausgewählter Messwerte und Kenngrößen zu sehen.



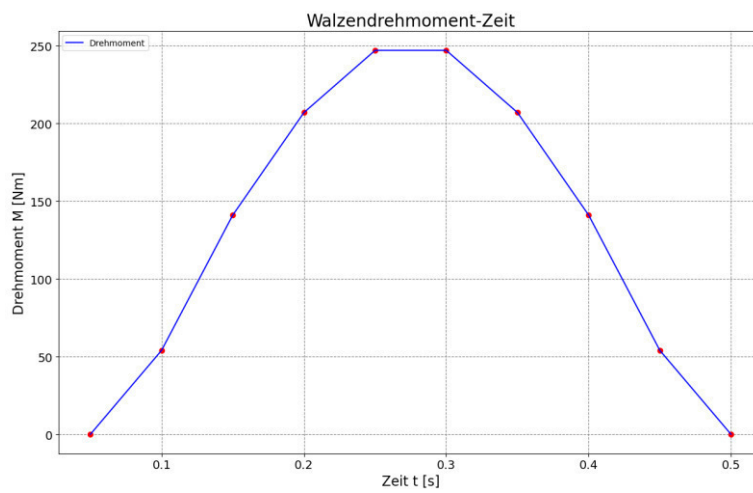
**Abb. 34:** Walzenkraft-Zeit-Diagramm der linken Kraftmessdose



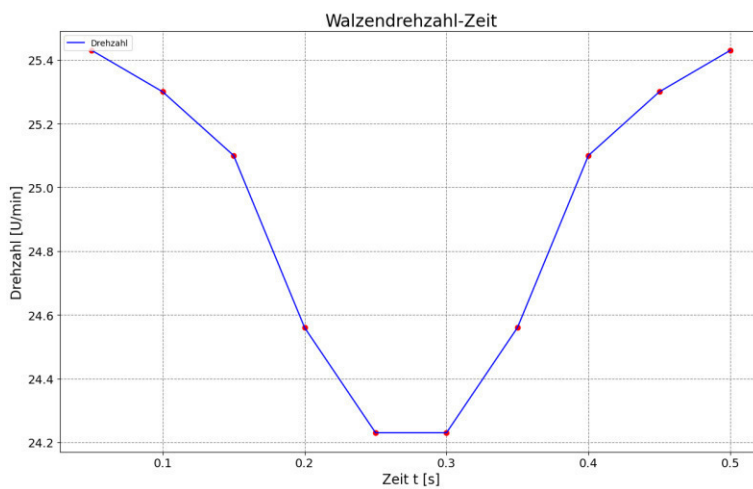
**Abb. 35:** Walzenkraft-Zeit-Diagramm der rechten Kraftmessdose



**Abb. 36:** Gerüstkennlinie des Walzwerkes



**Abb. 37:** Walzendrehmoment-Zeit-Diagramm



**Abb. 38:** Walzendrehzahl-Zeit-Diagramm

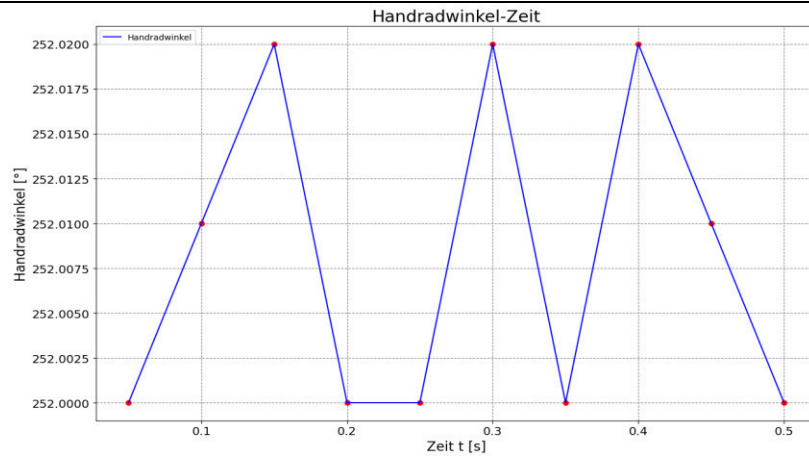


Abb. 39: Handradwinkel-Zeit-Diagramm

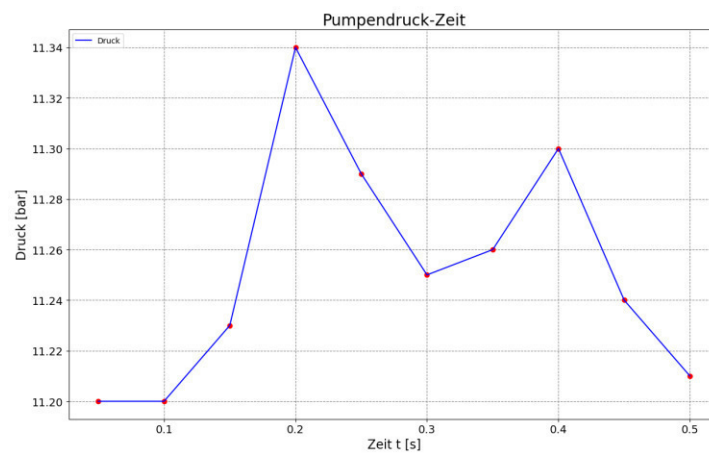


Abb. 40: Pumpendruck-Zeit-Diagramm

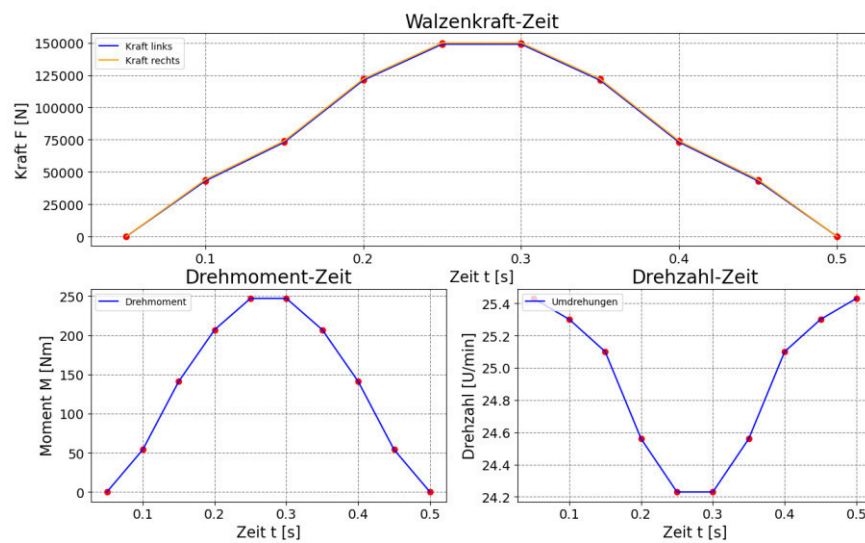
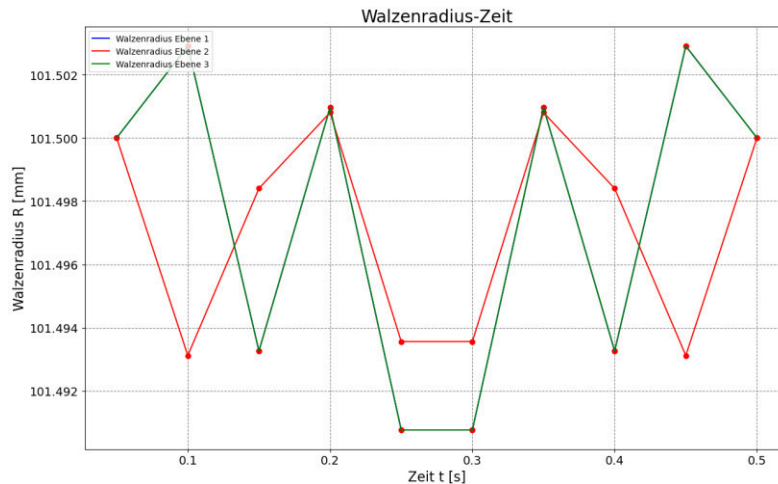
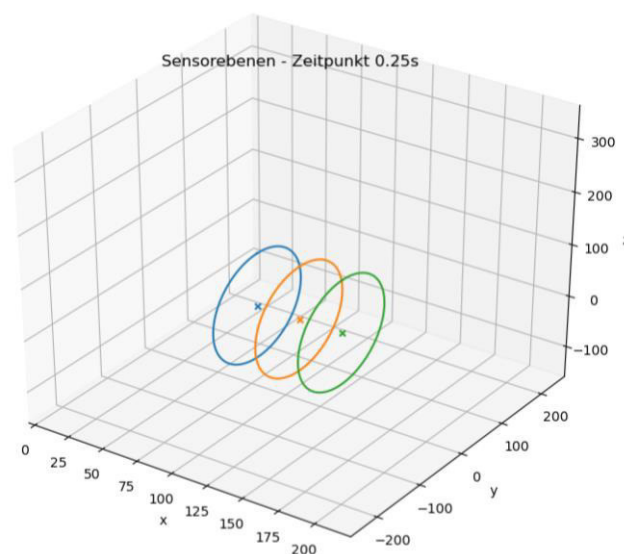


Abb. 41: Zusammenstellung von Kraft-Zeit-, Drehmoment-Zeit- und Drehzahl-Zeit-Diagramm



**Abb. 42:** Walzenradius-Zeit-Diagramm

In Abb. 43 ist die Visualisierung der Sensorebenen (Ebene 1 = blau, Ebene 2 = orange, Ebene 3 = grün) der Wirbelstromsensoren aus Abb. 32 zusehen. Darin werden die aus dem Datensatz „data\_tmr“ berechneten Daten über die Lage bzw. Mittelpunkte und die Radien des Walzenquerschnittes in der jeweiligen Ebene  $x_i$  dargestellt. Durch diese Mittelpunkte wird durch eine Polynomapproximation die 3-D-Biegelinie (Abb. 45) ermittelt. Durch die Projektion der Biegelinie kann unter Berücksichtigung der Auffederung zwischen den beiden Arbeitswalzen auf die Walzspaltgeometrie geschlossen werden (Abb. 44). Aus der Walzspaltgeometrie lässt sich die maximale Durchbiegung ermitteln, welche zusätzlich in Kombination mit der Walzspaltgeometrie Auskunft über die Planheit des Walzgutes liefert. Entlang der ermittelten Biegelinie erfolgt die, wie in Abb. 46 und 48 zu sehen, Visualisierung der Arbeitswalze.



**Abb. 43:** Visualisierung der Wirbelstromsensorebenen

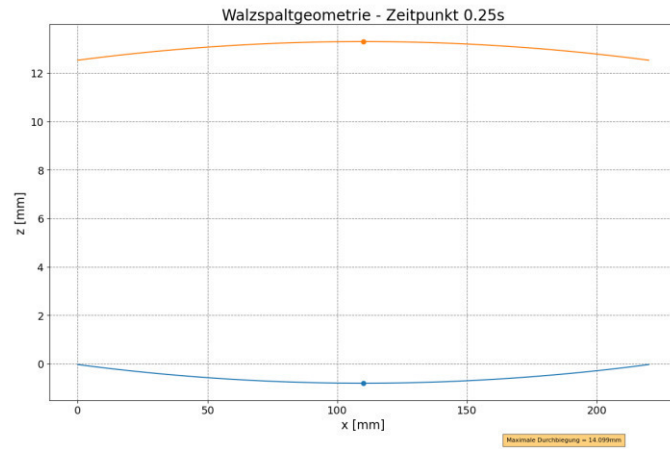


Abb. 44: Walzspaltgeometrie

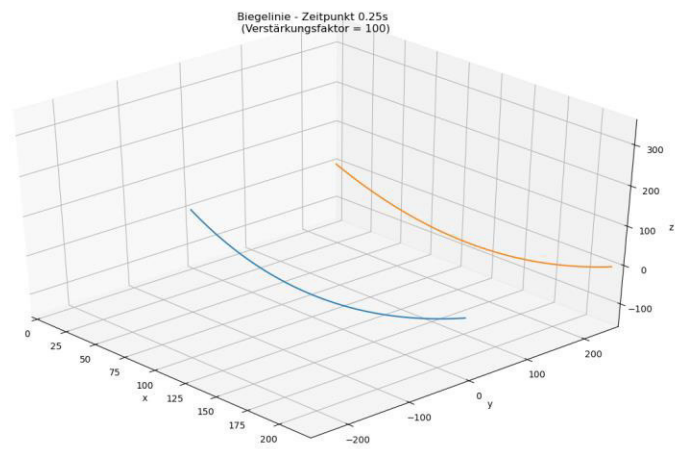


Abb. 45: 3-D-Biegelinie (blau) und 2-D-Biegelinie (orange)

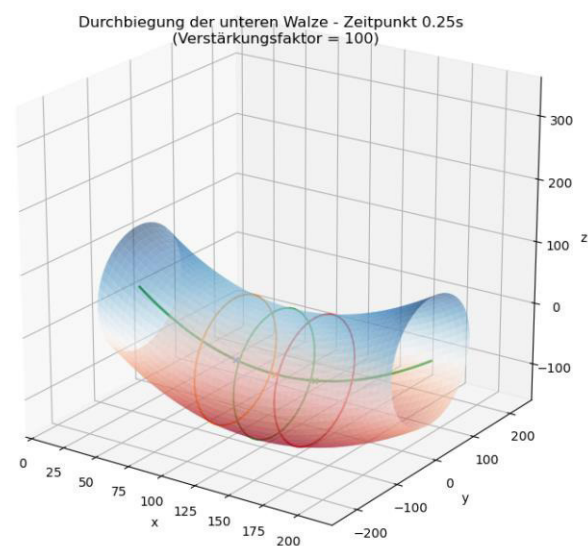
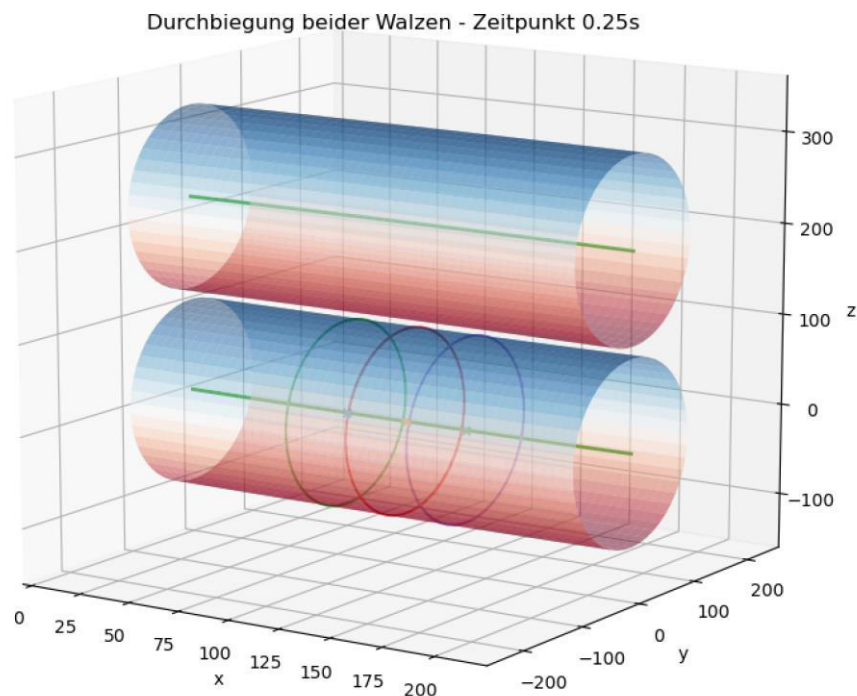


Abb. 46: Visualisierung der Durchbiegung der unteren Walze mit Verstärkungsfaktor

Projektordner '2020-07-08 [13-14-44] - Walzen 1.0038' wurde angelegt  
Export aller .csv-Dateien in den Projektordner '2020-07-08 [13-14-44] - Walzen 1.0038' erfolgreich  
Export der Sammlung aller .csv-Dateien in den Projektordner '2020-07-08 [13-14-44] - Walzen 1.0038' erfolgreich  
 $t_{\max} = 0.25$  s,  $\Delta z_{\max} = 12.559999891892272$  mm (= 12559.9999891892272  $\mu\text{m}$ )  
Gedrückte Länge  $l_d = 14.213$ mm  
Maximaler Greifwinkel  $\alpha_{\theta} = 7.971^\circ$   
Maximale Dickenabnahme  $\Delta h_{\max} = 4.06$ mm  
Gerüstmodul  $C = 42.777$ kN/mm  
Auffederung  $1/C = 0.023$ mm/kN  
Notwendige Drehung der Zustellung:  $1053.26^\circ$  (entspricht 18.38 Umdrehungen)

**Abb. 47:** Ausgabe im Log



**Abb. 48:** Visualisierung der Durchbiegung der beiden Walzen

Das Konzept der Sensorik im Zusammenspiel mit der Programmierung durch Python liefert den „Proof of Concept“ und untermauert die Machbarkeit des Konzeptes. Unter den Gesichtspunkten der Wirtschaftlichkeit stehen die Kosten dem Nutzen gegenüber. Der Nutzen bestünde darin, die Daten für die Forschung und Lehre am Lehrstuhl zu sammeln, zu verarbeiten und zu visualisieren. Diese also für Mitarbeiter und Studenten zu veranschaulichen. Aufgrund der hohen Kosten der Sensorik ist dieses „Retrofitting“ in Bezug auf den dadurch gewonnenen Nutzen jedoch nicht wirtschaftlich. Daher wurde im Zuge dieser Arbeit ein zweites Konzept (siehe Abschnitt 6.2.) erarbeitet.

## 6.2. Konzept 2

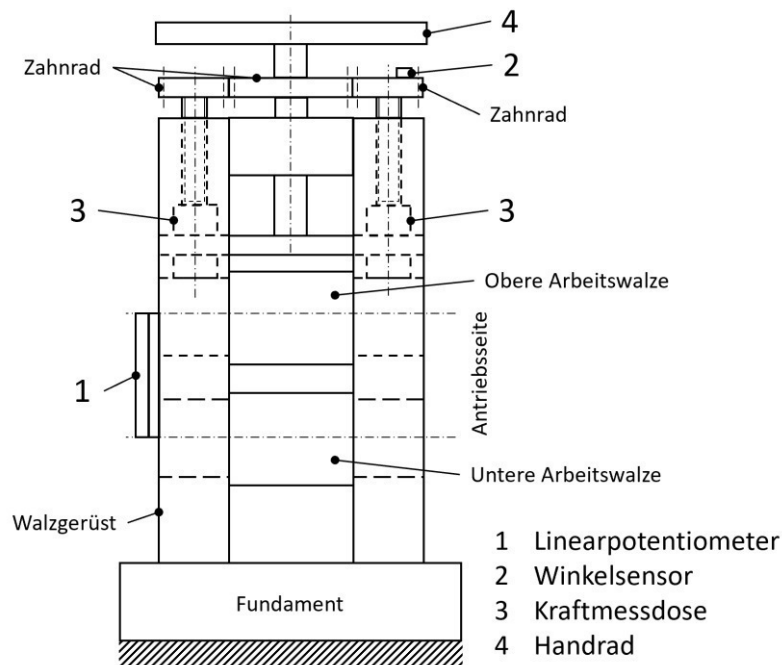
Das zweite Konzept wurde gegenüber dem ersten Konzept aus Abschnitt 6.1. aus wirtschaftlichen Gründen weiter modifiziert. Durch die Neudefinition der zu erfassenden, relevanten Messgrößen, der Walzspaltauffederung, der Zahnradwinkel zur Walzspaltzustellung und die Walzkräfte, wurde das Sensorkonzept (6.2.1.) sowie die Python-Programmierung zur Datenerfassung, -auswertung und Visualisierung (6.2.2. & 6.2.3.) modifiziert.

### 6.2.1. Sensorik

Die Sensorik umfasst insgesamt vier Sensoren die vier Messgrößen erfassen. Die Gesamtheit dieser Sensoren ermöglicht es Daten über die Größe und Auffederung des Walzspaltes zwischen den beiden Arbeitswalzen, die Walzkraft und den Winkel des Zahnrades zur Walzspaltzustellung zu sammeln.

Für die Messung der Größe des Walzspaltes und Auffederung zwischen den beiden Arbeitswalzen kommt aufgrund der hohen Auflösung ein Linearpotentiometer zum Einsatz. Die Montage des Sensors erfolgt zwischen den beiden Walzlagerdeckeln. Die maximale Höhe des Walzspaltes beträgt dabei ungefähr 35mm, weshalb das Linearpotentiometer eine Wegmessung von mindestens 35mm ermöglichen muss.

Die Walzkraft wird mit zwei bereits vorhandenen DMS-Kraftmessdosen gemessen, welche sich über der oberen Arbeitswalze befinden. Die maximale Walzkraft des Walzwerkes beträgt 300kN. Der Winkel des Zahnrades zur Verstellung des Walzspaltes wird mit einem sogenannten Multiturn-Encoder gemessen. Dieser erfasst auch nach mehreren Umdrehungen den Winkel des Zahnrades. Die Montage des Multiturn-Encoders erfolgt direkt unter den Speichen des Handrads und oberhalb des Zahnrades, welcher durch ein Reibrad mit dem Zahnrad in Kontakt gebracht wird. Das Reibrad weist nicht denselben Durchmesser wie jene Kontaktstelle des Zahnrades auf, mit dem das Reibrad in Kontakt steht. Durch die Ungleichheit dieser Durchmesser wird der Winkel nicht 1:1 vom Handrad auf den Multiturn-Encoder übertragen, was eine Umrechnung der Messwerte bzw. zusätzlich Kalibrierung erfordert (Abb. 49).



**Abb. 49:** Walzwerk mit Sensoren (Konzept 2)

Insgesamt sind vier Sensoren in das System eingebunden. Tabelle 4 bietet eine Übersicht über Art und Anzahl der gewählten Sensoren.

**Tabelle 4:** Sensortypen und Anzahl (Konzept 2)

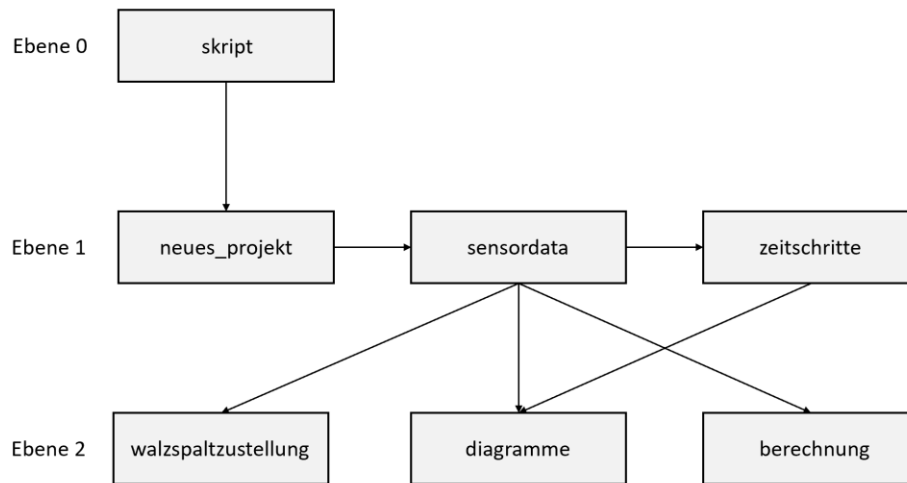
Position in Abb. 49	Sensor	Anzahl	Messwert
1	Linearpotentiometer	1	Auffederung zwischen den Walzen [mm]
2	Winkelsensor	1	Winkel des Zahnrades [°]
3	Kraftmessdose	2	Walzkraft am Führungsholm [N]

Ein A/D-Wandler wandelt die analogen Signale der Sensoren in digitale Signale um, um diese für die computerunterstützte Weiterverarbeitung durch die Programmierung (6.2.2.) nutzbar zu machen. Für die leichtere Zugänglichkeit und Visualisierung für den Maschinenbediener wird ein Tablet verwendet.

### 6.2.2. Programmierung

Die Programmierung ähnelt jener von Konzept 1 (6.1.), jedoch musste aufgrund der Veränderung in der Sensorik auf einige Funktionalitäten aus dem ersten Konzept verzichtet werden. Für die Auswertung der Messdaten und zu deren Visualisierung wurde ein Python-Skript verwendet. Dabei greift das Skript auf

selbstgeschriebene Module zu, welche diese Funktionen enthalten und dann ausführen. Abb. 50 zeigt ein Flussdiagramm der verschiedenen Module, die im Zuge des ausführenden Skripts verwendet werden. Der Quellcode kann Anhang B entnommen werden.



**Abb. 50:** Flussdiagramm der Module (Konzept 2)

Ebene 0 beschreibt jene Gruppe, die die Ausführung von Befehlen initialisieren („skript“). Ebene 1 beschreibt jene Gruppe von Modulen, die für Datensammlung und -filtrierung zuständig sind. Ebene 2 beschreibt jene Gruppe von Modulen, die für die Auswertung und Visualisierung der Daten, welche durch Module der Ebene 1 bereitgestellt werden, zuständig sind.

#### **6.2.2.1. Modul „neues\_projekt“**

Das Modul „neues\_projekt“ generiert, wie in Abschnitt 6.1.2.1, einen neuen Ordner auf einem vordefinierten Pfad mit einem vom Anwender frei wählbaren Projektnamen. Die Benennung des Projektordners erfolgt ebenfalls im standardisierten Format „Jahr-Monat-Tag [Stunde-Minute-Sekunde] – Projektnamen“ um eine mehrfache Verwendung von Projektordnernamen zu verhindern und so auch Datenverlust vorzubeugen. Zur Generierung des Projektordnernamens wird auf die lokale Uhr des Rechners zugegriffen. Im Projektordner wird ein Unterordner „csv-data“ generiert, welcher nach Wahl des Anwenders alle csv-Dateien mit den Messdaten der Sensoren und/oder eine Zusammenfassung aller Messdaten der Sensoren enthält.

### 6.2.2.2. Modul „sensoredata“

Das Modul „sensoredata“ liest die Messdaten aller Sensoren ein, welche in einem zuvor definierten Verzeichnis zu finden sind. Die Messdaten der Sensoren sind in einer csv-Datei gespeichert, die eingelesen und intern in Python als Liste gespeichert werden. Dieser Datensatz wird im Code allgemein als „all\_data“ bezeichnet und ist eine „List of Lists“, eine Liste, die Listen mit den Messdaten zu jedem Messzeitpunkt enthält.

Exemplarisch wird hier ein Datensatz mit zwei Messzeitpunkten ( $t_1, t_2$ ) und den Messdaten zum jeweiligen Messzeitpunkt ( $s_1$ - $s_{16}$ ) angeführt (Tabelle 5).

`all_data = [[t1, s1, s2, s3, s4], [t2, s1, s2, s3, s4]]`

**Tabelle 5:** Sensorenbezeichnung im Datensatz „all\_data“ (Konzept 2)

Position im Datensatz	Sensor	Abkürzung	Messwert
1	Linearpotentiometer	s <sub>1</sub>	Auffederung zwischen den Walzen [mm]
2	Kraftmessdose 1	s <sub>2</sub>	Walzkraft linker Führungsholm [N]
3	Kraftmessdose 2	s <sub>3</sub>	Walzkraft rechter Führungsholm [N]
4	Winkelsensor	s <sub>4</sub>	Winkel des Zahnrades [°]

Wie bereits in 6.2.2.1. beschrieben, kann dieser Datensatz in diesem Format als Zusammenfassung in eine csv-Datei in den Projektordner exportiert werden.

### 6.2.2.3. Modul „zeitschritte“

Das Modul „zeitschritte“ filtert aus dem von Modul „sensoredata“ bereitgestellten Datensatz „all\_data“ alle Zeitpunkte, zu denen eine Messung durchgeführt wurde und liefert eine Liste, die alle Messzeitpunkte enthält. Zusätzlich liefert das Modul jenen Zeitpunkt, an dem die maximale Durchbiegung der Arbeitswalze im gesamten Messungszeitraum vorliegt.

### 6.2.2.4. Modul „berechnung“

Das Modul „berechnung“ führt, wie in 6.1, eine Vorberechnung nach Gl. 6.3 aus, um die maximal auftretende Durchbiegung der Arbeitswalze abschätzen zu können. Zusätzlich werden ausgewählte Größen des Walzprozesses wie die gedrückte Länge  $l_d$  (nach Gl. 3.9), der Greifwinkel  $\alpha$  (nach Gl. 3.14), die maximale Dickenabnahme des Walzgutes  $\Delta h_{\max}$  (nach Gl. 3.15), sowie das Gerüstmodul C (nach Gl. 3.16) berechnet.

### 6.2.2.5. Modul „diagramme“

Das Modul „diagramme“ liefert auf Basis der Messdaten und deren Auswertung verschiedene Diagramme. Es werden Diagramme auf Basis der unverarbeiteten Messdaten, wie z.B. der Walzenkräfte, der Auffederung zwischen den beiden Arbeitswalzen und des Zahnradwinkels zur Walzspaltzustellung ausgegeben. Durch die Auswertung der Messdaten kann die Gerüstkennlinie des Walzwerkes visualisiert werden.

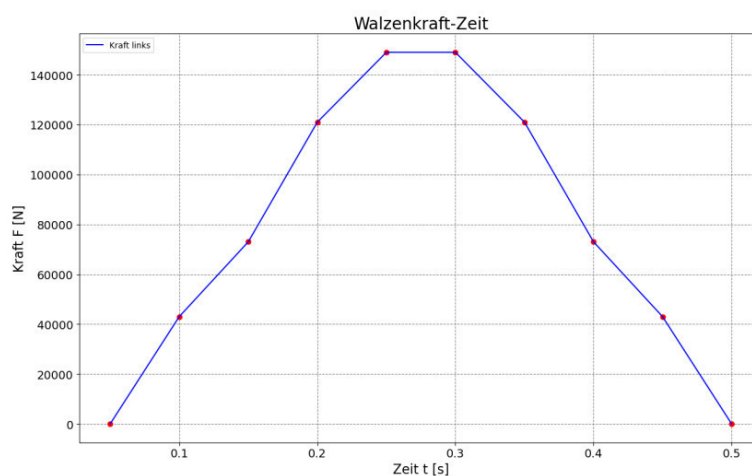
### 6.2.2.6. Modul „walzspaltzustellung“

Das Modul „walzspaltzustellung“ ermittelt aus dem Datensatz „all\_data“ die Walzspaltöffnung  $s_0$  und die Auslaufdicke des Walzgutes bzw. die Walzspaltöffnung mit Auffederung  $h_1$  und ermittelt daraus die notwendige Zustellung. Die notwendige Zustellung wird durch die Übersetzung zwischen dem Zahnrad zur Walzspaltzustellung und dem Handrad des Walzwerkes umgerechnet und in einen Zustellwinkel überführt, welcher durch das Handrad nachjustiert werden kann.

## 6.2.3. Auswertung und Ergebnisse

Für die Auswertung wurden repräsentative csv-Dateien mit Messdaten angelegt, welche Messwerte der Sensoren darstellen. Diese wurden mit realen Grenzwerten, basierend auf Maschinen- und Sensorkennwerten, generiert, um real auftretende Messwerte bestmöglich abzubilden.

In Abb. 51 – 55 sind die Diagramme ausgewählter Messwerte und Kenngrößen zu sehen.



**Abb. 51:** Walzenkraft-Zeit-Diagramm der linken Kraftmessdose

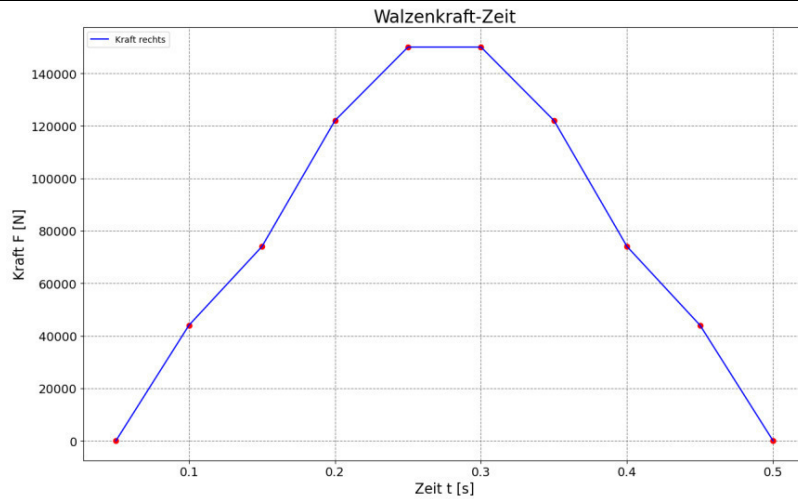


Abb. 52: Walzenkraft-Zeit-Diagramm der rechten Kraftmessdose

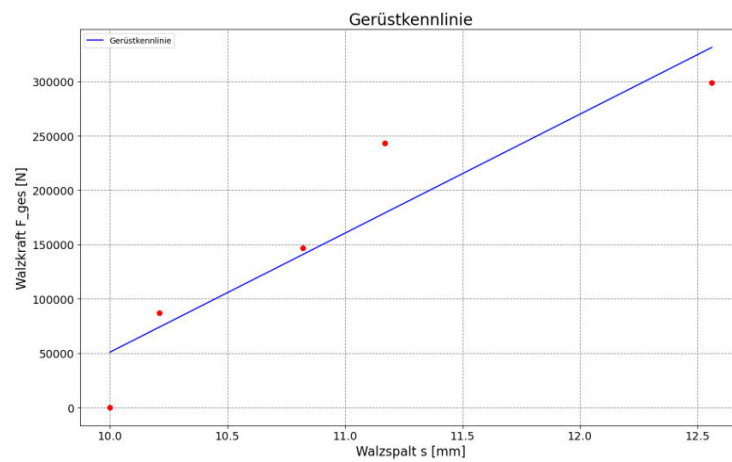


Abb. 53: Gerüstkennlinie des Walzwerkes

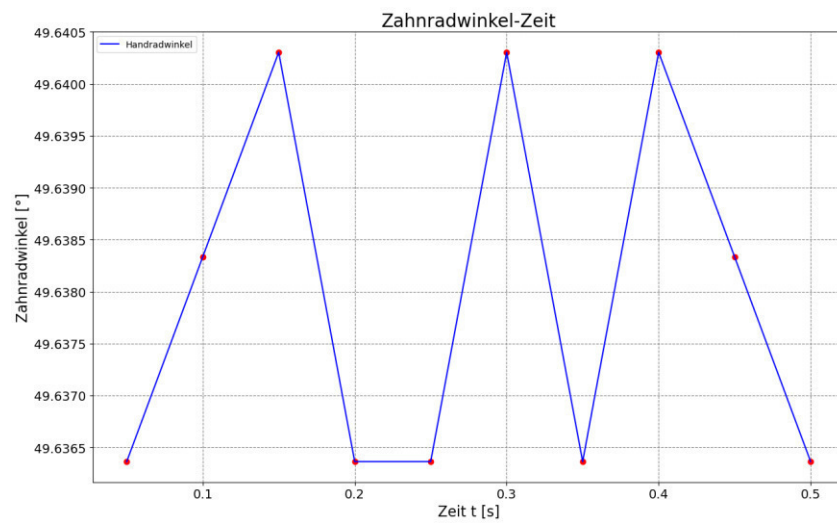
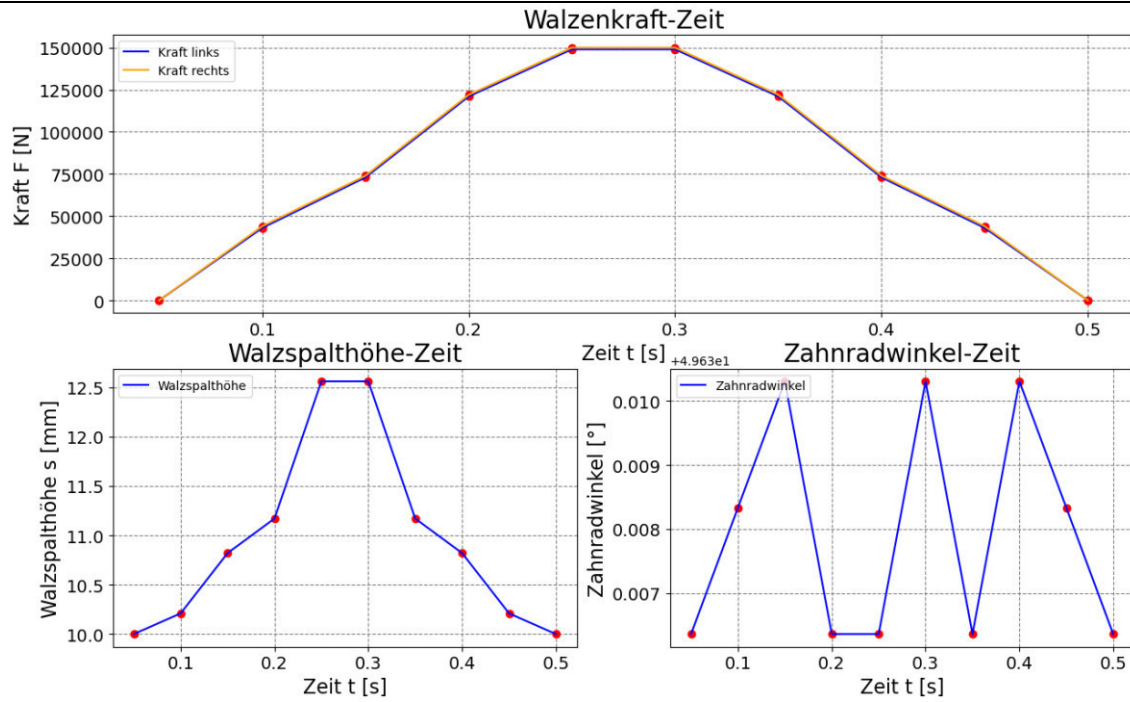


Abb. 54: Zahnradwinkel-Zeit-Diagramm



**Abb. 55:** Zusammenstellung von Kraft-Zeit-, Walzspalthöhe-Zeit- und Zahnradwinkel-Zeit-Diagramm

## 7. Implementierung

Im finalen Schritt, der Implementierung, wurde die Programmierung samt Sensoren dem in erläuterten 6.2. erarbeiteten Konzept nach am Walzwerk angebunden. Dafür wurde der Python-Code aus 6.2. (siehe Anhang B) geringfügig modifiziert, um ein fehlerfreies Laufverhalten im Betrieb zu erzielen (siehe Anhang C).

Aus Tab. 6 können die gewählten Sensoren (Datenblätter: siehe Anhang D) und Hardwarekomponenten (Datenblätter: siehe Anhang D) entnommen werden:

**Tabelle 6:** Gewählte Sensoren

Sensor	Bezeichnung	Anzahl	Messwert
Linearpotentiometer	Megatron RC13-75	1	Auffederung zwischen den Walzen [mm]
Winkelsensor	ASM posihall PH36-V01-31T-I1-CW-M12A5	1	Winkel des Zahnrades [°]
Kraftmessdose	-	2	Walzkraft am Führungsholm [N]

**Tabelle 7:** Gewählte Hardware

Hardware	Bezeichnung	Anzahl
mV-Transmitter	PR Electronics mV-Transmitter 2261	2
Analogausgang	Wago 4-Kanal-Analogeingang 750-453	1

Der mV-Transmitter dient zur Erfassung der sehr kleinen Spannungen der Kraftmessdosen. Der Analogausgang dient zur Erfassung der Messsignale der Sensoren und liefert diese an den Wago Controller, welcher zum Zeitpunkt der Implementierung bereits vorhanden war.

### 7.1. Linearpotentiometer

Das Linearpotentiometer Megatron RC-13-75 wurde auf dem Walzenlagerdeckel angebracht um die Walzspaltgröße und die Auffederung zwischen den Arbeitswalzen messen zu können (siehe Abb. 56).



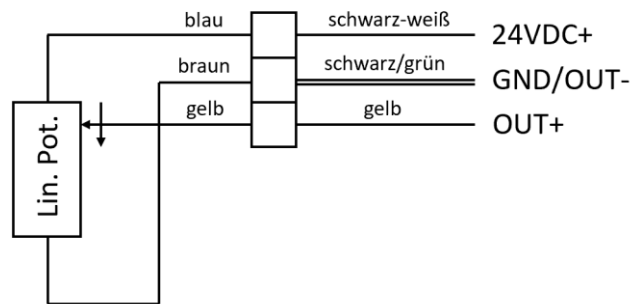
**Abb. 56:** Montage des Linearpotentiometers

Tabelle 8. können die Anschlussparameter des Linearpotentiometer entnommen werden. Durch die Speisung mit 24 VDC entspricht der maximale Signalausgang von 20 mA nicht dem gesamten Messweg von 75 mm des Linearpotentiometers (siehe Datenblatt, Anhang D). Dennoch ist der Messweg beim maximalen Signalausgang von 20 mA größer als der maximale Walzspalt des Walzwerks, was die Messung der Walzspalthöhe möglich macht.

**Tabelle 8:** Anschlussparameter des Linearpotentiometers

Parameter	Parameterwert
Versorgungsspannung	24 VDC
Signalausgang	0 ... 20 mA

Die Leiterbelegung des Linearpotentiometers kann Abb. 57 und dem Datenblatt in Anhang D entnommen werden. OUT+ und OUT- führen zum Wago Analogeingang 750-453, welcher an den Controller angebunden ist.



**Abb. 57:** Leiterbelegung des Linearpotentiometers

## 7.2. Winkelsensor

Der Winkelsensor ASM posihall PH36-V01-31T-I1- CW-M12A5 wurde unterhalb des Handrades angebracht. Er wurde durch ein Reibrad mit dem darunterliegenden Zahnrad verbunden (Abb. 58). Er dient zum Abgleich der Handradstellung bzw. Zahnradstellung mit dem Walzspalt.



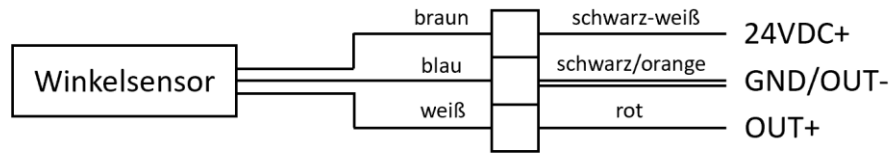
**Abb. 58:** Montage des Winkelsensors

Tabelle 9. können die Anschlussparameter des Winkelsensors entnommen werden.

**Tabelle 9:** Anschlussparameter des Winkelsensors

Parameter	Parameterwert
Versorgungsspannung	24 VDC
Signalausgang	4 ... 20 mA

Die Leiterbelegung des Winkelsensors kann Abb. 59 und dem Datenblatt in Anhang D entnommen werden.  
OUT+ und OUT- führen zum Wago Analogeingang 750-453, welcher an den Controller angebunden ist.



**Abb. 59:** Leiterbelegung des Winkelsensors

### 7.3. Kraftmessdosen

Die beiden vorhandenen Kraftmessdosen wurden ohne weitere Veränderungen beibehalten (siehe Abb. 60).



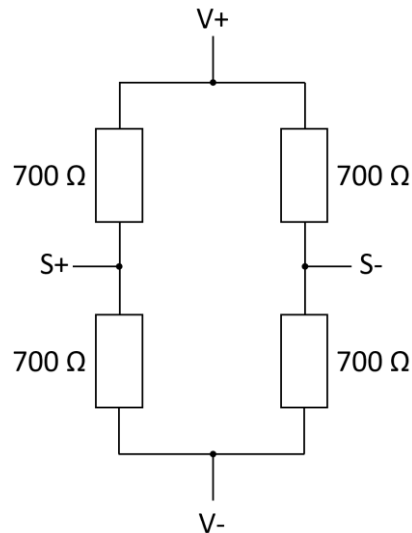
**Abb. 60:** Kraftmessdose (links) und die beiden mV-Transmitter der Kraftmessdosen (rechts)

Tabelle 10. können die Anschlussparameter des Winkelsensors entnommen werden.

**Tab. 10:** Anschlussparameter der Kraftmessdosen 1 und 2

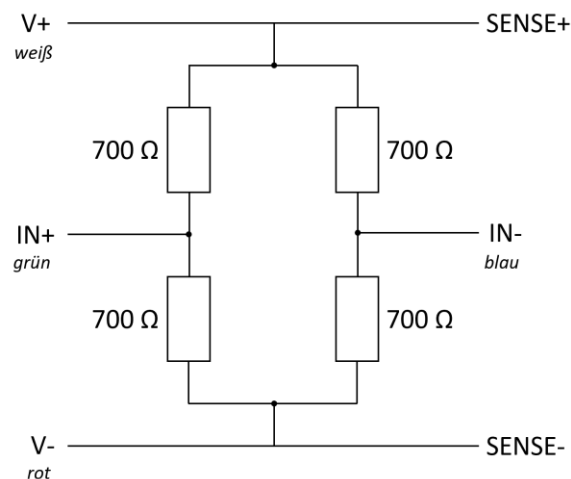
Parameter	Parameterwert
Versorgungsspannung	5 VDC (durch PR Electronics mV-Transmitter 2261)
Signalausgang	0 ... 20 mA

Durch das Ausmessen der Kraftmessdosen konnte ihr Aufbau rekonstruiert werden. Es handelt sich um vier Widerstände zu je  $700\ \Omega$  in Brückenschaltung (siehe Abb. 61). Es wurde, wie in Tabelle 10 zu sehen, eine Speispannung von 5VDC gewählt, welche durch den PR Electronics mV-Transmitter 2261 bereitgestellt wird, da die Kraftmessdosen bereits früher mit 5VDC gespeist wurden. Der Kennwert beträgt  $2\text{mV/V}$ , was bedeutet das pro Volt Speisespannung mit einem Messausschlag von  $2\text{mV}$  zu rechnen ist. Bei einer Speisespannung von 5VDC ist daher mit einem maximalen Messausschlag von  $10\text{mV}$  zu rechnen.

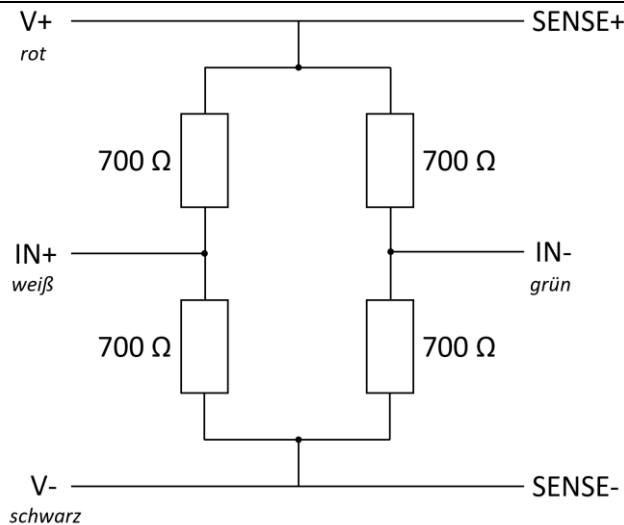


**Abb. 61:** Schematischer Aufbau der DMS-Kraftmessdosen

Beide Kraftmessdosen besitzen denselben Aufbau, jedoch ist auf die Ungleichheit der Leiterfarben zu achten (Abb. 62 & 63). Die Leiter SENSE+ und SENSE- besitzen hier keine Funktion.



**Abb. 62:** Aufbau und Leiterbelegung der DMS-Kraftmessdose 1



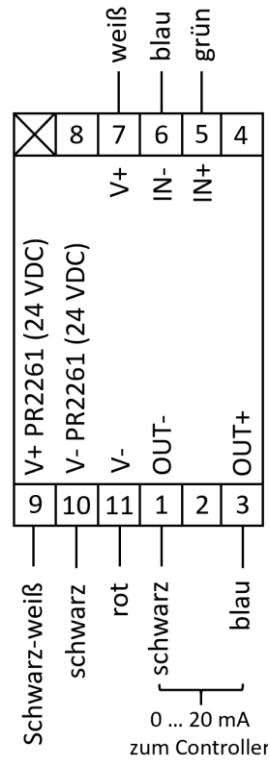
**Abb. 63:** Aufbau und Leiterbelegung der DMS-Kraftmessdose 2

Die Speisung einer Kraftmessdose wird durch jeweils einen PR Electronics mV-Transmitter 2261, auch Wägezellenverstärker genannt, gewährleistet. Die Belegung der Anschlüsse zur Versorgung des mV-Transmitters und der Kraftmessdose, sowie zum Signaleingangs- und -ausgang des mV-Transmitters können Abb. 64 und Abb. 65 entnommen werden.

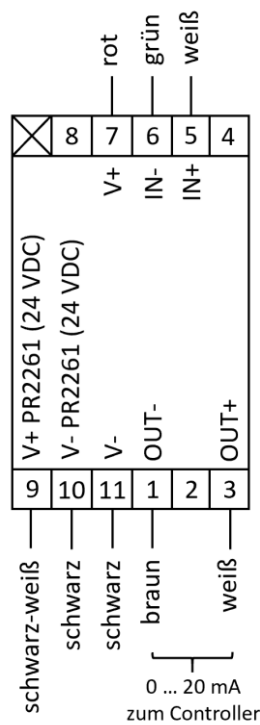
Für Kraftmessdose 1 und 2 gilt die gleiche Leiterbelegung am PR Electronics mV-Transmitter 2261, es bestehen jedoch Unterschiede in der Farbe der Leiter der Kraftmessdosen (siehe Abb. 64 und 65): Anschluss 7 und 11 liefern die Speisespannung von 5 VDC für die Kraftmessdose. Über Anschluss 9 und 10 erfolgt die Speisung des PR Electronics mV-Transmitter 2261 mit 24 VDC und 1 A (Tabelle 11). Anschluss 5 und 6 nehmen das Signal der Kraftmessdose in mV auf, welches vom mV-Transmitter interpretiert und in ein proportionales Signal im Bereich von 0 ... 20 mA liefert. Anschluss 1 und 3 liefern das Ausgangssignal im Bereich von 0 ... 20 mA zum Wago 4-Kanal-Analogeingang 750-453, welcher das Signal an den Wago Controller weitergibt.

**Tabelle 11:** Anschlussparameter der beiden PR Electronics mV-Transmitter 2261

Parameter	Parameterwert
Versorgungsspannung	24 VDC
Versorgungsstrom	1 A



**Abb. 64:** Leiterbelegung des PR Electronics mV-Transmitters 2261 der DMS-Kraftmessdose 1



**Abb. 65:** Leiterbelegung des PR Electronics mV-Transmitters 2261 der DMS-Kraftmessdose 2

Aus Tab. 12 und 13 können die vorgenommenen Einstellungen an den PR Electronics mV-Transmitter 2261 entnommen werden. Eine Erklärung zur Funktion der einzelnen Kanäle und Einstellung können dem Datenblatt des PR Electronics mV-Transmitter 2261 in Anhang D entnommen werden. Der Wert, der vom mV-Transmitter angezeigt entspricht Prozent des Messbereichs. Im unbelasteten Zustand wird 000 und im vollbelasteten Zustand 100 am Digitaldisplay angezeigt.

Durch die Tarierung stellt der mV-Transmitter einen Signaleingang (Parameternummer 1.1) im unbelasteten Zustand fest. Durch ein minimales Rauschen dieses Signals kommt es zum Aufleuchten des Error-LEDs, da das Signal durch das Flackern immer wieder unter das minimale Eingangssignal fällt. Deshalb sollte hier der nächstgrößere Signaleingang gewählt werden.

**Tabelle 12:** Einstellung am PR Electronics mV-Transmitter 2261 für die Kraftmessdose 1

Parameternummer	Parameterbezeichnung	Parameterwert
0.0	-	Belastungsabhängig [% d. Messbereichs]
1.0	In (Eingang)	-
1.1	InL (Eingang 0%)	-3.0 [mV]
1.2	InH (Eingang 100%)	7.0 [mV]
1.3	In0 (Überbereich)	50.0 [%]
3.0	CAL (Kalibrierung)	-
3.1	CLO (Kalibrierung niedrig %)	0.00
3.2	CH1 (Kalibrierung hoch %)	0.00
4.0	OUT (Analogausgang)	-
4.1	OL (Ausgang 0%)	0.00 [mA]
4.2	OH (Ausgang 100%)	20.0 [mA]
4.3	U1 (Strom oder Spannung)	002
4.4	REP (Ansprechzeit)	0.06 [s]
5.0	APP (Anwendungswahl)	-
5.1	TAR (Tarierung)	dtA
5.2	dIN (Digitaleingang Typ)	nPn
5.3	SUP (Umformerversorgung)	5.0 [V]
5.4	PAS (Programzugang)	040
5.5	Frq (Frequenzunterdrückung)	50 [Hz]

**Tabelle 13:** Einstellung am PR Electronics mV-Transmitter 2261 für die Kraftmessdose 2

Parameternummer	Parameterbezeichnung	Parameterwert
0.0	-	Belastungsabhängig [% d. Messbereichs]
1.0	In (Eingang)	-
1.1	InL (Eingang 0%)	-3.2 [mV]
1.2	InH (Eingang 100%)	6.8 [mV]
1.3	InO (Überbereich)	50.0 [%]
3.0	CAL (Kalibrierung)	-
3.1	CLO (Kalibrierung niedrig %)	0.00
3.2	CH1 (Kalibrierung hoch %)	0.00
4.0	OUT (Analogausgang)	-
4.1	OL (Ausgang 0%)	0.00 [mA]
4.2	OH (Ausgang 100%)	20.0 [mA]
4.3	U1 (Strom oder Spannung)	002
4.4	REP (Ansprechzeit)	0.06 [s]
5.0	APP (Anwendungswahl)	-
5.1	TAR (Tarierung)	dtA
5.2	dIN (Digitaleingang Typ)	nPn
5.3	SUP (Umformerversorgung)	5.0 [V]
5.4	PAS (Programmzugang)	040
5.5	Frq (Frequenzunterdrückung)	50 [Hz]

Die Kalibrierung der Messdose wurde mit der „Servotest“, welche sich im Institut für Umformtechnik befindet, vorgenommen. Hierfür wurden die beiden Kraftmessdosen bis zu einer maximalen Prüfkraft von 150kN in 10kN-Schritten belastet und die ausgegebenen Werte dokumentiert. Diese Werte wurden analysiert und im Wago eCockpit zur Kalibrierung verwendet, worauf hier aber nicht weiter eingegangen wird.

## 7.4. Datenerfassung

Die Anbindung der Sensorik an den Rechner wurde mittels geeigneter Hard- und Software der Firma Wago realisiert. Die Analogsignale der Sensoren werden vom Wago 4-Kanal-Analogeingang 750-453 aufgenommen (siehe Abb. 67 & 68) und an den Wago Controller weitergegeben. Der Controller, welcher als A/D-Wandler fungiert, wandelt die analogen Signale in digitale Werte um und gibt sie an das Netzwerk des Instituts weiter. Die Messwerte werden automatisiert als csv-Datei exportiert und mit Python ausgelesen, verarbeitet und im GUI visualisiert. Zusätzlich wurde ein GUI mit dem Wago eCockpit

entworfen über welches die Messung gestartet werden kann und die Messwerte der Sensoren in Echtzeit verfolgt werden können (Abb. 70).

Aus Abbildung 66 kann der schematische Aufbau aller implementierten Komponenten, deren Ein- und Ausgabeparameter und Verknüpfung zueinander, entnommen werden.

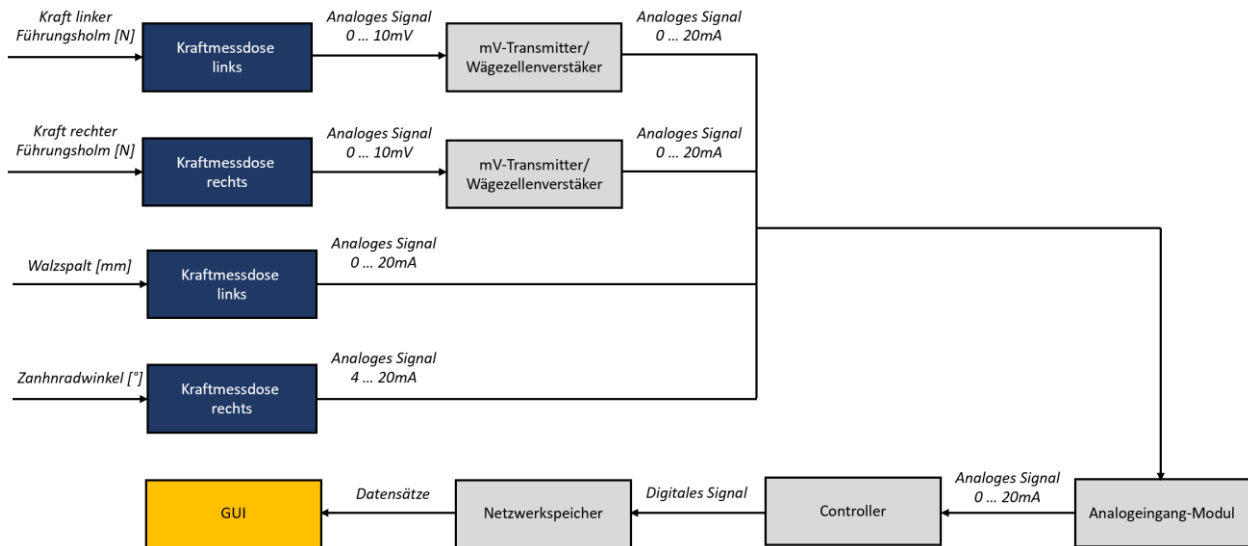


Abb. 66: Schematischer Aufbau des Messsystems

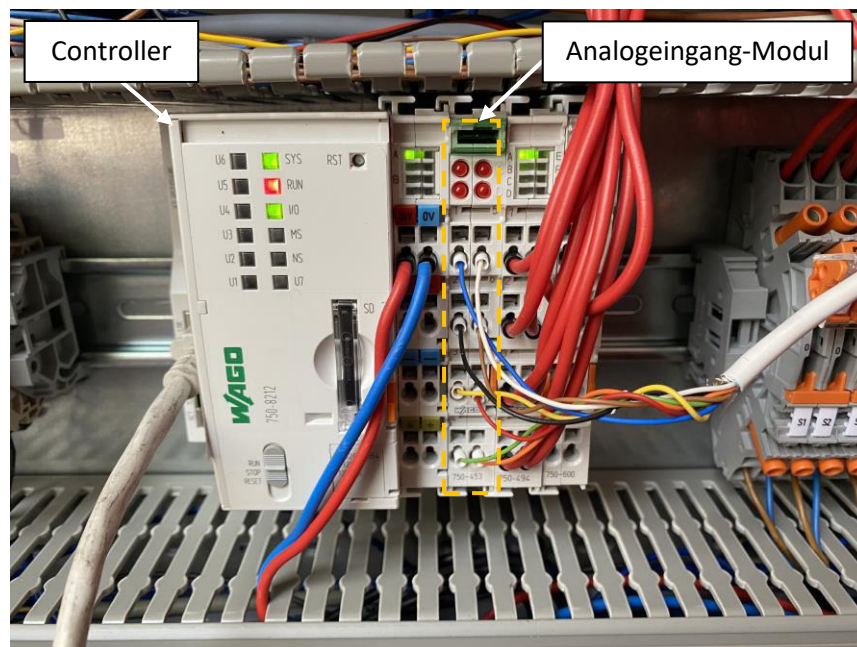
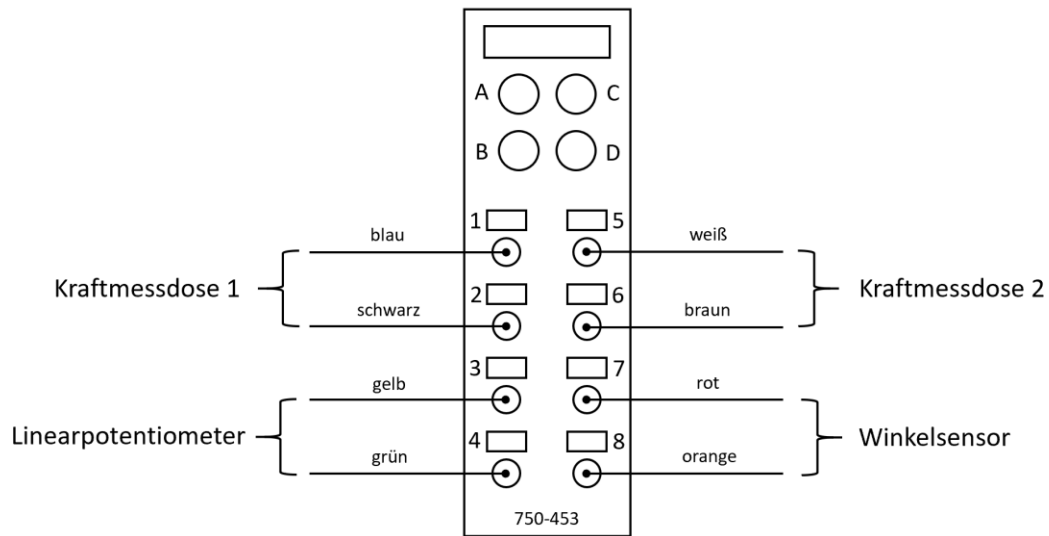
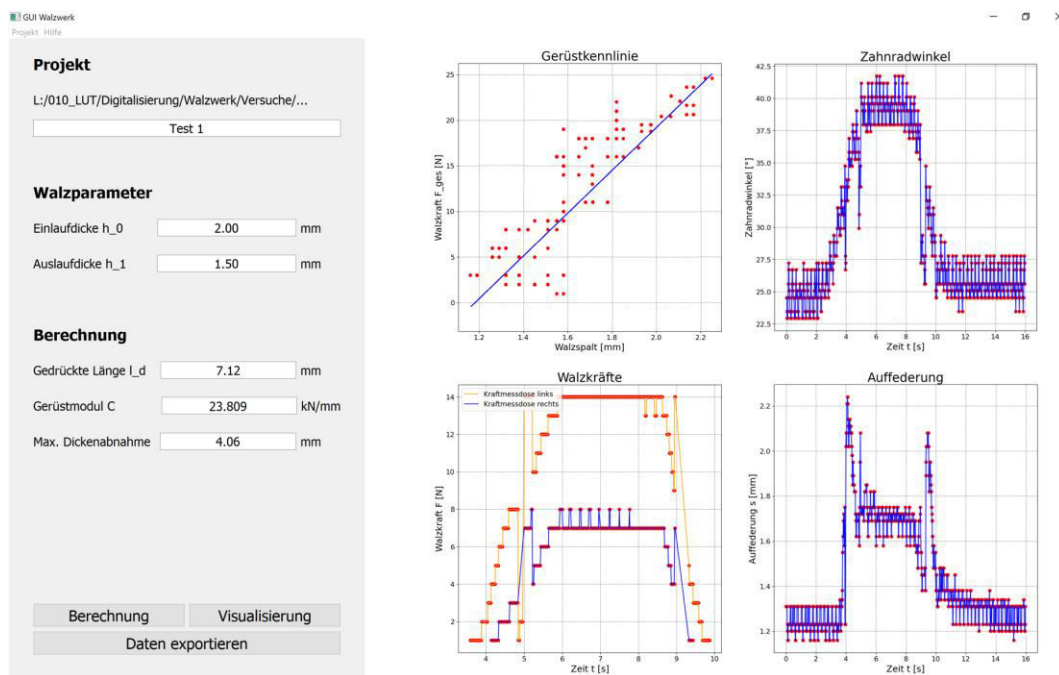


Abb. 67: Wago Controller und Wago 4-Kanal-Analogeingang 750-453

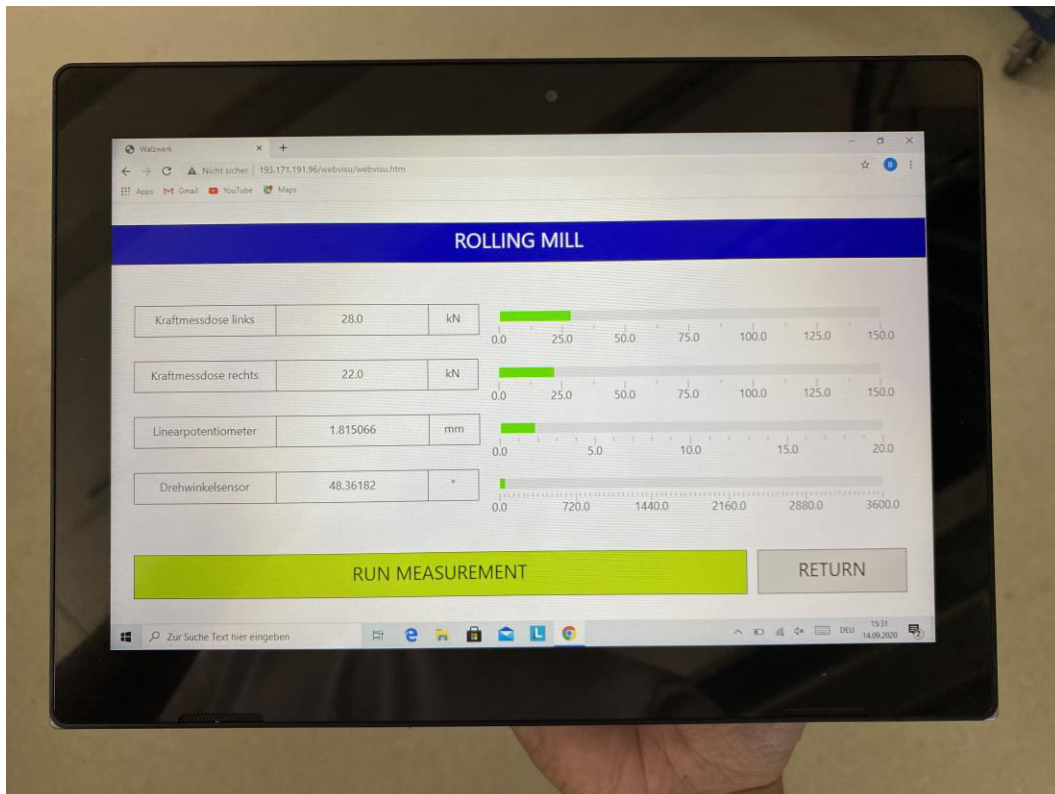


**Abb. 68:** Anschlussbelegung des Wago 4-Kanal-Analogeingang 750-453

Die Visualisierung für den Bediener erfolgt über ein Tablet über ein grafisches „User-Interface“ (GUI). Das GUI ermöglicht es, wie in Abschnitt 6.2. beschrieben, verschiedene Prozesskenngrößen und die Gerüstkennlinie für den Bediener zu visualisieren. Durch die Eingabe bestimmter Prozesskennwerte können ausgewählte Parameter des Walzprozesses im Voraus berechnet werden (Abb. 69).



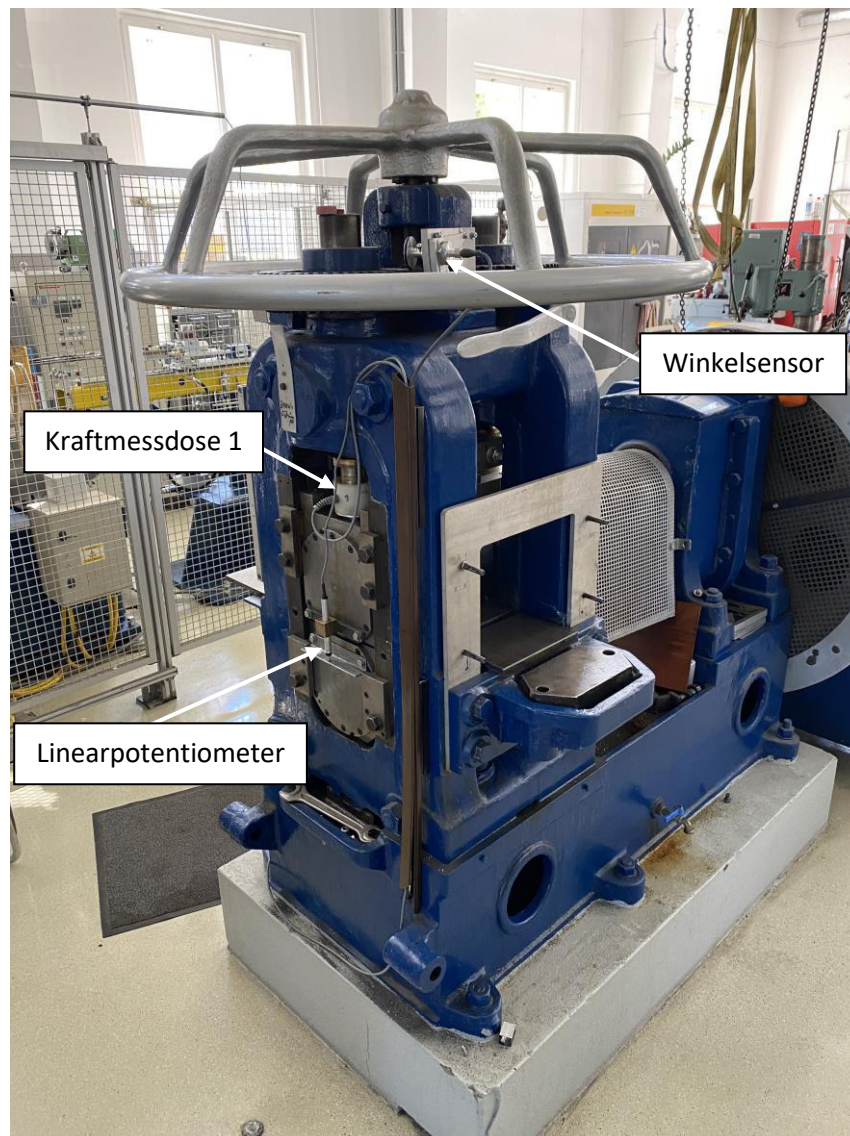
**Abb. 69:** Grafischer „User-Interface“ (entwickelt mit Python)



**Abb. 70:** Grafischer „User-Interface“ (entwickelt mit Wago eCockpit)

## 8. Auswertung und Ergebnisse

Durch die Implementierung eines geeigneten Sensorenkonzeptes in Kombination mit geeigneter Hard- und Software konnte das Walzwerk einem „Retrofitting“ unterzogen werden und ist nun auf dem Stand der Industrie 4.0. Es stellt nun ein CPPS mit einem DS auf der digitalen Seite des CPS dar.



**Abb. 71:** Walzwerk mit implementierter Sensorik

Durch die Auswertung und Visualisierung auf einem Tablet kann dem Bediener Aufschluss über den Prozess, Prozesskenngößen und deren Zusammenhang geboten werden, um im Betrieb eine schnelle Übersicht über diese zu ermöglichen und diese nach Bedarf auf Basis dieser Daten justieren zu können (siehe Abb. 69). Das GUI kann durch einen Klick auf die Verknüpfung am Desktop des Tablets gestartet werden.

## 9. Zusammenfassung und Ausblick

Durch die Modernisierung des Walzwerkes auf den Stand der Industrie 4.0 wurde gezeigt, dass durch die Kooperation geeigneter Sensorik mit „Open-Source“-Programmiersprachen sehr gute Ergebnisse erzielt werden können. Dies kann auf die Verbreitung und ständige Erweiterung bestehender, als auch neuer „Frameworks“ zurückgeführt werden. Aus diesem Grund könnte die Anwendung solcher „Open-Source“-Programmiersprachen auch in Zukunft in kleinen bis mittelständischen Unternehmen, im privaten als auch in akademischen Bereichen an Bedeutung gewinnen.

Ein wichtiger Aspekt einer solchen Modernisierung besteht darin im Vorhinein die zu erfassenden Mess- bzw. Systemgrößen und deren Größenordnung zu bestimmen und mit geeigneter Sensorik abzustimmen, um daraus die ungefähren Kosten ermitteln zu können. Diese Kosten sind dem erwarteten Nutzen gegenüberzustellen, um auf Basis dieser Überlegungen zur Wirtschaftlichkeit einer solchen Modernisierung durchführen zu können. Diese sind bei größeren Walzwerken bzw. Walzstraßen, bei denen beispielsweise die Planheit bzw. Formabweichung über die Walzspaltgeometrie kontrolliert und überwacht wird, einfacher zu rechtfertigen, da hier auch das Qualitätsmanagement (QM) eine große Rolle spielt, um in weiterer Folge Kosten für die Nachbearbeitung zu reduzieren. Bei kleineren Walzwerken, vor allem bei älteren, macht ein solches „Retrofitting“ zur Modernisierung auf den Stand der Industrie 4.0 nur bedingt Sinn. Hier stehen dem erwarteten Nutzen relativ hohe, abhängig von den zu erfassenden Mess- bzw. Systemgrößen, Kosten gegenüber.

Zukünftig werden vor allem neue Walzwerke und Walzstraßen kaum ohne eine Anbindung an eine digitale Repräsentanz auskommen, um wichtige Mess- bzw. Systemgrößen aufzeichnen, auswerten und analysieren zu können, um in weiterer Folge den Prozess flexibler und effektiver gestalten zu können. Diese These ist historisch gesehen belegbar, blickt man auf den relativ hohen Automatisierungsgrad von Walzstraßen in der metallverarbeitenden Industrie, den diese heutzutage aufweisen.

Abschließend bleibt zu sagen, dass wohl in nicht allzu ferner Zukunft die meisten Prozesse auch als „Cyber Physical System“ (CPS) existieren werden, nicht nur um die Prozesse besser verstehen und optimieren zu können, sondern um auch in einer schnelllebigen technischen Welt, die sich im stetigen Wandel befindet, konkurrenzfähig zu bleiben.

Weiterführend kann durch das „Retrofitting“ des Walzwerks der Gerüstmodul experimentell ermittelt werden, um zu beweisen ob dieser sich, wie in der Literatur angegeben, tatsächlich immer linear verhält. Weiters bietet sich im Zuge der Sensorkalibrierung eine Datenanalyse der Messwerte durch eine

Regressionsanalyse an, um die Messungen weiter zu verfeinern und so ihre Aussagekraft und -qualität zu erhöhen. Das GUI kann durch weitere Funktionen, wie eine Stichplan-KI erweitert werden, um im Sinne der Industrie 4.0 die Mensch-Maschine-Interaktion zu erhöhen.

Diese Arbeit hat somit gezeigt, dass auch mit geringem finanziellem Aufwand ältere Maschinen auf den Stand des heutigen, digitalisierten Produktionsumfeld zu bringen sind. Das in dieser Arbeit behandelte Projekt dient daher als Startschuss für weitere Digitalisierungsmaßnahmen am Lehrstuhl für Umformtechnik und trägt langfristig dazu bei, die Digitalisierung in der Umformtechnik weiter zu forcieren.

## Abbildungsverzeichnis

<b>Abb. 1:</b> Abhängigkeit der Fließspannung $k_f$ vom Umformgrad $\varphi$ (a), von der Umformgradgeschwindigkeit $\dot{\varphi}$ (b) und Temperatur T (c) [1] .....	15
<b>Abb. 2:</b> Gliederung der sechs Hauptgruppen der Fertigungsverfahren (nach DIN 8582) [1] .....	17
<b>Abb. 3:</b> Mohrscher Spannungskreis des breitunglosen Walzens [1] .....	17
<b>Abb. 4:</b> Spannungszustand beim breitunglosen Walzen [1].....	18
<b>Abb. 5:</b> Geometrie des Walzspaltes [6].....	20
<b>Abb. 6:</b> Vorgänge im Walzspalt [6].....	21
<b>Abb. 7:</b> Auftretende Kräfte für die Einziehbedingung [5] .....	22
<b>Abb. 8:</b> Anstellendiagramm [6] .....	23
<b>Abb. 9:</b> Verschiedene Arten von Walzgerüsten [6].....	25
<b>Abb. 10:</b> Methoden zur Vermeidung von Planheitsfehlern [23].....	26
<b>Abb. 11:</b> Linearitätskurve [15].....	27
<b>Abb. 12:</b> Messdatenerfassung [17] .....	28
<b>Abb. 13:</b> Wirbelstromsensor [12].....	29
<b>Abb. 14:</b> Systematischer Aufbau eines potentiometrischen Wegaufnehmers [26] .....	30
<b>Abb. 15:</b> Prinzipien der Kraft- und Drehmomentmessung [10] .....	30
<b>Abb. 16:</b> Schema eines DMS-basierenden Kraftaufnehmers [20] .....	31
<b>Abb. 17:</b> Schema eines piezoelektrischen Kraftaufnehmers [20] .....	32
<b>Abb. 18:</b> Schema eines induktiven Kraftaufnehmers [25] .....	32
<b>Abb. 19:</b> Prinzip eines A/D-Wandlers.....	34
<b>Abb. 20:</b> Umwandlung einer Messgröße in ein digitales Signal [10] .....	34
<b>Abb. 21:</b> Kennlinie eines 3-bit-A/D-Wandlers [16].....	35
<b>Abb. 22:</b> Schema eines „Cyber Physical Systems“ (CPS) [40].....	36
<b>Abb. 23:</b> Vergleich des Datenflusses zwischen DM, DS und DT [29] .....	37
<b>Abb. 24:</b> Duowalzwerk am Lehrstuhl für Umformtechnik .....	38
<b>Abb. 25:</b> Kraftmessdose 2 des Walzwerks .....	39
<b>Abb. 26:</b> TIOBE Index im September 2020 [45].....	40
<b>Abb. 27:</b> Vereinfachung der Walze als Biegeträger .....	41
<b>Abb. 28:</b> Genauigkeit eines Sensors [22].....	42
<b>Abb. 29:</b> Schematische Anordnung der Wirbelstromsensoren .....	43
<b>Abb. 30:</b> Walzwerk mit Sensoren (Konzept 1) .....	45
<b>Abb. 31:</b> Flussdiagramm der Module (Konzept 1) .....	46
<b>Abb. 32:</b> Sensorkoordinaten .....	47
<b>Abb. 33:</b> Schematische Sensorpositionierung in der Draufsicht.....	47
<b>Abb. 34:</b> Walzenkraft-Zeit-Diagramm der linken Kraftmessdose .....	52
<b>Abb. 35:</b> Walzenkraft-Zeit-Diagramm der rechten Kraftmessdose .....	52
<b>Abb. 36:</b> Gerüstkenlinie des Walzwerkes.....	53
<b>Abb. 37:</b> Walzendrehmoment-Zeit-Diagramm .....	53
<b>Abb. 38:</b> Walzendrehzahl-Zeit-Diagramm.....	53
<b>Abb. 39:</b> Handradwinkel-Zeit-Diagramm .....	54

---

<b>Abb. 40:</b> Pumpendruck-Zeit-Diagramm .....	54
<b>Abb. 41:</b> Zusammenstellung von Kraft-Zeit-, Drehmoment-Zeit- und Drehzahl-Zeit-Diagramm .....	54
<b>Abb. 42:</b> Walzenradius-Zeit-Diagramm .....	55
<b>Abb. 43:</b> Visualisierung der Wirbelstromsensorebenen .....	55
<b>Abb. 44:</b> Walzspaltgeometrie.....	56
<b>Abb. 45:</b> 3-D-Biegelinie (blau) und 2-D-Biegelinie (orange).....	56
<b>Abb. 46:</b> Visualisierung der Durchbiegung der unteren Walze mit Verstärkungsfaktor .....	56
<b>Abb. 47:</b> Ausgabe im Log.....	57
<b>Abb. 48:</b> Visualisierung der Durchbiegung der beiden Walzen .....	57
<b>Abb. 49:</b> Walzwerk mit Sensoren (Konzept 2) .....	59
<b>Abb. 50:</b> Flussdiagramm der Module (Konzept 2) .....	60
<b>Abb. 51:</b> Walzenkraft-Zeit-Diagramm der linken Kraftmessdose .....	62
<b>Abb. 52:</b> Walzenkraft-Zeit-Diagramm der rechten Kraftmessdose .....	63
<b>Abb. 53:</b> Gerüstkennlinie des Walzwerkes.....	63
<b>Abb. 54:</b> Zahnradwinkel-Zeit-Diagramm .....	63
<b>Abb. 55:</b> Zusammenstellung von Kraft-Zeit-, Walzspalthöhe-Zeit- und Zahnradwinkel-Zeit-Diagramm ...	64
<b>Abb. 56:</b> Montage des Linearpotentiometers.....	66
<b>Abb. 57:</b> Leiterbelegung des Linearpotentiometers .....	67
<b>Abb. 58:</b> Montage des Winkelsensors.....	67
<b>Abb. 59:</b> Leiterbelegung des Winkelsensors .....	68
<b>Abb. 60:</b> Kraftmessdose (links) und die beiden mV-Transmitter der Kraftmessdosen (rechts) .....	68
<b>Abb. 61:</b> Schematischer Aufbau der DMS-Kraftmessdosen.....	69
<b>Abb. 62:</b> Aufbau und Leiterbelegung der DMS-Kraftmessdose 1 .....	69
<b>Abb. 63:</b> Aufbau und Leiterbelegung der DMS-Kraftmessdose 2 .....	70
<b>Abb. 64:</b> Leiterbelegung des PR Electronics mV-Transmitters 2261 der DMS-Kraftmessdose 1.....	71
<b>Abb. 65:</b> Leiterbelegung des PR Electronics mV-Transmitters 2261 der DMS-Kraftmessdose 2.....	71
<b>Abb. 66:</b> Schematischer Aufbau des Messsystems.....	74
<b>Abb. 67:</b> Wago Controller und Wago 4-Kanal-Analogeingang 750-453.....	74
<b>Abb. 68:</b> Anschlussbelegung des Wago 4-Kanal-Analogeingang 750-453 .....	75
<b>Abb. 69:</b> Grafischer „User-Interface“ (entwickelt mit Python) .....	75
<b>Abb. 70:</b> Grafischer „User-Interface“ (entwickelt mit Wago eCockpit) .....	76
<b>Abb. 71:</b> Walzwerk mit implementierter Sensorik.....	77

## Tabellenverzeichnis

<b>Tabelle 1:</b> Kennwerte des Walzwerkes .....	39
<b>Tabelle 2:</b> Sensortypen und Anzahl (Konzept 1) .....	44
<b>Tabelle 3:</b> Sensorenbezeichnung im Datensatz "all_data" (Konzept 1).....	48
<b>Tabelle 4:</b> Sensortypen und Anzahl (Konzept 2) .....	59
<b>Tabelle 5:</b> Sensorenbezeichnung im Datensatz „all_data“ (Konzept 2).....	61
<b>Tabelle 6:</b> Gewählte Sensoren .....	65
<b>Tabelle 7:</b> Gewählte Hardware .....	65
<b>Tabelle 8:</b> Anschlussparameter des Linearpotentiometers .....	66
<b>Tabelle 9:</b> Anschlussparameter des Winkelsensors .....	67
<b>Tab. 10:</b> Anschlussparameter der Kraftmessdosen 1 und 2 .....	68
<b>Tabelle 11:</b> Anschlussparameter der beiden PR Electronics mV-Transmitter 2261 .....	70
<b>Tabelle 12:</b> Einstellung am PR Electronics mV-Transmitter 2261 für die Kraftmessdose 1.....	72
<b>Tabelle 13:</b> Einstellung am PR Electronics mV-Transmitter 2261 für die Kraftmessdose 2.....	73

## Literaturverzeichnis

- [1] Doege, E., Behrens, B.A.: Handbuch Umformtechnik. Grundlagen, Technologien, Maschinen. 2. Aufl., Springer Verlag, Berlin/Heidelberg, 2010
- [2] Dictionary of Production Engineering/Wörterbuch der Fertigungstechnik/Dictionnaire des Techniques de Production Mechanique Vol IV. 1. Auflage, Springer Verlag, Berlin Heidelberg, 2011
- [3] Fritz A. H.: Fertigungstechnik. 12. Aufl., Springer Verlag, Berlin/Heidelberg, 2018
- [4] Profos P., Pfeifer T.: Handbuch der industriellen Messtechnik. 6. Aufl., R. Oldenbourg Verlag, München/Wien, 1994
- [5] Palkowski, H. (07.12.2017): Praktikum Metallurgie Master Wintersemester 2017/18. Versuch U1: Warmwalzen. Abgerufen 19.06.2020, von [http://www2.imet.tu-clausthal.de/mp/main/lehre/praktika/tuc\\_imet\\_praktikum\\_warmwalzen.pdf](http://www2.imet.tu-clausthal.de/mp/main/lehre/praktika/tuc_imet_praktikum_warmwalzen.pdf)
- [6] Schwenzfeier, W., Herzog, A., Hohenwarter, J.: Walzwerktechnik. Ein Leitfaden für Studium und Praxis. 1. Aufl., Springer Verlag, Wien, 1979
- [7] Bauer, H.G., Schadt, W.: Walzen von Flachprodukten. 1. Aufl., Springer Verlag, Berlin/Heidelberg, 2017
- [8] Buchmayr, B.: Werkstoff- und Produktionstechnik mit Mathcad. Modellierung und Simulation in Anwendungsbeispielen. 1. Aufl., Springer Verlag, Berlin/Heidelberg, 2002
- [9] Hoffman, H., Reimund, N., Spur, G.: Handbuch Umformen. Edition: Handbuch der Fertigungstechnik. 2.Aufl., Carl Hanser Verlag, München, 2012
- [10] Heinrich, B., Linke, P., Glöckler, M.: Grundlagen Automatisierung. Sensorik, Regelung, Steuerung. 2. Aufl., Springer Vieweg Verlag, Wiesbaden, 2017
- [11] Tieste K. D., Romberg O.: Keine Panik vor Regelungstechnik!. Erfolg und Spaß im Mystery-Fach des Ingenierstudiums. 3. Aufl., Springer Vieweg Verlag, Wiesbaden, 2015
- [12] eddylab GmbH: Wirbelstromsensoren. In: <https://www.wirbelstromsensor.de/> (2020), URL: <https://www.wirbelstromsensor.de/> (zuletzt abgerufen am 19.06.2020)
- [13] Micro-Epsilon Messtechnik GmbH & Co. KG: Wirbelstrom. In: <https://www.micro-epsilon.de/> (2020), URL: <https://www.micro-epsilon.de/service/glossar/Wirbelstrom.html> (zuletzt abgerufen am 19.06.2020)

- [14] Micro-Epsilon Messtechnik GmbH & Co. KG: Wirbelstrom. In: <https://www.micro-epsilon.de/> (2020), URL: <https://www.micro-epsilon.de/service/glossar/Linearitaet.html> (zuletzt abgerufen am 19.06.2020)
- [15] Keyence Deutschland GmbH: Wichtige Begriffe zur Auswahl von Messsystemen. In: <https://www.keyence.de/> (2020), URL: [https://www.keyence.de/ss/products/measure/measurement\\_library/basic/term/](https://www.keyence.de/ss/products/measure/measurement_library/basic/term/) (zuletzt abgerufen am 19.06.2020)
- [16] Hoffmann J.: Messen nichtelektrischer Größen. Grundlagen der Praxis. 1. Aufl., Springer Verlag, Berlin/Heidelberg, 1996
- [17] National Instruments: Data Acquisition (DAQ). In: <https://www.ni.com/de-at.html> (2020), URL: <https://www.ni.com/en-us/shop/data-acquisition.html> (zuletzt abgerufen am 19.06.2020)
- [18] Heuer H., Schulze M., Klein M. (2012): Abbildende Wirbelstromsensoren zur hochauflösenden berührungslosen Abbildung von elektrischen Eigenschaften schlecht leitender Objekte. Fraunhofer Institut für zerstörungsfreie Prüfverfahren FhG IZFP Dresden
- [19] Kleckers T.: Die Qual der Wahl: Piezoelektrische oder DMS-basierte Kraftaufnehmer?. In: <https://www.hbm.com>, URL: <https://www.hbm.com/de/3719/piezoelektrische-oder-dms-basierte-kraftaufnehmer/> [https://www.hbm.com/fileadmin/mediapool/files/technical-articles-technotes-white-papers/Piezoelektrische\\_oder\\_DMS-basierte\\_Kraftaufnehmer.pdf](https://www.hbm.com/fileadmin/mediapool/files/technical-articles-technotes-white-papers/Piezoelektrische_oder_DMS-basierte_Kraftaufnehmer.pdf), (zuletzt abgerufen am 20.06.2020)
- [20] [https://wiki.polymerservice-merseburg.de/index.php/Elektro-Mechanischer\\_Kraftaufnehmer](https://wiki.polymerservice-merseburg.de/index.php/Elektro-Mechanischer_Kraftaufnehmer), Elektro-Mechanischer Kraftaufnehmer (Kraftmessdose) (zuletzt abgerufen am 20.06.2020)
- [21] Andreeva E. (2005): Fertigung und Erprobung eines Mikro-Wirbelstromsensors zur Abstandsmessung. Fakultät Maschinenbau, Universität Hannover
- [22] Balluff GmbH: Auflösung, Linearitätsabweichung, Genauigkeit. In: <https://www.balluff.com> (2020), URL: <https://www.balluff.com/local/de/service/basics-of-automation/fundamentals-of-automation/resolution-non-linearity-accuracy/> (zuletzt abgerufen am 06.07.2020)
- [23] Lange K., Liewald M.: Umformtechnik Handbuch für Industrie und Wissenschaft. Band 2: Massivumformung. 2. Aufl., Springer Verlag, Berlin, 1988
- [24] Von Seggern F.: Was ist ein Kraftsensor. In: <https://blog.trafag.de> (23.11.2018), URL: <https://blog.trafag.de/torque/was-ist-ein-kraftsensor#induktive> (zuletzt abgerufen am 13.07.2020)

- 
- [25] [https://homepages.thm.de/~hg7394/sns/Kraft1/Induktive\\_Kraftaufnehmer.htm](https://homepages.thm.de/~hg7394/sns/Kraft1/Induktive_Kraftaufnehmer.htm), Induktive Kraftaufnehmer (zuletzt abgerufen am 13.07.2020)
- [26] Tränkler H. R., Reindl L. M.: Sensortechnik. Handbuch für Praxis und Wissenschaft. 2. Auflage, Springer Vieweg Verlag, Berlin/Heidelberg, 2014
- [27] Wagner M. (2017): Strukturelle und Methodische Untersuchung von Kraftaufnehmer-Systemen. Fakultät Architektur, Bauingenieurwesen und Umweltwissenschaften, Technische Universität Braunschweig
- [28] Wenn es rau zugeht. Der Konstrukteur 6/2018, In: <https://www.asm-sensor.com>, URL: [https://www.asm-sensor.com/files/asmTheme/pdf/fachartikel\\_konstrukteur\\_062018\\_sensortechnik\\_posihall.pdf](https://www.asm-sensor.com/files/asmTheme/pdf/fachartikel_konstrukteur_062018_sensortechnik_posihall.pdf), (zuletzt abgerufen am 13.07.2020)
- [29] Ralph B. J., Stockinger M.: Digitalization and Digital Transformation in Metal Forming: Key Technologies, Challenges and Current Development of Industry 4.0 Application. Proceedings of the XXXIX. Colloquium on Metal Forming. Lehrstuhl für Umformtechnik, Montanuniversität Leoben, 2020
- [30] Luber S., Litzel N (05.12.2017): Was ist ein Cyber-physisches System (CPS)?. In: <https://www.bigdata-insider.de/>, URL: <https://www.bigdata-insider.de/was-ist-ein-cyber-physisches-system-cps-a-668494/> (zuletzt abgerufen am 13.07.2020)
- [31] Bonfig K. W.: Technische Druck- und Kraftmessung. 2. Aufl., Expert Verlag, Renningen/Malmsheim, 1995
- [32] Klocke F.: Fertigungsverfahren 4. Umformen. 6. Aufl., Springer Vieweg Verlag, Berlin, 2017
- [33] Winkler H., Berger U., Mieke C., Schenk M.: Flexibilisierung der Fabrik im Kontext von Industrie 4.0. Anwendungsorientierte Beiträge zum Industriellen Management. 6. Band., Logos Verlag, Berlin 2017
- [34] Bosch G., Bromberg T., Haipeter T., Schmitz J. (2017): Industrie und Arbeit 4.0 : Befunde zu Digitalisierung und Mitbestimmung im Industriesektor auf Grundlage des Projekts „Arbeit 2020“. Fakultät für Gesellschaftswissenschaften, Institut Arbeit und Qualifikation (IAQ), Universität Duisburg-Essen

- [35] Thiede S., Juraschek M., Herrmann C. (2016): Implementing cyber-physical production systems in learning factories. Chair of Sustainable Manufacturing and Life Cycle Engineering, Institute of Machine Tools and Production Technology (IWF), Technische Universität Braunschweig
- [36] Bauer W., Schlund S., Marrenbach D., Ganschar O. (2014): Industrie 4.0 – Volkswirtschaftliches Potenzial für Deutschland.
- [37] Lee E. A., Seshia S. A.: Introduction to Embedded Systems: A Cyber-Physical Systems Approach. 2. Aufl., MIT Press, Cambridge (MA), 2016
- [38] Bory M.: Cyber-Physical Systems: Innovation durch softwareintensive eingebettete Systeme. Springer Verlag, Berlin, 2011
- [39] Geisberger E., Broy M.: agendaCPS - Integrierte Forschungsagenda Cyber-Physical Systems (acatech STUDIE), Springer Verlag, Heidelberg 2012
- [40] Brettel M., Friederichsen N., Keller M., Rosenberg N.: How virtualization, decentralization and network building change the manufacturing landscape: An Industry 4.0 Perspective. International Journal of Science, Engineering and Technology, 8 (2014) 37-88.
- [41] Megatron Elektronik GmbH & Co. KG: Potentiometrischer Wegsensor RC13. In: <https://www.megatron.de/> (2020), URL: [https://www.megatron.de/fileadmin/user\\_upload/Datenblaetter/Wegsensoren/Potentiometrische/DS\\_RC13\\_dt.pdf](https://www.megatron.de/fileadmin/user_upload/Datenblaetter/Wegsensoren/Potentiometrische/DS_RC13_dt.pdf) (zuletzt abgerufen am 09.09.2020)
- [42] ASM Automation Sensorik Messtechnik GmbH: posihall® Magnetische Multiturn-Encode. In: <https://www.asm-sensor.com/de/#> (2020), URL: [https://www.asm-sensor.com/files/asmTheme/pdf/asm\\_posihall\\_ph36\\_de.pdf](https://www.asm-sensor.com/files/asmTheme/pdf/asm_posihall_ph36_de.pdf) (zuletzt abgerufen am 09.09.2020)
- [43] PR Electronics GmbH: mV-Transmitter 2261, In: <https://www.prelectronics.com/de/> (2020), URL: <https://www.prelectronics.com/Umbraco/Surface/PdfGenerator/GeneratePdf?id=19097&langId=14368&culture=de-DE> (zuletzt abgerufen am 09.09.2020)
- [44] Bundesministerium für Bildung und Forschung (BMBF) Referat Zukunft von Arbeit und Wertschöpfung; Industrie 4.0 (2020): Industrie 4.0. Innovation im Zeitalter der Digitalisierung. In: <https://www.bmbf.de/>, URL: [https://www.bmbf.de/upload\\_filestore/pub/Industrie\\_4.0.pdf](https://www.bmbf.de/upload_filestore/pub/Industrie_4.0.pdf) (zuletzt abgerufen am 20.09.2020)

- [45] TIOBE Software BV: TIOBE Index for September 2020. In: <https://www.tiobe.com/> (2020), URL: <https://www.tiobe.com/tiobe-index/> (zuletzt abgerufen am 20.09.2020)

# Anhang

## Anhang A: Python-Code Konzept 1

Dem folgenden Anhang kann der Quellcode des ersten Konzeptes entnommen werden.

### Anhang A1: Quellcode „skript.py“

```
1 import os
2 from module import neues_projekt
3 from module import sensordata
4 from module import berechnung_kreis
5 from module import visualisierung_walze
6 from module import diagramme
7 from module import zeitschritte
8 from module import walzspaltzustellung
9 from module import berechnung
10
11 # -----
12 # Name: Marcel Sorger
13 # Datum der Letzten Änderung: 15.07.2020
14 # Version: PyCharm Community Edition 2019.3.4
15
16 # Beschreibung:
17 # Ablauf des Skripts:
18 # 1.) Neues Projekt erstellen mit Modul "create_new_project"
19 # 2.) Sensordaten mit Modul "sensordata" einlesen --> Output: all_data
20 # 3.) Kreisberechnung mit Modul "berechnung_kreis" --> Output: data_tmr
21 # 4.) Auswahl der Zeitschritte mit Modul "zeitschritte" --> Output: Zeitschritt der max. Durchbiegung oder alle Zeitschritte
22 # 5.) Berechnung ausgewählter Größen
23 # 6.) Auswertung aller Diagramme durch das Modul "diagramme"
24 # 7.) Visualisierung der Walzen durch das Modul "visualisierung_walze"
25 # 8.) Zustellung des Walzspaltes durch das Modul "walzspaltzustellung"
26
27 # -----
28
29 # 1.) neues_projekt
30 projekt = "Walzen 1.0038"
31 neues_projekt.Neues_Projekt(projekt).anlegen()
32 projektname = neues_projekt.Neues_Projekt.get_projektname()
33 #print(projektname)
34
35 # 2.) sensordata
36 all_data = sensordata.CsvReader().read() # all_data = [t1 z1 z2 z3 z4 z5 z6 z7 z8 z9 z10 z11 z12 z13 z14 z15 z16]
37 sensordata.CsvWriter().export_all()
38 sensordata.CsvWriter().export_summary()
39 #print(all_data)
40
41 # 3.) berechnung-keis
42 data_tmr = berechnung_kreis.Berechnung_Kreis(all_data).sensordata_zu_kreis() # data_tmr = [t, mp_x, mp_y, mp_z, r]
43 #print(data_tmr)
44
45 # 4.) zeitschritte
46 t_all = zeitschritte.Zeitinkremente(all_data).get_timesteps()
47 t = zeitschritte.Zeitfilter(data_tmr, all_data).zeitpunkt_max_durchbiegung()
48 #print("Alle Zeitschritte t_all = " + str(t_all))
49 #print("Zeitschritt t zur max. Durchbiegung: " + str(t))
50
51 # 5.) berechnung
52 h_0 = 10 # Einlaufdicke des Walzgutes [mm]
53 h_1 = 8 # Auslaufdicke des Walzgutes [mm]
54
55 berechnung.Berechnung().gedrueckte_lange(h_0, h_1)
56 berechnung.Berechnung().greifwinkel(h_0, h_1)
57 berechnung.Berechnung().maximale_dickenabnahme()
58 berechnung.Berechnung().geruestmodul(all_data)
59
```

```
60 # 6.) diagramme
61 verstaerkung_1 = 1
62
63 diagramme.Walzspalt(t, data_tmr, all_data).walzspaltgeometrie(verstaerkung_1)
64 diagramme.Geruestkennlinie(all_data).geruestkennlinie()
65 diagramme.Diagramme(all_data).diagramm_kraft()
66 diagramme.Diagramme(all_data).diagramm_moment()
67 diagramme.Diagramme(all_data).diagramm_drehzahl()
68 diagramme.Diagramme(all_data).diagramm_handradwinkel()
69 diagramme.Diagramme(all_data).diagramm_pumpendruck()
70 diagramme.Diagramme(all_data).diagramm_all()
71 diagramme.Diagramme(data_tmr).diagramm_walzenradius()
72
73 # 7.) visualisierung_walze
74 verstaerkung_2 = 100
75
76 visualisierung_walze.Untere_Walze(t, data_tmr).biegeline_3d(verstaerkung_2)
77 visualisierung_walze.Untere_Walze(t, data_tmr).plot_surface(verstaerkung_2)
78 visualisierung_walze.Untere_Walze(t, data_tmr).plot_kreisebenen()
79 visualisierung_walze.Beide_Walzen(t, data_tmr, all_data).plot_surface()
80
81 # 8.) walzspaltzustellung
82 alpha = walzspaltzustellung.Zustellung(all_data).zustellung()
83 #print(alpha)
84
```

## Anhang A2: Quellcode „neues\_projekt.py“

```
1 import os
2 from time import strftime, localtime
3
4 # -----
5 # Name: Marcel Sorger
6 # Datum der Letzten Änderung: 25.06.2020
7 # Version: PyCharm Community Edition 2019.3.4
8
9 # Beschreibung:
10 # NewProject().new_folder()
11 # Anlegen eines Projektordner auf einem vordefinierten Pfad mit einem vom Benutzer festgelegten Projektname.
12 # Der Unterordner für die exportieren csv-Daten (aus dem Modul 'sensordata') wird automatisch angelegt.
13
14 # NewProject().new_folder()
15 # Gibt den Projektordnernamen zurück.
16
17 # -----
18
19 class Neues_Projekt():
20     def __init__(self, projekt):
21         self.projekt = projekt
22
23     def anlegen(self):
24         projektname = self.projekt
25         date = strftime("%Y-%m-%d [%H-%M-%S]", localtime()) # Datum + Zeit zum Zeitpunkt des Erstellens
26         global ordnername
27         ordnername = date + " - " + projektname # gesamter Projektordnername
28
29         path = "./test_projects/" + ordnername # Pfad in dem der Projektordner angelegt werden soll
30
31         if not os.path.exists(path):
32             os.makedirs(path) # Erstellen des Projektordners
33             print("Projektordner '" + ordnername + "' wurde angelegt")
34         else:
35             print("Projektordner '" + ordnername + "' existiert bereits")
36
37         os.makedirs(path + "/csv-data") # Unterordner für exportierte csv-Dateien der Sensoren
38
39     def get_projektname():
40         return ordnername
41
```

## Anhang A3: Quellcode „sensorkoordinaten.py“

```

1  import numpy as np
2
3  # -----
4  # Name: Marcel Sorger
5  # Datum der Letzten Änderung: 25.06.2020
6  # Version: PyCharm Community Edition 2019.3.4
7
8  # Beschreibung:
9  # get_sensorkoordinaten():
10     # Liefert die x- und y-Koordinaten der Wirbelstromsensoren.
11
12  # -----
13
14  # Sensoranordnung:
15  # ----- (hinten)
16  #
17  #     3     6     9     y3
18  #     2     5     8     y2
19  #     1     4     7     y1
20  #
21  # x0    x1    x2    x3    x4    (vorne)
22  # Blecheinzugsseite
23
24  def get_sensorkoordinaten():
25     # Grundlegende Abmessungen des Walzgerüsts:
26     D = 203 # Walzendurchmesser [mm] (siehe Unterlagen des Institutes zur Anlage)
27     a = 1   # Abstand zwischen Sensor und Walze (gemäß gewähltem Wirbelstromsensor)
28
29     x0 = 0   # Anfang des Ballen der Walze [mm]
30     x4 = 220 # Länge des Ballen der Walze [mm]
31
32     alpha_deg = 20 # Winkel der Sensoren 1,3,4,6,7,9 [°] (Sensoranordnung: siehe oben, Skizze: siehe Masterarbeit)
33     alpha = alpha_deg*np.pi/180
34
35     # x-Koordinaten der Sensorebenen:
36     x1 = x4/2-30 # Sensorebene 1 - links (= konst., da fix montiert) [mm]
37     x2 = x4/2   # Sensorebene 2 - mitte (= konst., da fix montiert) [mm]
38     x3 = x4/2+30 # Sensorebene 3 - rechts (= konst., da fix montiert) [mm]
39
40     # Koordinaten der Wirbelstromsensoren:
41     y1 = (D/2+a)*np.sin(alpha) # y-Koordinate des vorderen Sensors (= konst., da fix montiert) [mm]
42     y2 = 0 # y-Koordinate des mittleren Sensors (= konst., da fix montiert) [mm]
43     y3 = -(D/2+a)*np.sin(alpha) # y-Koordinate des hinteren Sensors (= konst., da fix montiert) [mm]
44
45     z1 = -(D/2+a)*np.cos(alpha) # z-Koordinate des vorderen Sensors (= konst., da fix montiert) [mm]
46     z2 = -(D/2+a) # z-Koordinate des mittleren Sensors (= konst., da fix montiert) [mm]
47     z3 = -(D/2+a)*np.cos(alpha) # z-Koordinate des hinteren Sensors (= konst., da fix montiert) [mm]
48
49     return [x0, x1, x2, x3, x4, y1, y2, y3, z1, z2, z3, alpha]
50
51     #return [x1, y1, x2, y2, x3, y3, x4, x0]

```

## Anhang A4: Quellcode „sensordata.py“

```

1  import csv
2  import os
3  from module import neues_projekt
4  from shutil import copyfile
5  import numpy as np
6
7  # -----
8  # Name: Marcel Sorger
9  # Datum der Letzten Änderung: 31.05.2020
10 # Version: PyCharm Community Edition 2019.3.4
11
12 # Beschreibung:
13 # CsvReader().read()
14 # Lesen der csv-Dateien der Sensoren und Ausgabe einer Liste im Format [[Zeit1, Sensor1, ..., Sensor 15], [...]]
15
16 # CsvWriter().export_all()
17 # Exportieren aller csv-Dateien der Sensoren in den Projektordner in den Unterordner 'csv-data'
18
19 # CsvWriter().export_summary()
20 # Exportieren einer Sammlung aller csv-Dateien der Sensoren als eine einzelne csv-Datei in den Projektordner
21 # in den Unterordner 'csv-data'
22
23 # -----
24
25 class CsvReader():
26     def __init__(self):
27         pass
28
29     def read(self):
30         n = 1
31         number_files = len(os.listdir("sensordata")) # WICHTIG! Pfad relativ zum ausführenden Skript (script.py)!
32
33         global data_all_sensors
34         data_all_sensors = []
35         global data_all_sensors_transposed
36         data_all_sensors_transposed = []
37
38         # Aufbau der zu Lesenden csv-Dateien: Zeit; Sensor
39         # Aufbau der erzeugten csv-Datei: Zeit; Sensor1; Sensor2; ..., Sensor 15
40         # Aufbau der erzeugten Liste: [[Zeit1, Sensor1, Sensor2, ..., Sensor 15],
41         # (data_all_sensors_transposed) [Zeit2, Sensor1, Sensor2, ..., Sensor 15]]
42
43         # Einlesen der Zeitschritte:
44         with open("sensordata/" + "data_sensor" + str(n) + ".csv", "r", newline='', encoding='utf-8') as file:
45             reader_timesteps = csv.reader(file, delimiter=';', quotechar='|')
46
47             time = []
48             for row in reader_timesteps:
49                 time.append(float(row[0]))
50                 data_all_sensors.append(time)
51
52         # Einlesen der Sensordaten:
53         for n in range(1, number_files + 1):
54             csvfilename = "data_sensor" + str(n) + ".csv" # Name der einzulesenden csv-Dateien
55
56             data_sensor = []
57             with open("sensordata/" + csvfilename, "r", newline='', encoding='utf-8') as file:
58                 reader_data = csv.reader(file, delimiter=';', quotechar='|')
59
60                 for row in reader_data:
61                     data_sensor.append((float(row[1])))
62                 data_all_sensors.append(data_sensor)
63
64         data_all_sensors_transposed = np.transpose(data_all_sensors) # Transponieren auf oben erwähnte Datenstruktur
65
66         return data_all_sensors_transposed
67
68

```

```
69 class CsvWriter():
70     def __init__(self):
71         pass
72
73     def export_all(self):
74         n = 1
75         number_files = len(os.listdir("sensordata"))
76
77         for n in range(1, number_files + 1):
78             csv_filename = "data_sensor" + str(n) + "_export.csv"
79             foldername = neues_projekt.Neues_Projekt.get_projektname()
80
81             source = "sensordata/data_sensor" + str(n) + ".csv"
82             destination = "test_projects/" + foldername + "/csv-data/" + csv_filename
83
84             copyfile(source, destination)
85
86         print("Export aller .csv-Dateien in den Projektordner '" + foldername + "' erfolgreich")
87
88     def export_summary(self):
89         number_files = len(os.listdir("sensordata"))
90         csv_data = CsvReader().read()
91
92         csv_filename = "data_sensors_summary.csv"
93         foldername = neues_projekt.Neues_Projekt.get_projektname()
94
95         with open("test_projects/" + foldername + "/csv-data/" + csv_filename, "w", newline='', encoding='utf-8') as file:
96             writer = csv.writer(file, delimiter=';', quotechar='|')
97
98             header = ["Zeit", "Sensor1", "Sensor2", "Sensor3", "Sensor4", "Sensor5", "Sensor6", "Sensor7", "Sensor8",
99                       "Sensor9", "Sensor10", "Sensor11", "Sensor12", "Sensor13", "Sensor14", "Sensor15", "Sensor16"]
100            writer.writerow(header)
101
102            # Reihen auf Spalten transponieren
103            for line in data_all_sensors_transposed:
104                writer.writerow(line)
105
106        print("Export der Sammlung aller .csv-Dateien in den Projektordner '" + foldername + "' erfolgreich")
```

## Anhang A5: Quellcode „zeitschritte.py“

```

1  import numpy as np
2  from module import sensorkoordinaten
3  import scipy.optimize as opt
4
5  # -----
6  # Name: Marcel Sorger
7  # Datum der Letzten Änderung: 01.07.2020
8  # Version: PyCharm Community Edition 2019.3.4
9
10 # Beschreibung:
11 # Zeitinkremente(all_data).get_timesteps()
12 #   Gibt aus dem Datensatz "all_data", welcher alle Sensordaten enthält, alle Zeitschritte zurück.
13
14 # Zeitfilter(data_tmr, all_data).zeitpunkt_max_durchbiegung():
15 #   Gibt aus dem Datensatz "all_data", welcher alle Sensordaten enthält, und dem Datensatz "data_tmr", welcher alle
16 #   berechneten x-y-z-Koordinaten der Biegelinie (sowie die errechneten Walzenradien) enthält, den Zeitschritt zurück,
17 #   zu dem die max. Durchbiegung der Walze vorherrscht.
18
19 # -----
20
21 class Zeitinkremente():
22     def __init__(self, all_data):
23         self.all_data = all_data
24
25     def get_timesteps(self):          # Erstellen einer Liste, die jeden Zeitschritt (nur) einmal enthält.
26         timesteps = []              # Erstellen einer Leeren Liste für die Zeitschritte
27         for line in self.all_data:  # Auslesen der Zeitschritte aus dem Datensatz
28             if line[0] not in timesteps:
29                 timesteps.append(line[0])
30             else:
31                 pass
32
33         return timesteps
34
35
36 class Zeitfilter():
37     def __init__(self, data_tmr, all_data):
38         self.data_tmr = data_tmr
39         self.all_data = all_data
40
41     def zeitpunkt_max_durchbiegung(self):
42         timesteps = Zeitinkremente(self.data_tmr).get_timesteps()
43         obere_grenze = sensorkoordinaten.get_sensorkoordinaten()[6] # Länge/Ende der Walze (für Funktionsgrenze)
44         untere_grenze = sensorkoordinaten.get_sensorkoordinaten()[7] # Anfang der Walze (für Funktionsgrenze)
45
46         t_max = 0                  # Zeitpunkt der maximalen Durchbiegung
47         delta_z_max = 0           # Maximale Durchbiegung in z
48
49         for t in timesteps:
50             x_m = [] # Liste der Mittelpunkte in x-Richtung
51             z_m = [] # Liste der Mittelpunkte in z-Richtung
52
53             # Dateneingang (tmr): [[t, mp_x, mp_y, mp_z, r]] von berechnung_kreis.sensordata_zu_kreis()
54             for line in self.data_tmr: # Auslesen des Datensatzes und Einfügen in die obigen Listen
55                 if line[0] == t:
56                     x_m.append(line[1])
57                     z_m.append(line[3])
58
59             # Polynom in z-Richtung --> z(x) = ...
60             polynom_coeff_z = np.polyfit(x_m, z_m, 2) # Polynomkoeffizienten durch Polynom-Fitting
61             increments = 100
62             x_mnew = np.linspace(untere_grenze, obere_grenze, increments)
63             z_mnew = np.poly1d(polynom_coeff_z) # Polynom z(x) = ...
64
65             for line in self.all_data:
66                 if line[0] == t:
67                     auffederung = line[10]
68

```

```

69     # Stelle der maximalen Durchbiegung:
70     # x-Koordinate der max. Durchbiegung
71     max_x_uw = opt.fminbound(lambda x: z_mnew(x), untere_grenze, obere_grenze)
72     # x- & z-Koordinate der max. Durchbiegung der unteren Walze
73     max_uw = [max_x_uw, z_mnew(max_x_uw)]
74     # x- & z-Koordinate der max. Durchbiegung der oberen Walze
75     max_ow = [max_x_uw, -z_mnew(max_x_uw) + (auffederung + 2 * polynom_coeff_z[-1])]
76     # Differenz der z-Koordinaten = max. Planheitsabweichung des Walzgutes
77     max_durchbiegung_z = max_ow[1] - max_uw[1]
78
79     #print("unten: " + str(max_uw) + "          oben: " + str(max_ow))
80     #print("Maximales delta_z des Walzspaltes = " + str(max_durchbiegung_z) + " mm")
81
82     if max_durchbiegung_z > delta_z_max:      # Erfassung des neuen z_max und t_max
83         delta_z_max = max_durchbiegung_z    # maximale Durchbiegung in z-Richtung
84         t_max = t                          # Zeitpunkt der maximalen Durchbiegung in z-Richtung
85         #print("OVERWRITE: t_max = " + str(t_max) + " s, z_max = " + str(z_max) + " mm")
86     else:
87         #print("Kein neues Maximum")
88         pass
89
90     print("t_max = " + str(t_max) + " s, delta_z_max = " + str(delta_z_max) + " mm (= " + str(delta_z_max*10**3) +
91           " \u03BCm)")
92
93     return [t_max]
94

```

## Anhang A6: Quellcode „berechnung\_kreis.py“

```

1  from math import sqrt
2  from module import sensorkoordinaten
3  import numpy as np
4
5  # -----
6  # Name: Marcel Sorger
7  # Datum der Letzten Änderung: 01.07.2020
8  # Version: PyCharm Community Edition 2019.3.4
9
10 # Beschreibung:
11 # Berechnung_Kreis(data).finde_kreis(t,x,z1,z2,z3)
12 # Berechnung des Kreismittelpunktes in x-y-z und des Radius r mit den Sensordaten t,x,z1,z2,z3 die durch die
13 # Funktion "sensordata_zu_kreis" übergeben werden.
14 # Ausgeben wird eine Liste im Format [Zeit, Mittelpunkt x, Mittelpunkt y, Mittelpunkt z, Radius] für einen Kreis.
15
16 # Berechnung_Kreis(data).sensordata_zu_kreis()
17 # Verwendet die Funktion 'finde_kreis(t,x,z1,z2,z3)' zur Berechnung und gibt eine Liste mit allen Ergebnisse im
18 # Format [[Zeit, Mittelpunkt x, Mittelpunkt y, Mittelpunkt z, Radius], [...]] zurück.
19
20 # -----
21
22 class Berechnung_Kreis():
23     def __init__(self, all_data):
24         self.all_data = all_data
25
26         x0, x1, x2, x3, x4, y1, y2, y3, z1, z2, z3, alpha = sensorkoordinaten.get_sensorkoordinaten()
27         self.x1 = x1 # Sensorebene 1 - links (= konst., da fix montiert) [mm]
28         self.x2 = x2 # Sensorebene 2 - mitte (= konst., da fix montiert) [mm]
29         self.x3 = x3 # Sensorebene 3 - rechts (= konst., da fix montiert) [mm]
30         self.y1 = y1 # y-Koordinate des vorderen Sensors (= konst., da fix montiert) [mm]
31         self.y2 = y2 # y-Koordinate des mittleren Sensors (= konst., da fix montiert) [mm]
32         self.y3 = y3 # y-Koordinate des hinteren Sensors (= konst., da fix montiert) [mm]
33         self.z1 = z1 # z-Koordinate des vorderen Sensors (= konst., da fix montiert) [mm]
34         self.z2 = z2 # z-Koordinate des mittleren Sensors (= konst., da fix montiert) [mm]
35         self.z3 = z3 # z-Koordinate des hinteren Sensors (= konst., da fix montiert) [mm]
36         self.alpha = alpha # Winkel der Sensoren 1,3,4,6,7,9 [°] (siehe Masterarbeit oder Modul "sensorkoordinaten")
37
38     def finde_kreis(self, t, x, u1, u2, u3):
39         self.t = t # Zeitpunkt der Messung [s]
40         self.x = x # x-Koordinate (Ebene) des Sensors [mm]
41         self.u1 = u1 # Messwert u1 des Sensors (vorne) in der Ebene x [mm]
42         self.u2 = u2 # Messwert u2 des Sensors (mitte) in der Ebene x [mm]
43         self.u3 = u3 # Messwert u3 des Sensors (hinten) in der Ebene x [mm]
44         mittelpunkt_und_radius = []
45
46         # Koordinaten der Sensorenmesspunkte in der Ebene x:
47         # Koordianten Sensormesspunktes des Sensors (vorne):
48         x1 = self.x # x-Koordinate (Sensorebene) des Sensors und des Messpunktes
49         y1 = self.y1-self.u1*np.sin(self.alpha) # y-Koordinate des Sensors und des Messpunktes (= konst.)
50         z1 = self.z1+self.u1*np.cos(self.alpha) # z-Koordinate des Messpunktes
51
52         # Koordianten Sensormesspunktes des Sensors (mitte):
53         x2 = x1 # x-Koordinate (Sensorebene) des Sensors und des Messpunktes
54         y2 = self.y2 # y-Koordinate des Sensors und des Messpunktes (= konst.)
55         z2 = self.z2+self.u2 # z-Koordinate des Messpunktes
56
57         # Koordianten Sensormesspunktes des Sensors (hinten):
58         x3 = x1 # x-Koordinate (Sensorebene) des Sensors und des Messpunktes
59         y3 = self.y3+self.u3*np.sin(self.alpha) # y-Koordinate des Sensors und des Messpunktes (= konst.)
60         z3 = self.z3+self.u3*np.cos(self.alpha) # z-Koordinate des Messpunktes
61
62         # Analytische Lösung zur Berechnung des Mittelpunktes (in x-y-z) und des Radius:
63         # Quelle: https://www.geeksforgeeks.org/equation-of-circle-when-three-points-on-the-circle-are-given/
64         y12 = y1 - y2
65         y13 = y1 - y3
66
67         z12 = z1 - z2
68         z13 = z1 - z3
69
70         z31 = z3 - z1
71         z21 = z2 - z1

```

```

72
73     y31 = y3 - y1
74     y21 = y2 - y1
75
76     # x1^2 - x3^2
77     sy13 = pow(y1, 2) - pow(y3, 2)
78
79     # y1^2 - y3^2
80     sz13 = pow(z1, 2) - pow(z3, 2)
81
82     sx21 = pow(y2, 2) - pow(y1, 2)
83     sy21 = pow(z2, 2) - pow(z1, 2)
84
85     f = (((sy13) * (y12) + (sz13) *
86           (y12) + (sx21) * (y13) +
87           (sy21) * (y13)) / (2 *
88           ((z31) * (y12) - (z21) * (y13))))
89
90     g = (((sy13) * (z12) + (sz13) * (z12) +
91           (sx21) * (z13) + (sy21) * (z13)) /
92           (2 * ((y31) * (z12) - (y21) * (z13))))
93
94     c = (-pow(y1, 2) - pow(z1, 2) -
95           2 * g * y1 - 2 * f * z1)
96
97     # Kreisgleichung: x^2 + y^2 + 2*g*x + 2*f*y + c = 0
98     # Kreismittelpunkt ist (mp_y = -g, mp_z = -f) und Radius r ist r^2 = h^2 + k^2 - c
99     mp_y = -g # Kreismittelpunkt in y
100    mp_z = -f # Kreismittelpunkt in z
101    sqr_of_r = mp_y * mp_y + mp_z * mp_z - c
102
103    # Radius:
104    r = round(sqrt(sqr_of_r), 10) # Radius
105
106    #print("Mittelpunkt = (" + str(x1) + ", " + str(mp_y) + ", " + str(mp_z) + ")")
107    #print("Radius = " + str(r) + " mm")
108
109    mittelpunkt_und_radius.extend([t, x1, mp_y, mp_z, r]) # [Zeit, Mittelpkt x, Mittelpkt y, Mittelpkt z, Radius]
110
111    return mittelpunkt_und_radius
112
113
114    def sensordata_zu_kreis(self):
115        mittelpunkte_und_radien = [] # Datenstruktur [[t, mp_x, mp_y, mp_z, r]]
116
117        for line in self.all_data:
118            t = line[0] # Zeitpunkt der Messung
119
120            #print("\n" + "----- NEUE DATENREIHE - EBENE 1 - SENSOR 1-3 -----")
121            u1 = line[1] # z-Abstand (Messwert) Sensor vorne
122            u2 = line[2] # z-Abstand (Messwert) Sensor mitte
123            u3 = line[3] # z-Abstand (Messwert) Sensor hinten
124            ergebnis_ebene1 = Berechnung_Kreis(self.all_data).finde_kreis(t, self.x1, u1, u2, u3)
125            mittelpunkte_und_radien.append(ergebnis_ebene1)
126
127            #print("\n" + "----- NEUE DATENREIHE - EBENE 2 - SENSOR 4-6 -----")
128            u4 = line[4] # z-Abstand (Messwert) Sensor vorne
129            u5 = line[5] # z-Abstand (Messwert) Sensor mitte
130            u6 = line[6] # z-Abstand (Messwert) Sensor hinten
131            ergebnis_ebene2 = Berechnung_Kreis(self.all_data).finde_kreis(t, self.x2, u4, u5, u6)
132            mittelpunkte_und_radien.append(ergebnis_ebene2)
133
134            #print("\n" + "----- NEUE DATENREIHE - EBENE 3 - SENSOR 7-9 -----")
135            u7 = line[7] # z-Abstand (Messwert) Sensor vorne
136            u8 = line[8] # z-Abstand (Messwert) Sensor mitte
137            u9 = line[9] # z-Abstand (Messwert) Sensor hinten
138            ergebnis_ebene3 = Berechnung_Kreis(self.all_data).finde_kreis(t, self.x3, u7, u8, u9)
139            mittelpunkte_und_radien.append(ergebnis_ebene3)
140
141        return mittelpunkte_und_radien
142
143

```

## Anhang A7: Quellcode „berechnung.py“

```

1  import numpy as np
2
3  # -----
4  # Name: Marcel Sorger
5  # Datum der Letzten Änderung: 01.07.2020
6  # Version: PyCharm Community Edition 2019.3.4
7
8  # Beschreibung:
9  # Vorberechnung(walzendurchmesser, ballenlaenge, e_modul, kraft).durchbiegung():
10     # Gibt die maximale Durchbiegung w_max der Walze in z-Richtung zurück.
11
12 # Berechnung().gedrueckte_laenge(einlaufdicke, auslaufdicke):
13     # Gibt die gedrückte Länge l_d in Abhängigkeit der von Einlaufdicke h_0 und der Auslaufdicke h_1 des Walzgutes
14     # zurück.
15
16 # Berechnung().greifwinkel(einlaufdicke, auslaufdicke):
17     # Gibt den max. Greifwinkel alpha_0 zurück, der benötigt wird um das Walzgut einzuziehen.
18
19 # Berechnung().maximale_dickenabnahme():
20     # Gibt die maximale Dickenabnahme delta_h_max des Walzgutes zurück.
21
22 # Berechnung().geruestmodul(all_data):
23     # Gibt den Gerüstmodul C des Walzwerkes zurück. Dabei wird der Datensatz "all_data", die alle Sensordaten enthalten,
24     # übergeben und daraus das Gerüstmodul C berechnet.
25
26 # -----
27
28 class Vorberechnung():
29     def __init__(self, walzendurchmesser, ballenlaenge, e_modul, kraft):
30         self.d = walzendurchmesser # Walzendurchmesser [mm]
31         self.l = ballenlaenge # Ballenlänge der Walze [mm]
32         self.E = e_modul # E-Modul des Walzenwerkstoffes (Werkzeugstahl)[N/mm2]
33         self.F = kraft # Walzkraft [N]
34
35     def durchbiegung(self):
36         I = self.d**4*np.pi/64 # Flächenträgheitsmoment der Walze [mm4]
37         w_max = (self.F*self.l**3)/(48*self.E*I) # Maximale Durchbiegung in der Mitte der Walze [mm]
38         w_max = round(w_max, 4)
39         print("Max. Durchbiegung in z = " + str(w_max) + " mm (= " + str(w_max*10**3) + " \u03BCm)")
40
41         return w_max
42
43
44 class Berechnung():
45     def __init__(self):
46         self.r = 203/2 # Walzenradius [mm]
47         self.reibungskoeffizient = 0.2 # Reibungskoeffizient zwischen Walzgut und Walze [-]
48
49     def gedrueckte_laenge(self, einlaufdicke, auslaufdicke):
50         self.h_0 = einlaufdicke # Einlaufdicke des Walzgutes [mm]
51         self.h_1 = auslaufdicke # Auslaufdicke des Walzgutes [mm]
52
53         delta_h = self.h_0 - self.h_1 # Höhenabnahme des Walzgutes [mm]
54         l_d = np.sqrt(self.r*delta_h - delta_h**2/4) # Gedrückte Länge [mm]
55         print("Gedrückte Länge l_d = " + str(round(l_d,3)) + "mm")
56
57         return l_d
58
59     def greifwinkel(self, einlaufdicke, auslaufdicke):
60         self.h_0 = einlaufdicke # Einlaufdicke des Walzgutes [mm]
61         self.h_1 = auslaufdicke # Auslaufdicke des Walzgutes [mm]
62
63         l_d = Berechnung().gedrueckte_laenge(self.h_0, self.h_1) # Gedrückte Länge [mm]
64         alpha_0 = np.arctan(l_d/self.r)*180/np.pi # Greifwinkel [°]
65         print("Maximaler Greifwinkel alpha_0 = " + str(round(alpha_0, 3)) + "°")
66
67         return alpha_0
68
69     def maximale_dickenabnahme(self):
70         delta_h_max = self.reibungskoeffizient**2*self.r # Maximale Dickenabnahme des Walzgutes [mm]
71         print("Maximale Dickenabnahme delta_h_max = " + str(round(delta_h_max, 3)) + "mm")
72
73         return delta_h_max
74

```

```
75 def geruestmodul(self, all_data):
76     self.all_data = all_data
77     s = []
78     F_ges = []
79
80     for line in self.all_data:
81         s.append(line[10])
82         F_ges.append(line[11] + line[12])
83
84     # Polynom durch Datenpunkte von s und F_ges:
85     poly_coeff = np.polyfit(s, F_ges, 1)
86     s_new = np.linspace(min(s), max(s), 100)
87     F_ges_new = np.poly1d(poly_coeff)
88
89     delta_F = F_ges_new[1]
90     delta_s = max(s) - min(s)
91     C = delta_F*10**-3/delta_s
92
93     #print(F_ges_new)
94     #print(delta_F)
95     #print(delta_s)
96     print("Gerüstmodul C = " + str(round(C, 3)) + "kN/mm")
97     print("Auffederung 1/C = " + str(round(1/C, 3)) + "mm/kN")
98
99     return C
100
```

## Anhang A8: Quellcode „diagramme.py“

```

1  import numpy as np
2  import matplotlib.pyplot as plt
3  from module import sensorkoordinaten
4  import scipy.optimize as opt
5  from module import zeitschritte
6
7  # -----
8  # Name: Marcel Sorger
9  # Datum der Letzten Änderung: 10.06.2020
10 # Version: PyCharm Community Edition 2019.3.4
11
12 # Beschreibung:
13 # Standardformat().diagramm(self, x_data, y_data, title, x_label, y_label, legend_label):
14 #   Definiert die Standardformatierung (z.B. Liniefarbe, Achsenbeschriftung) eines Diagrammes.
15
16 # Diagramme(all_data).diagramm_kraft():
17 #   Liefert je ein Diagramm der beiden Kraftmessdosen.
18
19 # Diagramme(all_data).diagramm_moment():
20 #   Liefert ein Diagramm des gemessenen Drehmomentes.
21
22 # Diagramme(all_data).diagramm_drehzahl():
23 #   Liefert ein Diagramm des gemessenen Drehzahl.
24
25 # Diagramme(all_data).diagramm_handradwinkel():
26 #   Liefert ein Diagramm des gemessenen Handradwinkels.
27
28 # Diagramme(all_data).diagramm_pumpendruck():
29 #   Liefert ein Diagramm des gemessenen Pumpendrucks.
30
31 # Diagramme(all_data).diagramm_all():
32 #   Liefert ein Diagramm der beiden Kraftmessdosen, des Drehmomentes und der Drehzahl.
33
34 # Diagramme(all_data).diagramm_walzenradius():
35 #   Liefert ein Diagramm der Walzenradien in allen 3 Sensorebenen.
36
37 # Geruestkennlinie(all_data).geruestkennlinie():
38 #   Liefert ein Diagramm der Gerüstkennlinie (Walzspaltgröße bzw. Auffederung über Walzkraft).
39
40 # Walzspalt(data_tmr, all_data).walzspaltgeometrie()
41 #   Liefert die Visualisierung des Walzspaltes unter Berücksichtigung der Walzendurchbiegung und Auffederung.
42
43 # -----
44
45 # Dateneingang:
46 #   |Zeit|-----WIRBELSTROM-WALZE-----|Auffed|F.Li-----F.re|Moment|Drehz|Winkel|Pumpendruck|
47 #   |  0  | 1  | 2  | 3  | 4  | 5  | 6  | 7  | 8  | 9  | 10 | 11 | 12 | 13 | 14 | 15 | 16
48 # all_data = [[0.05, 2.3, 1.1, 2.3, 2.3, 1.1, 2.3, 2.3, 1.1, 2.3, 10, 10000, 10100, 1500, 50, 260, 250]]
49
50 class Standardformat():
51     def __init__(self):
52         pass
53
54     def diagramm(self, x_data, y_data, title, x_label, y_label, legend_label):
55         fig = plt.figure()
56         ax = fig.add_subplot(1, 1, 1)
57
58         ax.set_axisbelow(True)
59         ax.xaxis.grid(color='gray', linestyle='dashed')
60         ax.yaxis.grid(color='gray', linestyle='dashed')
61
62         plt.title(title, fontsize=20)
63         plt.xlabel(x_label, fontsize=16)
64         plt.ylabel(y_label, fontsize=16)
65         plt.tick_params(axis='x', labelsize=14)
66         plt.tick_params(axis='y', labelsize=14)
67
68         plt.scatter(x_data, y_data, color='r', zorder=1)
69         plt.plot(x_data, y_data, color='b', zorder=2, label=legend_label)
70         plt.legend(loc="upper left")
71
72

```

```

73 class Diagramme():
74     def __init__(self, all_data):
75         self.all_data = all_data
76
77     # def get_timesteps(self):      # Erstellen einer Liste, die jeden Zeitschritt (nur) einmal enthält.
78     #     timesteps = []          # Erstellen einer leeren Liste für die Zeitschritte
79     #     for line in self.all_data: # Auslesen der Zeitschritte aus dem Datensatz
80     #         if line[0] not in timesteps:
81     #             timesteps.append(line[0])
82     #         else:
83     #             pass
84     #     return timesteps
85
86     def diagramm_kraft(self):
87         t = []
88         F_li = []
89         F_re = []
90         for line in self.all_data:
91             t.append(line[0])
92             F_li.append(line[11])
93             F_re.append(line[12])
94         Standardformat().diagramm(t, F_li, "Walzenkraft-Zeit", "Zeit t [s]", "Kraft F [N]", "Kraft links")
95         Standardformat().diagramm(t, F_re, "Walzenkraft-Zeit", "Zeit t [s]", "Kraft F [N]", "Kraft rechts")
96         plt.show()
97
98         return [t, F_li, F_re]
99
100    def diagramm_moment(self):
101        t = []
102        M = []
103        for line in self.all_data:
104            t.append(line[0])
105            M.append(line[13])
106        Standardformat().diagramm(t, M, "Walzendrehmoment-Zeit", "Zeit t [s]", "Drehmoment M [Nm]", "Drehmoment")
107        plt.show()
108
109        return [t, M]
110
111    def diagramm_drehzahl(self):
112        t = []
113        u = []
114        for line in self.all_data:
115            t.append(line[0])
116            u.append(line[14])
117        Standardformat().diagramm(t, u, "Walzendrehzahl-Zeit", "Zeit t [s]", "Drehzahl [U/min]", "Drehzahl")
118        plt.show()
119
120        return [t, u]
121
122    def diagramm_handradwinkel(self):
123        t = []
124        alpha = []
125        for line in self.all_data:
126            t.append(line[0])
127            alpha.append(line[15])
128        Standardformat().diagramm(t, alpha, "Handradwinkel-Zeit", "Zeit t [s]", "Handradwinkel [°]", "Handradwinkel")
129        plt.show()
130
131        return [t, alpha]
132
133    def diagramm_pumpendruck(self):
134        t = []
135        p = []
136        for line in self.all_data:
137            t.append(line[0])
138            p.append(line[16])
139        Standardformat().diagramm(t, p, "Pumpendruck-Zeit", "Zeit t [s]", "Druck [bar]", "Druck")
140        plt.show()
141
142        return [t, p]
143

```

```

144 def diagramm_all(self):
145     # Kräfte
146     fig = plt.figure()
147     ax1 = fig.add_subplot(2,1,1)
148     ax1.set_axisbelow(True)
149     ax1.xaxis.grid(color='gray', linestyle='dashed')
150     ax1.yaxis.grid(color='gray', linestyle='dashed')
151     ax1.set_title("Walzenkraft-Zeit", fontsize=20)
152     ax1.set_xlabel("Zeit t [s]", fontsize=16)
153     ax1.set_ylabel("Kraft F [N]", fontsize=16)
154     ax1.tick_params(axis='x', labels=14)
155     ax1.tick_params(axis='y', labels=14)
156
157     t = []
158     F_li = []
159     F_re = []
160     for line in self.all_data:
161         t.append(line[0])
162         F_li.append(line[11])
163         F_re.append(line[12])
164     ax1.scatter(t, F_li, color='r', zorder=1)
165     ax1.plot(t, F_li, color='b', zorder=2, label="Kraft links")
166     ax1.scatter(t, F_re, color='r', zorder=1)
167     ax1.plot(t, F_re, color='orange', zorder=2, label="Kraft rechts")
168     ax1.legend(loc="upper left")
169
170     # Moment:
171     ax2 = fig.add_subplot(2,2,3)
172     ax2.set_axisbelow(True)
173     ax2.xaxis.grid(color='gray', linestyle='dashed')
174     ax2.yaxis.grid(color='gray', linestyle='dashed')
175     ax2.set_title("Drehmoment-Zeit", fontsize=20)
176     ax2.set_xlabel("Zeit t [s]", fontsize=16)
177     ax2.set_ylabel("Moment M [Nm]", fontsize=16)
178     ax2.tick_params(axis='x', labels=14)
179     ax2.tick_params(axis='y', labels=14)
180
181     M = []
182     for line in self.all_data:
183         M.append(line[13])
184     ax2.scatter(t, M, color='r', zorder=1)
185     ax2.plot(t, M, color='b', zorder=2, label="Drehmoment")
186     ax2.legend(loc="upper left")
187
188     # Drehzahl:
189     ax3 = fig.add_subplot(2,2,4)
190     ax3.set_axisbelow(True)
191     ax3.xaxis.grid(color='gray', linestyle='dashed')
192     ax3.yaxis.grid(color='gray', linestyle='dashed')
193     ax3.set_title("Drehzahl-Zeit", fontsize=20)
194     ax3.set_xlabel("Zeit t [s]", fontsize=16)
195     ax3.set_ylabel("Drehzahl [U/min]", fontsize=16)
196     ax3.tick_params(axis='x', labels=14)
197     ax3.tick_params(axis='y', labels=14)
198
199     u = []
200     for line in self.all_data:
201         u.append(line[14])
202     ax3.scatter(t, u, color='r', zorder=1)
203     ax3.plot(t, u, color='b', zorder=2, label="Umdrehungen")
204     ax3.legend(loc="upper left")
205     plt.show()
206
207     return [t, F_li, F_re, M, u]
208
209 def diagramm_walzenradius(self):
210     fig = plt.figure()
211     ax1 = fig.add_subplot(1, 1, 1)
212     ax1.set_axisbelow(True)
213     ax1.xaxis.grid(color='gray', linestyle='dashed')
214     ax1.yaxis.grid(color='gray', linestyle='dashed')
215     ax1.set_title("Walzenradius-Zeit", fontsize=20)
216     ax1.set_xlabel("Zeit t [s]", fontsize=16)
217     ax1.set_ylabel("Walzenradius R [mm]", fontsize=16)
218     ax1.tick_params(axis='x', labels=14)
219     ax1.tick_params(axis='y', labels=14)
220     ax = plt.gca()
221     ax.ticklabel_format(useOffset=False)

```

```

222
223     # Dateneingang: [[t, mp_x, mp_y, mp_z, r]] von berechnung_kreis.sensordata_zu_kreis()
224     # data_tmr = [[t1, mp_x1, mp_y1, mp_z1, r_1],      Ebene 1 (in x-Richtung)
225     #            [t1, mp_x2, mp_y2, mp_z2, r_2],      Ebene 2 (in x-Richtung)
226     #            [t1, mp_x3, mp_y3, mp_z3, r_3],      Ebene 3 (in x-Richtung)
227
228     timesteps = zeitschritte.Zeitinkremente(self.all_data).get_timesteps()
229     x0, x1, x2, x3, x4, y1, y2, y3, z1, z2, z3, alpha = sensorkoordinaten.get_sensorkoordinaten()
230     r_1 = [] # Liste der Walzenradien in Ebene 1
231     r_2 = [] # Liste der Walzenradien in Ebene 2
232     r_3 = [] # Liste der Walzenradien in Ebene 3
233
234     for t in timesteps:
235         for line in self.all_data: # Auslesen des Datensatzes und Einfügen in die obrigen Listen
236             if line[0] == t and line[1] == x1:
237                 r_1.append(line[4])
238             elif line[0] == t and line[1] == x2:
239                 r_2.append(line[4])
240             elif line[0] == t and line[1] == x3:
241                 r_3.append(line[4])
242             else:
243                 pass
244
245     ax1.scatter(timesteps, r_1, color='r', zorder=1)
246     ax1.plot(timesteps, r_1, color='b', zorder=2, label="Walzenradius Ebene 1")
247     ax1.scatter(timesteps, r_2, color='r', zorder=1)
248     ax1.plot(timesteps, r_2, color='r', zorder=2, label="Walzenradius Ebene 2")
249     ax1.scatter(timesteps, r_3, color='r', zorder=1)
250     ax1.plot(timesteps, r_3, color='g', zorder=2, label="Walzenradius Ebene 3")
251     ax1.legend(loc="upper left")
252     plt.show()
253     print(r_1)
254
255     return [timesteps, r_1, r_2, r_3]
256
257
258 class Geruestkennlinie():
259     def __init__(self, all_data):
260         self.all_data = all_data
261
262     def geruestkennlinie(self):
263         s = []
264         F_ges = []
265
266         for line in self.all_data:
267             s.append(line[10])
268             F_ges.append(line[11]+line[12])
269
270         # Polynom durch Datenpunkte von s und F_ges:
271         poly_coeff = np.polyfit(s, F_ges, 1) # Grad = 1, anpassbar
272         s_new = np.linspace(min(s), max(s), 100)
273         F_ges_new = np.poly1d(poly_coeff)
274
275         fig = plt.figure()
276         ax = fig.add_subplot(1, 1, 1)
277         ax.set_axisbelow(True)
278         ax.xaxis.grid(color='gray', linestyle='dashed')
279         ax.yaxis.grid(color='gray', linestyle='dashed')
280
281         plt.title("Gerüstkennlinie", fontsize=20)
282         plt.xlabel("Walzspalt s [mm]", fontsize=16)
283         plt.ylabel("Walzkraft F_ges [N]", fontsize=16)
284         plt.tick_params(axis='x', labelsize=14)
285         plt.tick_params(axis='y', labelsize=14)
286         plt.scatter(s, F_ges, color='r', zorder=1)
287         plt.plot(s_new, F_ges_new(s_new), color='b', zorder=2, label="Gerüstkennlinie")
288         plt.legend(loc="upper left")
289         plt.show()
290
291     return [s, F_ges]
292
293

```

```

294 class Walzspalt():
295     def __init__(self, t, data_tmr, all_data):
296         self.t = t
297         self.data_tmr = data_tmr
298         self.all_data = all_data
299
300     def walzspaltgeometrie(self, verstaerkung):
301         self.verstaerkung = verstaerkung
302         timesteps = self.t
303         obere_grenze = sensorkoordinaten.get_sensorkoordinaten()[4] # Länge/Ende der Walze (für Funktionsgrenze)
304         untere_grenze = sensorkoordinaten.get_sensorkoordinaten()[0] # Anfang der Walze (für Funktionsgrenze)
305
306         # Dateneingang (tmr): [[t, mp_x, mp_y, mp_z, r]] von berechnung_kreis.sensordata_zu_kreis()
307         for t in timesteps:
308             x_m = [] # Liste der Mittelpunkte in x-Richtung
309             z_m = [] # Liste der Mittelpunkte in z-Richtung
310
311             for line in self.data_tmr: # Auslesen des Datensatzes und Einfügen in die obrigen Listen
312                 if line[0] == t:
313                     x_m.append(line[1])
314                     z_m.append(line[3])
315
316             # Polynom in z-Richtung --> z(x) = ...
317             polynom_coeff_z = np.polyfit(x_m, z_m, 2) # Polynomkoeffizienten durch Polynom-Fitting
318             increments = 100
319             x_mnew = np.linspace(untere_grenze, obere_grenze, increments)
320             z_mnew = np.poly1d(polynom_coeff_z) # Polynom z(x) = ...
321
322             for line in self.all_data:
323                 if line[0] == t:
324                     auffederung = line[10]
325
326             fig = plt.figure()
327             ax = fig.add_subplot(1, 1, 1)
328             ax.set_axisbelow(True)
329             ax.xaxis.grid(color='gray', linestyle='dashed')
330             ax.yaxis.grid(color='gray', linestyle='dashed')
331             plt.title("Walzspaltgeometrie - Zeitpunkt " + str(t) + "s", fontsize=20)
332             plt.xlabel("x [mm]", fontsize=16)
333             plt.ylabel("z [mm]", fontsize=16)
334             plt.tick_params(axis='x', labelsize=14)
335             plt.tick_params(axis='y', labelsize=14)
336             plt.plot(x_mnew, self.verstaerkung*z_mnew(x_mnew))
337             plt.plot(x_mnew, -self.verstaerkung*z_mnew(x_mnew)+(auffederung + 2 * polynom_coeff_z[-1]))
338
339             # Stelle der maximalen Durchbiegung
340             max_x_uW = opt.fminbound(lambda x: z_mnew(x), untere_grenze, obere_grenze)
341             max_uW = [max_x_uW, self.verstaerkung*z_mnew(max_x_uW)]
342             max_oW = [max_x_uW, -self.verstaerkung*z_mnew(max_x_uW)+(auffederung + 2 * polynom_coeff_z[-1])]
343             #print("unten: " + str(max_uW) + " oben: " + str(max_oW))
344             plt.scatter(max_uW[0], max_uW[1])
345             plt.scatter(max_oW[0], max_oW[1])
346
347             max_durchbiegung_z = max_oW[1] - max_uW[1]
348
349             plt.figtext(0.76, 0.025, "Maximale Durchbiegung = " + str(round(max_durchbiegung_z, 3)) + "mm", ha="center",
350                       fontsize=8, bbox={"facecolor": "orange", "alpha": 0.5, "pad": 5})
351             #print("Max. Durchbiegung: " + str(max_durchbiegung_z))
352
353             plt.show()

```

## Anhang A9: Quellcode „visualisierung\_walze.py“

```

1  import numpy as np
2  import matplotlib.pyplot as plt
3  from matplotlib import cm
4  from module import sensorkoordinaten
5  from module import zeitschritte
6
7  # -----
8  # Name: Marcel Sorger
9  # Datum der Letzten Änderung: 01.07.2020
10 # Version: PyCharm Community Edition 2019.3.4
11
12 # Beschreibung:
13 # Untere_Walze(data_tmr).get_timesteps():
14 # Erstellt eine chronologische Liste aller Zeitpunkte, die jeden Zeitpunkt nur einmal enthält
15
16 # Untere_Walze(data_tmr).biegeline_3d(verstaerkung):
17 # Liefert ein Diagramm der Biegelinie der Achse der unteren Arbeitswalze im Raum (3D-Biegelinie). Diese wird durch
18 # durch zwei Polynome in der x-z-Ebene und y-z-Ebene mit den errechneten Mittelpunkten aus
19 # berechnung_kreis.Berechnung_Kreis(data).sensordata_zu_kreis() ermittelt.
20 # Der Parameter "verstaerkung" (verstaerkung = 1 = keine Verstärkung) multipliziert die Daten mit sich selbst, um
21 # die Durchbiegung der Walze bzw. deren Biegelinie zu verdeutlichen.
22
23 # Liefert außerdem eine Projektion der Biegelinie in der y-z-Ebene (2D-Biegelinie), welche zur Ermittlung des
24 # Walzprofies ermittelt.
25
26 # Untere_Walze(data_tmr).plot_surface(verstaerkung):
27 # Liefert eine Visualisierung der Walze zum Zeitpunkt t mit Biegelinie und Sensorebenen. Zur Erstellung des Modells
28 # der Walze wird auf die Funktion datenpunktvernetzung(center_y, center_z, radius, Laenge_x, y_polynom, z_polynom)
29 # zugegriffen
30 # Der Parameter "verstaerkung" (verstaerkung = 1 = keine Verstärkung) multipliziert die Daten mit sich selbst, um
31 # die Durchbiegung der Walze bzw. deren Biegelinie zu verdeutlichen.
32
33 # Untere_Walze.datenpunktvernetzung(center_y, center_z, radius, Laenge_x, y_polynom, z_polynom):
34 # Liefert die für das visualisierte Modell der Walze die benötigte Matrix mit den im Konstruktor angeführten Daten
35
36 # Untere_Walze(data_tmr).plot_kreisebenen():
37 # Liefert eine Visualisierung der Kreisebenen im Raum, die durch die Sensordaten der unteren Arbeitswalze
38 # errechnet wurden.
39
40 # Beide_Walzen(data_tmr, all_data).plot_surface():
41 # Liefert eine Visualisierung beider Walzen zum Zeitpunkt t mit Biegelinie und Sensorebenen. Zur Erstellung des
42 # Modells der Walze wird auf die Funktion datenpunktvernetzung(center_y, center_z, radius, Laenge_x, y_polynom,
43 # z_polynom) zugegriffen
44
45 # -----
46
47 # Dateneingang von Modul "berechnung_kreis":
48 # data_tmr = [[Zeit, Mittelpunkt x, Mittelpunkt y, Mittelpunkt z, Radius], [...]]
49
50 class Untere_Walze():
51     def __init__(self, timesteps, data_tmr): # tmr = Time, Mittelpunkt, Radius
52         self.data_tmr = data_tmr # [Zeit, Mittelpunkt x, Mittelpunkt y, Mittelpunkt z, Radius]
53         self.timesteps = timesteps # Liste Zeitschritte (alle Zeitschritte oder einzelner Zeitschritt)
54         self.obere_grenze = sensorkoordinaten.get_sensorkoordinaten()[4] # Länge/Ende der Walze (für Funktionsgrenze)
55         self.untere_grenze = sensorkoordinaten.get_sensorkoordinaten()[0] # Anfang der Walze (für Funktionsgrenze)
56
57     def biegeleine_3d(self, verstaerkung):
58         self.verstaerkung = verstaerkung
59         for t in self.timesteps:
60             x_m = [] # Liste der Mittelpunkte in x-Richtung
61             y_m = [] # Liste der Mittelpunkte in y-Richtung
62             z_m = [] # Liste der Mittelpunkte in z-Richtung
63
64             for line in self.data_tmr: # Auslesen des Datensatzes und Einfügen in die obigen Listen
65                 if line[0] == t:
66                     x_m.append(line[1])
67                     y_m.append(line[2])
68                     z_m.append(line[3])
69
70             # Polynom in z-Richtung --> z(x) = ...
71             polynomial_coeff_z = np.polyfit(x_m, z_m, 2) # Polynomkoeffizienten durch Polynom-Fitting
72             increments = 100
73             # x_mnew = np.linspace(min(x_m), max(x_m), increments) # Lineare Inkrementierung in x-Richtung
74             x_mnew = np.linspace(self.untere_grenze, self.obere_grenze, increments)
75             z_mnew = np.poly1d(polynomial_coeff_z) # Polynom z(x) = ...
76

```

```

77
78     # Polynom in y --> y(x) = ...
79     polynom_coeff_y = np.polyfit(x_m, y_m, 2)           # Polynomkoeffizienten durch Polynom-Fitting
80     y_mnew = np.poly1d(polynom_coeff_y)              # Polynom z(x) = ...
81
82     # Plot der Biegelinie:
83     ax = plt.figure().add_subplot(111, projection='3d')
84     ax.set_xlabel('x')
85     ax.set_ylabel('y')
86     ax.set_zlabel('z')
87     ax.set_xlim3d(self.untere_grenze, self.obere_grenze) # Limit der x-Achsenkalierung
88     ax.set_ylim3d(-250, 250)                          # Limit der y-Achsenkalierung
89     ax.set_zlim3d(-150, 350)                          # Limit der z-Achsenkalierung
90     plt.title("Biegelinie - Zeitpunkt " + str(t) + " s \n (Verstärkungsfaktor = " + str(self.verstaerkung) + ")")
91     # Plot der Biegelinie im Raum (3D)
92     plt.plot(x_mnew, self.verstaerkung*y_mnew(x_mnew), self.verstaerkung*z_mnew(x_mnew))
93     # Projektion der Biegelinie in der y-z-Ebene (2D-Biegelinie) = Walzprofilierung
94     plt.plot(x_mnew, [250]*increments, self.verstaerkung*z_mnew(x_mnew))
95     plt.show()
96
97
98 def plot_surface(self, verstaerkung):
99     self.verstaerkung = verstaerkung
100    for t in self.timesteps:
101        # UNTERE WALZE: OBERFLÄCHE + BIEGELINIE:
102        x_m = [] # Liste der Mittelpunkte in x-Richtung
103        y_m = [] # Liste der Mittelpunkte in y-Richtung
104        z_m = [] # Liste der Mittelpunkte in z-Richtung
105        for line in self.data_tmr: # Auslesen des Datensatzes und Einfügen in die obigen Listen
106            if line[0] == t:
107                x_m.append(line[1])
108                y_m.append(line[2])
109                z_m.append(line[3])
110
111        # Polynom in z-Richtung --> z(x) = ...
112        polynom_coeff_z = np.polyfit(x_m, z_m, 2) # Polynomkoeffizienten durch Polynom-Fitting
113        increments = 100
114        x_mnew = np.linspace(self.untere_grenze, self.obere_grenze, increments) # Lin. Inkrementierung in x-Richtung
115        z_mnew = np.poly1d(polynom_coeff_z) # Polynom z(x) = ...
116
117        # Polynom in y --> y(x) = ...
118        polynom_coeff_y = np.polyfit(x_m, y_m, 2) # Polynomkoeffizienten durch Polynom-Fitting
119        y_mnew = np.poly1d(polynom_coeff_y) # Polynom y(x) = ...
120
121        # Plot der Oberfläche:
122        fig = plt.figure(figsize=(8, 8))
123        ax = fig.add_subplot(111, projection='3d')
124        plt.title("Zeitpunkt: " + str(t) + " s")
125
126        Xc, Yc, Zc = Untere_Walze.datenpunktvernetzung(0, 0, line[4], self.obere_grenze, self.verstaerkung*y_mnew,
127                                                    self.verstaerkung*z_mnew)
128        ax.plot_surface(Xc, Yc, Zc, alpha=0.5, cmap=cm.RdBu) # Visualisierung der Walze als Oberfläche
129        # ax.plot_wireframe(Xc, Yc, Zc, color='green', linewidth=0.5) # Visualisierung der Walze als Netz
130
131        # Plot der Biegelinie (3D):
132        plt.plot(x_mnew, self.verstaerkung*y_mnew(x_mnew), self.verstaerkung*z_mnew(x_mnew), color='g', linewidth=2)
133
134        # Projektionen:
135        #cset = ax.contour(Xc, Yc, Zc, zdir='x', offset=-1, cmap=cm.RdBu) # Projektion in x-Richtung
136        #cset = ax.contour(Xc, Yc, Zc, zdir='y', offset=4, cmap=cm.RdBu) # Projektion in y-Richtung
137        #cset = ax.contour(Xc, Yc, Zc, zdir='z', offset=-1, cmap=cm.RdBu) # Projektion in z-Richtung
138
139
140    # KREISEBENEN
141    for line in self.data_tmr: # Vergleich mit den Daten
142        if line[0] == t: # Wenn der Datensatz zum Zeitpunkt t aufgezeichnet wurde, dann plotten.
143            x_m = line[1]
144            y_m = line[2]
145            z_m = line[3]
146            r = line[4]
147
148            increments = 50 # increments -> Kreisinkremente, bestimmen die Auflösung des Kreises
149            theta = np.linspace(0, 2 * np.pi, increments)
150
151            x = [x_m] * increments
152            y = self.verstaerkung*y_m + r * np.sin(theta)
153            z = self.verstaerkung*z_m + r * np.cos(theta)
154

```

```

155         ax.plot(x, y, z) # Kreis
156         ax.scatter(x_m, self.verstaerkung*y_m, self.verstaerkung*z_m, marker='x') # Mittelpunkt
157
158     else:
159         pass
160
161     ax.set_xlim3d(self.untere_grenze, self.obere_grenze) # Limit der x-Achsenkalierung
162     ax.set_ylim3d(-250, 250) # Limit der y-Achsenkalierung
163     ax.set_zlim3d(-150, 350) # Limit der z-Achsenkalierung
164     ax.set_xlabel('x') # Beschriftung der x-Achse
165     ax.set_ylabel('y') # Beschriftung der y-Achse
166     ax.set_zlabel('z') # Beschriftung der z-Achse
167     plt.title("Durchbiegung der unteren Walze - Zeitpunkt " + str(t) + "s \n (Verstärkungsfaktor = " +
168             str(self.verstaerkung) + ")")
169     plt.show() # Plotten aller Ergebnisse
170
171
172 def datenpunktvernetzung(center_y, center_z, radius, laenge_x, y_polynom, z_polynom):
173     increments = 50 # Inkrementierung (für Auflösung)
174     untere_grenze = sensorkoordinaten.get_sensorkoordinaten()[0] # Anfang der Walze (für Funktionsgrenze)
175
176     x = np.linspace(untere_grenze, laenge_x, increments) # Inkrementierung entlang der x-Achse
177     theta = np.linspace(0, 2 * np.pi, increments) # Inkrementierung des Rotationswinkel
178     theta_grid, x_grid = np.meshgrid(theta, x) # Erstellen eines x-theta-Datenpunktnetzes
179
180     y_poly = y_polynom(x_grid) # Polynom y(x)
181     y_grid = radius * np.cos(theta_grid) + center_y + y_poly # Datenpunktnetz y_grid
182
183     z_poly = z_polynom(x_grid) # Polynom z(x)
184     z_grid = radius * np.sin(theta_grid) + center_z + z_poly # Datenpunktnetz z_grid
185
186     return x_grid, y_grid, z_grid
187
188
189 def plot_kreisebenen(self):
190     # Plot zum Zeitpunkt t
191     for t in self.timesteps: # Schrittweises durchgehen der Zeitpunkte
192         ax = plt.figure().add_subplot(111, projection='3d') # 3D-Plot mit in x = 1 Plot, y = 1 Plot an Position 1
193         ax.set_xlabel('x')
194         ax.set_ylabel('y')
195         ax.set_zlabel('z')
196         plt.title("Zeitpunkt: " + str(t) + "s")
197         for line in self.data_tmr: # Vergleich mit den Daten
198             if line[0] == t: # Wenn der Datensatz zum Zeitpunkt t aufgezeichnet wurde, dann plotten.
199                 x_m = line[1]
200                 y_m = line[2]
201                 z_m = line[3]
202                 r = line[4]
203
204                 increments = 180 # increments -> Kreisinkremente, bestimmen die Auflösung des Kreises
205                 theta = np.linspace(0, 2*np.pi, increments)
206
207                 x = [x_m]*increments
208                 y = y_m + r*np.sin(theta)
209                 z = z_m + r*np.cos(theta)
210
211                 ax.plot(x, y, z) # Kreis
212                 ax.scatter(x_m, y_m, z_m, marker='x') # Mittelpunkt
213
214     else:
215         pass
216
217     ax.set_xlim3d(self.untere_grenze, self.obere_grenze) # Limit der x-Achsenkalierung
218     ax.set_ylim3d(-250, 250) # Limit der y-Achsenkalierung
219     ax.set_zlim3d(-150, 350) # Limit der z-Achsenkalierung
220     plt.title("Sensorebenen - Zeitpunkt " + str(t) + "s")
221     plt.show()
222
223
224 class Beide_Walzen():
225     def __init__(self, timesteps, data_tmr, all_data):
226         self.data_tmr = data_tmr # [Zeit, Mittelpunkt x, Mittelpunkt y, Mittelpunkt z, Radius]
227         self.all_data = all_data
228         self.timesteps = timesteps
229         self.obere_grenze = sensorkoordinaten.get_sensorkoordinaten()[4] # Länge/Ende der Walze (für Funktionsgrenze)
230         self.untere_grenze = sensorkoordinaten.get_sensorkoordinaten()[0] # Anfang der Walze (für Funktionsgrenze)
231

```

```

232 def plot_surface(self):
233     for t in self.timesteps:
234         # UNTERE WALZE: OBERFLÄCHE + BIEGELINIE:
235         x_m = [] # Liste der Mittelpunkte in x-Richtung
236         y_m = [] # Liste der Mittelpunkte in y-Richtung
237         z_m = [] # Liste der Mittelpunkte in z-Richtung
238         for line in self.data_tmr: # Auslesen des Datensatzes und Einfügen in die obigen Listen
239             if line[0] == t:
240                 x_m.append(line[1])
241                 y_m.append(line[2])
242                 z_m.append(line[3])
243
244         # Polynom in z-Richtung --> z(x) = ...
245         polynom_coeff_z = np.polyfit(x_m, z_m, 2) # Polynomkoeffizienten durch Polynom-Fitting
246         increments = 100
247         x_mnew = np.linspace(self.untere_grenze, self.obere_grenze, increments) # Lin. Inkrementierung in x-Richtung
248         z_mnew = np.poly1d(polynom_coeff_z) # Polynom z(x) = ...
249
250         # Polynom in y --> y(x) = ...
251         polynom_coeff_y = np.polyfit(x_m, y_m, 2) # Polynomkoeffizienten durch Polynom-Fitting
252         y_mnew = np.poly1d(polynom_coeff_y) # Polynom y(x) = ...
253
254         # Plot der Oberfläche:
255         fig = plt.figure(figsize=(8, 8))
256         ax = fig.add_subplot(111, projection='3d')
257         plt.title("Zeitpunkt: " + str(t) + "s")
258
259         radius = line[4]
260         Xc1, Yc1, Zc1 = Untere_Walze.datenpunktvernetzung(0, 0, radius, self.obere_grenze, y_mnew, z_mnew)
261         ax.plot_surface(Xc1, Yc1, Zc1, alpha=0.5, cmap=cm.RdBu) # Visualisierung der Walze als Oberfläche
262         # ax.plot_wireframe(Xc1, Yc1, Zc1, color='green', linewidth=0.5) # Visualisierung der Walze als Netz
263
264         # Plot der Biegelinie (3D):
265         plt.plot(x_mnew, y_mnew(x_mnew), z_mnew(x_mnew), color='g', linewidth=2)
266
267         # Projektionen:
268         # cset = ax.contour(Xc, Yc, Zc, zdir='x', offset=-1, cmap=cm.RdBu) # Projektion in x-Richtung
269         # cset = ax.contour(Xc, Yc, Zc, zdir='y', offset=4, cmap=cm.RdBu) # Projektion in y-Richtung
270         # cset = ax.contour(Xc, Yc, Zc, zdir='z', offset=-1, cmap=cm.RdBu) # Projektion in z-Richtung
271
272         # OBERE WALZE: OBERFLÄCHE + BIEGELINIE
273         for line in self.all_data:
274             if line[0] == t:
275                 auffederung = line[10]
276
277         plt.plot(x_mnew, y_mnew(x_mnew), -z_mnew(x_mnew) + (2 * radius + auffederung + 2 * polynom_coeff_z[-1]),
278                color='g', linewidth=2)
279
280         Xc2, Yc2, Zc2 = Untere_Walze.datenpunktvernetzung(0, 0, radius, self.obere_grenze, y_mnew, -z_mnew + (
281             2 * radius + auffederung + 2 * polynom_coeff_z[-1]))
282         ax.plot_surface(Xc2, Yc2, Zc2, alpha=0.5, cmap=cm.RdBu) # Visualisierung der Walze als Oberfläche
283         # ax.plot_wireframe(Xc2, Yc2, Zc2, color='green', linewidth=0.5) # Visualisierung der Walze als Netz
284
285         # KREISEBENEN
286         for line in self.data_tmr: # Vergleich mit den Daten
287             if line[0] == t: # Wenn der Datensatz zum Zeitpunkt t aufgezeichnet wurde, dann plotten.
288                 x_m = line[1]
289                 y_m = line[2]
290                 z_m = line[3]
291                 r = line[4]
292
293                 increments = 50 # increments -> Kreisinkremente, bestimmen die Auflösung des Kreises
294                 theta = np.linspace(0, 2 * np.pi, increments)
295
296                 x = [x_m] * increments
297                 y = y_m + r * np.sin(theta)
298                 z = z_m + r * np.cos(theta)
299
300                 ax.plot(x, y, z) # Kreis
301                 ax.scatter(x_m, y_m, z_m, marker='x') # Mittelpunkt
302
303             else:
304                 pass
305

```

```
306     ax.set_xlim3d(self.untere_grenze, self.obere_grenze)    # Limit der x-Achsenkalierung
307     ax.set_ylim3d(-250, 250)                               # Limit der y-Achsenkalierung
308     ax.set_zlim3d(-150, 350)                               # Limit der z-Achsenkalierung
309     ax.set_xlabel('x')                                     # Beschriftung der x-Achse
310     ax.set_ylabel('y')                                     # Beschriftung der y-Achse
311     ax.set_zlabel('z')                                     # Beschriftung der z-Achse
312     plt.title("Durchbiegung beider Walzen - Zeitpunkt " + str(t) + "s")
313     plt.show()                                           # Plotten aller Ergebnisse
314
```

## Anhang A10: Quellcode „walzspaltzustellung.py“

```

1  import numpy as np
2
3  # -----
4  # Name: Marcel Sorger
5  # Datum der Letzten Änderung: 01.07.2020
6  # Version: PyCharm Community Edition 2019.3.4
7
8  # Beschreibung:
9  # Zustellung().get_auffederung(all_data):
10 # Gibt aus dem Datensatz "all_data", welcher alle Sensordaten enthält, die Walzspaltöffnung s_0 und die Auslaufdicke
11 # h_1 des Walzuges zurück.
12
13 # # Zustellung().get_auffederung(all_data):
14 # Gibt über eine Umrechnung von Maschinenparametern (Übersetzung) die aufgrund der Auffederung notwendige
15 # Nachstellung in Grad und Umdrehungen zurück.
16
17 # -----
18
19 class Zustellung():
20     def __init__(self, all_data):
21         self.all_data = all_data
22
23     def get_auffederung(self):
24         s_0 = np.inf # Walzspaltöffnung des Gerüsts [mm]
25         h_1 = 0 # Auslaufdicke des Walzgutes bzw. Walzspalt mit Auffederung [mm]
26         for line in self.all_data:
27             if line[10] <= s_0:
28                 s_0 = line[10]
29             elif line[10] > h_1:
30                 h_1 = line[10]
31             else:
32                 pass
33         #print(s_0, h_1)
34
35         return s_0, h_1
36
37     def zustellung(self):
38         # 360 Grad Drehung des Handrades entsprechen 12,5 Zähnen, 1 Zahn entspricht 0,07mm Zustellung
39         s_0, h_1 = Zustellung(self.all_data).get_auffederung()
40         delta_h = h_1 - s_0 # Zustellung [mm]
41         z_360 = 12.5 # Anzahl der Zähne bei 360° Drehung
42
43         z = delta_h*1/0.07 # Anzahl Zähne zur Zustellung um delta_h (1 Zahn = 0.07mm)
44         alpha = round(360*z/z_360, 2) # Notwendige Drehung [°] zur Zustellung um delta_h
45         umdrehungen = round(alpha*np.pi/180, 2)
46
47         print("Notwendige Drehung der Zustellung: " + str(alpha) + "° (entspricht " + str(umdrehungen) + " Umdrehungen)")
48
49         return alpha
50

```

## Anhang B: Python-Code Konzept 2

Dem folgenden Anhang kann der Quellcode des zweiten Konzeptes entnommen werden.

### Anhang B1: Quellcode „skript.py“

```
1 import os
2 from module import neues_projekt
3 from module import sensordata
4 from module import diagramme
5 from module import zeitschritte
6 from module import walzspaltzustellung
7 from module import berechnung
8
9 # -----
10 # Name: Marcel Sorger
11 # Datum der Letzten Änderung: 15.07.2020
12 # Version: PyCharm Community Edition 2019.3.4
13
14 # Beschreibung:
15 # Ablauf des Skripts:
16 # 1.) Neues Projekt erstellen mit Modul "create_new_project"
17 # 2.) Sensordaten mit Modul "sensordata" einlesen --> Output: all_data
18 # 3.) Auswahl der Zeitschritte mit Modul "zeitschritte"
19 # 4.) Berechnung ausgewählter Größen
20 # 5.) Auswertung aller Diagramme durch das Modul "diagramme"
21 # 6.) Zustellung des Walzspaltes durch das Modul "walzspaltzustellung"
22
23 # -----
24
25 # 1.) neues_projekt
26 projekt = "Walzen 1.0038"
27 neues_projekt.Neues_Projekt(projekt).anlegen()
28 projektname = neues_projekt.Neues_Projekt.get_projektname()
29 #print(projektname)
30
31 # 2.) sensordata
32 all_data = sensordata.CsvReader().read() # all_data = [t1 z1 z2 z3 z4] = [t1 Auff. Kraft1 Kraft2 Winkel]
33 sensordata.CsvWriter().export_all()
34 sensordata.CsvWriter().export_summary()
35 #print(all_data)
36
37 # 3.) zeitschritte
38 t_all = zeitschritte.Zeitinkremente(all_data).get_timesteps()
39 #print("Alle Zeitschritte t_all = " + str(t_all))
40
41 # 4.) berechnung
42 h_0 = 10 # Einlaufdicke des Walzgutes [mm]
43 h_1 = 8 # Auslaufdicke des Walzgutes [mm]
44
45 berechnung.Berechnung().gedrueckte_lange(h_0, h_1)
46 berechnung.Berechnung().greifwinkel(h_0, h_1)
47 berechnung.Berechnung().maximale_dickenabnahme()
48 berechnung.Berechnung().geruestmodul(all_data)
49
50 # 5.) diagramme
51 diagramme.Geruestkennlinie(all_data).geruestkennlinie()
52 diagramme.Diagramme(all_data).diagramm_kraft()
53 diagramme.Diagramme(all_data).diagramm_handradwinkel()
54 diagramme.Diagramme(all_data).diagramm_all()
55
56 # 6.) walzspaltzustellung
57 alpha = walzspaltzustellung.Zustellung(all_data).zustellung()
58 #print(alpha)
59
```

## Anhang B2: Quellcode „neues\_projekt.py“

```
1  import os
2  from time import strftime, localtime
3
4  # -----
5  # Name: Marcel Sorger
6  # Datum der Letzten Änderung: 15.07.2020
7  # Version: PyCharm Community Edition 2019.3.4
8
9  # Beschreibung:
10 # NewProject().new_folder()
11 # Anlegen eines Projektordner auf einem vordefinierten Pfad mit einem vom Benutzer festgelegten Projektnamen.
12 # Der Unterordner für die exportieren csv-Daten (aus dem Modul 'sensordata') wird automatisch angelegt.
13
14 # NewProject().new_folder()
15 # Gibt den Projektordnernamen zurück.
16
17 # -----
18
19 class Neues_Projekt():
20     def __init__(self, projekt):
21         self.projekt = projekt
22
23     def anlegen(self):
24         projektname = self.projekt
25         date = strftime("%Y-%m-%d [%H-%M-%S]", localtime()) # Datum + Zeit zum Zeitpunkt des Erstellens
26         global ordnername
27         ordnername = date + " - " + projektname # gesamter Projektordnername
28
29         path = "./test_projects/" + ordnername # Pfad in dem der Projektordner angelegt werden soll
30
31         if not os.path.exists(path):
32             os.makedirs(path) # Erstellen des Projektordners
33             print("Projektordner " + ordnername + " wurde angelegt")
34         else:
35             print("Projektordner " + ordnername + " existiert bereits")
36
37         os.makedirs(path + "/csv-data") # Unterordner für exportierte csv-Dateien der Sensoren
38
39     def get_projektname():
40         return ordnername
41
```

## Anhang B3: Quellcode „sensordata.py“

```

1  import csv
2  import os
3  from module import neues_projekt
4  from shutil import copyfile
5  import numpy as np
6
7  # -----
8  # Name: Marcel Sorger
9  # Datum der Letzten Änderung: 15.07.2020
10 # Version: PyCharm Community Edition 2019.3.4
11
12 # Beschreibung:
13 # CsvReader().read()
14 #   Lesen der csv-Dateien der Sensoren und Ausgabe einer Liste im Format [[Zeit1, Sensor1, ..., Sensor 4], [...]]
15
16 # CsvWriter().export_all()
17 #   Exportieren aller csv-Dateien der Sensoren in den Projektordner in den Unterordner 'csv-data'
18
19 # CsvWriter().export_summary()
20 #   Exportieren einer Sammlung aller csv-Dateien der Sensoren als eine einzelne csv-Datei in den Projektordner
21 #   in den Unterordner 'csv-data'
22
23 # -----
24
25 class CsvReader():
26     def __init__(self):
27         pass
28
29     def read(self):
30         n = 1
31         number_files = len(os.listdir("sensordata")) # WICHTIG! Pfad relativ zum ausführenden Skript (script.py)!
32
33         global data_all_sensors
34         data_all_sensors = []
35         global data_all_sensors_transposed
36         data_all_sensors_transposed = []
37
38         # Aufbau der zu Lesenden csv-Dateien:   Zeit; Sensor
39         # Aufbau der erzeugten csv-Datei:       Zeit; Sensor1; Sensor2; ..., Sensor 15
40         # Aufbau der erzeugten Liste:           [[Zeit1, Sensor1, Sensor2, ..., Sensor 15],
41         # (data_all_sensors_transposed)         [Zeit2, Sensor1, Sensor2, ..., Sensor 15]]
42
43         # Einlesen der Zeitschritte:
44         with open("sensordata/" + "data_sensor" + str(n) + ".csv", "r", newline='', encoding='utf-8') as file:
45             reader_timesteps = csv.reader(file, delimiter=';', quotechar='|')
46
47             time = []
48             for row in reader_timesteps:
49                 time.append(float(row[0]))
50                 data_all_sensors.append(time)
51
52         # Einlesen der Sensordaten:
53         for n in range(1, number_files + 1):
54             csvfilename = "data_sensor" + str(n) + ".csv" # Name der einzulesenden csv-Dateien
55
56             data_sensor = []
57             with open ("sensordata/" + csvfilename, "r", newline='', encoding='utf-8') as file:
58                 reader_data = csv.reader(file, delimiter=';', quotechar='|')
59
60                 for row in reader_data:
61                     data_sensor.append((float(row[1])))
62                 data_all_sensors.append(data_sensor)
63
64         data_all_sensors_transposed = np.transpose(data_all_sensors) # Transponieren auf oben erwähnte Datenstruktur
65
66         return data_all_sensors_transposed
67
68
69 class CsvWriter():
70     def __init__(self):
71         pass
72

```

```
73 def export_all(self):
74     n = 1
75     number_files = len(os.listdir("sensordata"))
76
77     for n in range(1, number_files + 1):
78         csv_filename = "data_sensor" + str(n) + "_export.csv"
79         foldername = neues_projekt.Neues_Projekt.get_projektname()
80
81         source = "sensordata/data_sensor" + str(n) + ".csv"
82         destination = "test_projects/" + foldername + "/csv-data/" + csv_filename
83
84         copyfile(source, destination)
85
86     print("Export aller .csv-Dateien in den Projektordner '" + foldername + "' erfolgreich")
87
88 def export_summary(self):
89     number_files = len(os.listdir("sensordata"))
90     csv_data = CsvReader().read()
91
92     csv_filename = "data_sensors_summary.csv"
93     foldername = neues_projekt.Neues_Projekt.get_projektname()
94
95     with open("test_projects/" + foldername + "/csv-data/" + csv_filename, "w", newline='', encoding='utf-8') as file:
96         writer = csv.writer(file, delimiter=';', quotechar='|')
97
98         header = ["Zeit", "Sensor1", "Sensor2", "Sensor3", "Sensor4"]
99         writer.writerow(header)
100
101         # Reihen auf Spalten transponieren
102         for line in data_all_sensors_transposed:
103             writer.writerow(line)
104
105     print("Export der Sammlung aller .csv-Dateien in den Projektordner '" + foldername + "' erfolgreich")
```

## Anhang B4: Quellcode „zeitschritte.py“

```
1  import numpy as np
2
3  # -----
4  # Name: Marcel Sorger
5  # Datum der Letzten Änderung: 15.07.2020
6  # Version: PyCharm Community Edition 2019.3.4
7
8  # Beschreibung:
9  # Zeitinkremente(all_data).get_timesteps()
10     # Gibt aus dem Datensatz "all_data", welcher alle Sensordaten enthält, alle Zeitschritte zurück.
11
12 # -----
13
14 class Zeitinkremente():
15     def __init__(self, all_data):
16         self.all_data = all_data
17
18     def get_timesteps(self):          # Erstellen einer Liste, die jeden Zeitschritt (nur) einmal enthält.
19         timesteps = []              # Erstellen einer Leeren Liste für die Zeitschritte
20         for line in self.all_data:  # Auslesen der Zeitschritte aus dem Datensatz
21             if line[0] not in timesteps:
22                 timesteps.append(line[0])
23             else:
24                 pass
25
26         return timesteps
27
```

## Anhang B5: Quellcode „berechnung.py“

```

1  import numpy as np
2
3  # -----
4  # Name: Marcel Sorger
5  # Datum der Letzten Änderung: 15.07.2020
6  # Version: PyCharm Community Edition 2019.3.4
7
8  # Beschreibung:
9  # Vorbereitung(walzendurchmesser, ballenlaenge, e_modul, kraft).durchbiegung():
10     # Gibt die maximale Durchbiegung w_max der Walze in z-Richtung zurück.
11
12 # Berechnung().gedrueckte_Laenge(einlaufdicke, auslaufdicke):
13     # Gibt die gedrückte Länge l_d in Abhängigkeit der von Einlaufdicke h_0 und der Auslaufdicke h_1 des Walzgutes
14     # zurück.
15
16 # Berechnung().greifwinkel(einlaufdicke, auslaufdicke):
17     # Gibt den max. Greifwinkel alpha_0 zurück, der benötigt wird um das Walzgut einzuziehen.
18
19 # Berechnung().maximale_dickenabnahme():
20     # Gibt die maximale Dickenabnahme delta_h_max des Walzgutes zurück.
21
22 # Berechnung().geruestmodul(all_data):
23     # Gibt den Gerüstmodul C des Walzwerkes zurück. Dabei wird der Datensatz "all_data", die alle Sensordaten enthalten,
24     # übergeben und daraus das Gerüstmodul C berechnet.
25
26 # -----
27
28 class Vorbereitung():
29     def __init__(self, walzendurchmesser, ballenlaenge, e_modul, kraft):
30         self.d = walzendurchmesser          # Walzendurchmesser [mm]
31         self.l = ballenlaenge              # Ballenlänge der Walze [mm]
32         self.E = e_modul                   # E-Modul des Walzenwerkstoffes (Werkzeugstahl)[N/mm2]
33         self.F = kraft                     # Walzkraft [N]
34
35     def durchbiegung(self):
36         I = self.d**4*np.pi/64            # Flächenträgheitsmoment der Walze [mm4]
37         w_max = (self.F*self.l**3)/(48*self.E*I)    # Maximale Durchbiegung in der Mitte der Walze [mm]
38         w_max = round(w_max, 4)
39         print("Max. Durchbiegung in z = " + str(w_max) + " mm (= " + str(w_max*10**3) + " \u03BCm)")
40
41         return w_max
42
43
44 class Berechnung():
45     def __init__(self):
46         self.r = 203/2                    # Walzenradius [mm]
47         self.reibungskoeffizient = 0.2    # Reibungskoeffizient zwischen Walzgut und Walze [-]
48
49     def gedruckte_lange(self, einlaufdicke, auslaufdicke):
50         self.h_0 = einlaufdicke           # Einlaufdicke des Walzgutes [mm]
51         self.h_1 = auslaufdicke           # Auslaufdicke des Walzgutes [mm]
52
53         delta_h = self.h_0 - self.h_1      # Höhenabnahme des Walzgutes [mm]
54         l_d = np.sqrt(self.r*delta_h - delta_h**2/4)    # Gedrückte Länge [mm]
55         print("Gedrückte Länge l_d = " + str(round(l_d,3)) + "mm")
56
57         return l_d
58
59     def greifwinkel(self, einlaufdicke, auslaufdicke):
60         self.h_0 = einlaufdicke           # Einlaufdicke des Walzgutes [mm]
61         self.h_1 = auslaufdicke           # Auslaufdicke des Walzgutes [mm]
62
63         l_d = Berechnung().gedruckte_lange(self.h_0, self.h_1)    # Gedrückte Länge [mm]
64         alpha_0 = np.arctan(l_d/self.r)*180/np.pi    # Greifwinkel [°]
65         print("Maximaler Greifwinkel alpha_0 = " + str(round(alpha_0, 3)) + "°")
66
67         return alpha_0
68
69     def maximale_dickenabnahme(self):
70         delta_h_max = self.reibungskoeffizient**2*self.r    # Maximale Dickenabnahme des Walzgutes [mm]
71         print("Maximale Dickenabnahme delta_h_max = " + str(round(delta_h_max, 3)) + "mm")
72
73         return delta_h_max

```

```
74
75 def geruestmodul(self, all_data):
76     self.all_data = all_data
77     s = [] # Walzspalthe [mm]
78     F_ges = [] # Walzkraft [N]
79
80     for line in self.all_data:
81         s.append(line[1])
82         F_ges.append(line[2] + line[3])
83
84     # Polynom durch Datenpunkte von s und F_ges:
85     poly_coeff = np.polyfit(s, F_ges, 1) # Grad = 1, linear
86     s_new = np.linspace(min(s), max(s), 100) # Inkrementierung der Walzspalthe
87     F_ges_new = np.polyval(poly_coeff) # Gerüstkenlinie als Polynom
88
89     delta_F = F_ges_new[1] # Steigung der Gerüstkenlinie [-]
90     delta_s = max(s) - min(s) # Differenz der min. und max. Walzspalthe [mm]
91     C = delta_F*10**-3/delta_s # Gerüstmodul [kN/mm]
92
93     #print(F_ges_new)
94     #print(delta_F)
95     #print(delta_s)
96     print("Gerüstmodul C = " + str(round(C, 3)) + "kN/mm")
97     print("Auffederung 1/C = " + str(round(1/C, 3)) + "mm/kN")
98
99     return C
100
```

## Anhang B6: Quellcode „diagramme.py“

```

1  import numpy as np
2  import matplotlib.pyplot as plt
3  from module import zeitschritte
4
5  # -----
6  # Name: Marcel Sorger
7  # Datum der Letzten Änderung: 15.07.2020
8  # Version: PyCharm Community Edition 2019.3.4
9
10 # Beschreibung:
11 # Standardformat().diagramm(self, x_data, y_data, title, x_label, y_label, legend_label):
12 #   Definiert die Standardformatierung (z.B. Liniefarbe, Achsenbeschriftung) eines Diagrammes.
13
14 # Diagramme(all_data).diagramm_kraft():
15 #   Liefert je ein Diagramm der beiden Kraftmessdosen.
16
17 # Diagramme(all_data).diagramm_handradwinkel():
18 #   Liefert ein Diagramm des gemessenen Handradwinkels.
19
20 # Diagramme(all_data).diagramm_all():
21 #   Liefert ein Diagramm der beiden Kraftmessdosen, der Größe des Walzspaltes und des Handradwinkels/Einstellwinkels.
22
23 # Geruestkennlinie(all_data).geruestkennlinie():
24 #   Liefert ein Diagramm der Gerüstkennlinie (Walzspaltgröße bzw. Auffederung über Walzkraft).
25
26 # -----
27
28 # Dateneingang:
29 #   |Zeit|Auffed|F.Li|f.re|Winkel|
30 #   0   1   2   3   4
31
32 class Standardformat():
33     def __init__(self):
34         pass
35
36     def diagramm(self, x_data, y_data, title, x_label, y_label, legend_label):
37         fig = plt.figure()
38         ax = fig.add_subplot(1, 1, 1)
39
40         ax.set_axisbelow(True)
41         ax.xaxis.grid(color='gray', linestyle='dashed')
42         ax.yaxis.grid(color='gray', linestyle='dashed')
43
44         plt.title(title, fontsize=20)
45         plt.xlabel(x_label, fontsize=16)
46         plt.ylabel(y_label, fontsize=16)
47         plt.tick_params(axis='x', labelsize=14)
48         plt.tick_params(axis='y', labelsize=14)
49
50         plt.scatter(x_data, y_data, color='r', zorder=1)
51         plt.plot(x_data, y_data, color='b', zorder=2, label=legend_label)
52         plt.legend(loc="upper left")
53
54
55 class Diagramme():
56     def __init__(self, all_data):
57         self.all_data = all_data
58
59     def diagramm_kraft(self):
60         t = []
61         F_li = []
62         F_re = []
63         for line in self.all_data:
64             t.append(line[0])
65             F_li.append(line[2])
66             F_re.append(line[3])
67         Standardformat().diagramm(t, F_li, "Walzenkraft-Zeit", "Zeit t [s]", "Kraft F [N]", "Kraft links")
68         Standardformat().diagramm(t, F_re, "Walzenkraft-Zeit", "Zeit t [s]", "Kraft F [N]", "Kraft rechts")
69         plt.show()
70
71     return [t, F_li, F_re]
72

```

```

73 def diagramm_zahnradwinkel(self):
74     d_1 = 264      # Durchmesser des Zahnradkontaktkreises mit dem Reibrad      [mm]
75     d_2 = 52      # Durchmesser des Reibrades                                [mm]
76     z_1 = 58      # Zähnezahl des Zahnrades zur Walzspaltverstellung          [-]
77     z_2 = 13      # Zähnezahl des Zahnrades des Handrades                    [-]
78     i = d_1 / d_2 # Übersetzung zwischen Zahnradkontaktkreis und Reibrad     [-]
79
80     t = []
81     alpha = []
82     for line in self.all_data:
83         t.append(line[0])
84         alpha.append(line[4]/i)
85
86     Standardformat().diagramm(t, alpha, "Zahnradwinkel-Zeit", "Zeit t [s]", "Zahnradwinkel [°]", "Handradwinkel")
87     plt.show()
88
89     return [t, alpha]
90
91
92 def diagramm_all(self):
93     # Kräfte
94     fig = plt.figure()
95     ax1 = fig.add_subplot(2,1,1)
96     ax1.set_axisbelow(True)
97     ax1.xaxis.grid(color='gray', linestyle='dashed')
98     ax1.yaxis.grid(color='gray', linestyle='dashed')
99     ax1.set_title("Walzenkraft-Zeit", fontsize=20)
100    ax1.set_xlabel("Zeit t [s]", fontsize=16)
101    ax1.set_ylabel("Kraft F [N]", fontsize=16)
102    ax1.tick_params(axis='x', labelsize=14)
103    ax1.tick_params(axis='y', labelsize=14)
104
105    t = []
106    F_li = []
107    F_re = []
108    for line in self.all_data:
109        t.append(line[0])
110        F_li.append(line[2])
111        F_re.append(line[3])
112    ax1.scatter(t, F_li, color='r', zorder=1)
113    ax1.plot(t, F_li, color='b', zorder=2, label="Kraft links")
114    ax1.scatter(t, F_re, color='r', zorder=1)
115    ax1.plot(t, F_re, color='orange', zorder=2, label="Kraft rechts")
116    ax1.legend(loc="upper left")
117
118    # Walzspalthöhe:
119    ax2 = fig.add_subplot(2,2,3)
120    ax2.set_axisbelow(True)
121    ax2.xaxis.grid(color='gray', linestyle='dashed')
122    ax2.yaxis.grid(color='gray', linestyle='dashed')
123    ax2.set_title("Walzspalthöhe-Zeit", fontsize=20)
124    ax2.set_xlabel("Zeit t [s]", fontsize=16)
125    ax2.set_ylabel("Walzspalthöhe s [mm]", fontsize=16)
126    ax2.tick_params(axis='x', labelsize=14)
127    ax2.tick_params(axis='y', labelsize=14)
128
129    s = []
130    for line in self.all_data:
131        s.append(line[1])
132    ax2.scatter(t, s, color='r', zorder=1)
133    ax2.plot(t, s, color='b', zorder=2, label="Walzspalthöhe")
134    ax2.legend(loc="upper left")
135
136    # Zahnradwinkel:
137    ax3 = fig.add_subplot(2,2,4)
138    ax3.set_axisbelow(True)
139    ax3.xaxis.grid(color='gray', linestyle='dashed')
140    ax3.yaxis.grid(color='gray', linestyle='dashed')
141    ax3.set_title("Zahnradwinkel-Zeit", fontsize=20)
142    ax3.set_xlabel("Zeit t [s]", fontsize=16)
143    ax3.set_ylabel("Zahnradwinkel [°]", fontsize=16)
144    ax3.tick_params(axis='x', labelsize=14)
145    ax3.tick_params(axis='y', labelsize=14)
146

```

```

147     d_1 = 264 # Durchmesser des Zahnradkontaktkreises mit dem Reibrad [mm]
148     d_2 = 52  # Durchmesser des Reibrades [mm]
149     z_1 = 58  # Zähnezahl des Zahnrades zur Walzspaltverstellung [-]
150     z_2 = 13  # Zähnezahl des Zahnrades des Handrades [-]
151     i = d_1/d_2 # Übersetzung zwischen Zahnradkontaktkreis und Reibrad [-]
152
153     alpha = []
154     for line in self.all_data:
155         alpha.append(line[4]/i)
156     ax3.scatter(t, alpha, color='r', zorder=1)
157     ax3.plot(t, alpha, color='b', zorder=2, label="Zahnradwinkel")
158     ax3.legend(loc="upper left")
159     plt.show()
160
161     return [t, F_li, F_re, s, alpha]
162
163
164 class Geruestkennlinie():
165     def __init__(self, all_data):
166         self.all_data = all_data
167
168     def geruestkennlinie(self):
169         s = []
170         F_ges = []
171
172         for line in self.all_data:
173             s.append(line[1])
174             F_ges.append(line[2]+line[3])
175
176         # Polynom durch Datenpunkte von s und F_ges:
177         poly_coeff = np.polyfit(s, F_ges, 1) # Grad = 1, anpassbar
178         s_new = np.linspace(min(s), max(s), 100)
179         F_ges_new = np.poly1d(poly_coeff)
180
181         fig = plt.figure()
182         ax = fig.add_subplot(1, 1, 1)
183         ax.set_axisbelow(True)
184         ax.xaxis.grid(color='gray', linestyle='dashed')
185         ax.yaxis.grid(color='gray', linestyle='dashed')
186
187         plt.title("Gerüstkennlinie", fontsize=20)
188         plt.xlabel("Walzspalt s [mm]", fontsize=16)
189         plt.ylabel("Walzkraft F_ges [N]", fontsize=16)
190         plt.tick_params(axis='x', labelsize=14)
191         plt.tick_params(axis='y', labelsize=14)
192         plt.scatter(s, F_ges, color='r', zorder=1)
193         plt.plot(s_new, F_ges_new(s_new), color='b', zorder=2, label="Gerüstkennlinie")
194         plt.legend(loc="upper left")
195         plt.show()
196
197         return [s, F_ges]
198

```

## Anhang B7: Quellcode „walzspaltzustellung.py“

```
1 import numpy as np
2
3 # -----
4 # Name: Marcel Sorger
5 # Datum der Letzten Änderung: 15.07.2020
6 # Version: PyCharm Community Edition 2019.3.4
7
8 # Beschreibung:
9 # Zustellung().get_auffederung(all_data):
10 # Gibt aus dem Datensatz "all_data", welcher alle Sensordaten enthält, die Walzspaltöffnung s_0 und die Auslaufdicke
11 # h_1 des Walzuges zurück.
12
13 # # Zustellung().get_auffederung(all_data):
14 # Gibt über eine Umrechnung von Maschinenparametern (Übersetzung) die aufgrund der Auffederung notwendige
15 # Nachstellung in Grad und Umdrehungen zurück.
16
17 # -----
18
19 class Zustellung():
20     def __init__(self, all_data):
21         self.all_data = all_data
22
23     def get_auffederung(self):
24         s_0 = np.inf # Walzspaltöffnung des Gerüsts [mm]
25         h_1 = 0 # Auslaufdicke des Walzgutes bzw. Walzspalt mit Auffederung [mm]
26         for line in self.all_data:
27             if line[1] <= s_0:
28                 s_0 = line[1]
29             elif line[1] > h_1:
30                 h_1 = line[1]
31             else:
32                 pass
33         #print(s_0, h_1)
34
35         return s_0, h_1
36
37     def zustellung(self):
38         # 360 Grad Drehung des Handrades entsprechen 12,5 Zähnen, 1 Zahn entspricht 0,07mm Zustellung
39         s_0, h_1 = Zustellung(self.all_data).get_auffederung()
40         delta_h = h_1 - s_0 # Zustellung [mm]
41         z_360 = 12.5 # Anzahl der Zähne bei 360° Drehung
42
43         z = delta_h*1/0.07 # Anzahl Zähne zur Zustellung um delta_h (1 Zahn = 0.07mm)
44         alpha = round(360*z/z_360, 2) # Notwendige Drehung [°] zur Zustellung um delta_h
45         umdrehungen = round(alpha*np.pi/180, 2)
46
47         print("Notwendige Drehung der Zustellung: " + str(alpha) + "° (entspricht " + str(umdrehungen) + " Umdrehungen)")
48
49         return alpha
50
```

## Anhang C: Implementierter Python-Code basierend auf Konzept 2

Dem folgenden Anhang kann der Quellcode, welcher implementiert wurde, entnommen werden.

### Anhang C1: Quellcode „skript.py“

```
1 import os
2 from module import neues_projekt
3 from module import sensordata
4 from module import diagramme
5 from module import zeitschritte
6 from module import walzspaltzustellung
7 from module import berechnung
8
9 # -----
10 # Name: Marcel Sorger
11 # Datum der Letzten Änderung: 07.09.2020
12 # Version: PyCharm Community Edition 2019.3.4
13
14 # Beschreibung:
15 # Ablauf des Skripts:
16 # 1.) Neues Projekt erstellen mit Modul "create_new_project"
17 # 2.) Sensordaten mit Modul "sensordata" einlesen --> Output: all_data
18 # 3.) Auswahl der Zeitschritte mit Modul "zeitschritte"
19 # 4.) Berechnung ausgewählter Größen
20 # 5.) Auswertung aller Diagramme durch das Modul "diagramme"
21 # 6.) Zustellung des Walzspaltes durch das Modul "walzspaltzustellung"
22
23 # -----
24
25 # 1.) neues_projekt
26 projekt = "Walzen 1.0038"
27 neues_projekt.Neues_Projekt(projekt).anlegen()
28 projektname = neues_projekt.Neues_Projekt.get_projektname()
29 #print(projektname)
30
31 # 2.) sensordata
32 all_data = sensordata.CsvReader().read() # all_data = [t1 z1 z2 z3 z4] = [t1 Auff. Kraft1 Kraft2 Winkel]
33 sensordata.CsvWriter().export_all()
34 sensordata.CsvWriter().export_summary()
35 #print(all_data)
36
37 # 3.) zeitschritte
38 t_all = zeitschritte.Zeitinkremente(all_data).get_timesteps()
39 #print("Alle Zeitschritte t_all = " + str(t_all))
40
41 # 4.) berechnung
42 h_0 = 10 # Einlaufdicke des Walzgutes [mm]
43 h_1 = 8 # Auslaufdicke des Walzgutes [mm]
44
45 berechnung.Berechnung().gedrueckte_lange(h_0, h_1)
46 berechnung.Berechnung().greifwinkel(h_0, h_1)
47 berechnung.Berechnung().maximale_dickenabnahme()
48 berechnung.Berechnung().geruestmodul(all_data)
49
50 # 5.) diagramme
51 diagramme.Geruestkennlinie(all_data).geruestkennlinie()
52 diagramme.Diagramme(all_data).diagramm_kraft()
53 diagramme.Diagramme(all_data).diagramm_zahnradwinkel()
54 diagramme.Diagramme(all_data).diagramm_all()
55
56 # 6.) walzspaltzustellung
57 alpha = walzspaltzustellung.Zustellung(all_data).zustellung()
58 #print(alpha)
59
```

## Anhang C2: Quellcode „neues\_projekt.py“

```
1 import os
2 from time import strftime, localtime
3
4 # -----
5 # Name: Marcel Sorger
6 # Datum der Letzten Änderung: 15.07.2020
7 # Version: PyCharm Community Edition 2019.3.4
8
9 # Beschreibung:
10 # NewProject().new_folder()
11 # Anlegen eines Projektordner auf einem vordefinierten Pfad mit einem vom Benutzer festgelegten Projektnamen.
12 # Der Unterordner für die exportieren csv-Daten (aus dem Modul 'sensordata') wird automatisch angelegt.
13
14 # NewProject().new_folder()
15 # Gibt den Projektordnernamen zurück.
16
17 # -----
18
19 class Neues_Projekt():
20     def __init__(self, projekt):
21         self.projekt = projekt
22
23     def anlegen(self):
24         projektname = self.projekt
25         date = strftime("%Y-%m-%d [%H-%M-%S]", localtime()) # Datum + Zeit zum Zeitpunkt des Erstellens
26         global ordnername
27         ordnername = date + " - " + projektname # gesamter Projektordnername
28
29         #path = "./test_projects/" + ordnername # Pfad in dem der Projektordner angelegt werden soll
30         path = "L:/010_LUT/Digitalisierung/Walzwerk/Versuche"
31
32         if not os.path.exists(path):
33             os.makedirs(path) # Erstellen des Projektordners
34             print("Projektordner " + ordnername + " wurde angelegt")
35         else:
36             print("Projektordner " + ordnername + " existiert bereits")
37
38         os.makedirs(path + "/csv-data") # Unterordner für exportierte csv-Dateien der Sensoren
39
40     def get_projektname():
41         return ordnername
42
```

## Anhang C3: Quellcode „sensordata.py“

```

1  import csv
2  import os
3  from module import neues_projekt
4  from shutil import copyfile
5  import numpy as np
6  from glob import glob
7
8  # -----
9  # Name: Marcel Sorger
10 # Datum der Letzten Änderung: 06.09.2020
11 # Version: PyCharm Community Edition 2019.3.4
12
13 # Beschreibung:
14 # CsvReader().read()
15 #   Lesen der csv-Dateien der Sensoren und Ausgabe einer Liste im Format [[Zeit1, Sensor1, ..., Sensor 4], [...]]
16
17 # CsvWriter().export_all()
18 #   Exportieren aller csv-Dateien der Sensoren in den Projektordner in den Unterordner 'csv-data'
19
20 # CsvWriter().export_summary()
21 #   Exportieren einer Sammlung aller csv-Dateien der Sensoren als eine einzelne csv-Datei in den Projektordner
22 #   in den Unterordner 'csv-data'
23
24 # -----
25
26 class CsvReader():
27     def __init__(self):
28         pass
29
30     def read(self):
31         # Anlegen der Datensätze:
32         global data_all_sensors
33         data_all_sensors = []
34         global data_all_sensors_transposed
35         data_all_sensors_transposed = []
36
37
38         # Festlegen des Ordners in dem die Messdaten der Sensoren abgelegt werden:
39         #pfad_absolut = "D:/Uni/Master/Master-Arbeit/Arbeit/Python Implementiert/sensordata"
40         global pfad_absolut
41         pfad_absolut = "L:/010_LUT/Digitalisierung/Walzwerk/2020/September"
42         number_files = len(os.listdir(pfad_absolut)) # WICHTIG! Pfad relativ zum ausführenden Skript (script.py)!
43         #print(number_files)
44
45
46         # Auslesen der Files in diesem Ordner:
47         filenames = sorted(os.listdir(pfad_absolut)) # Namen der Files in alphabetischer Reihenfolge
48         #print(filenames)
49         newest_files = filenames[number_files-4:number_files] # Namen der neuesten (vier Letzten) Files
50         #print(newest_files)
51         newest_files = [newest_files[3], newest_files[1], newest_files[2], newest_files[0]] # Neuordnung zum Auslesen
52         #print(newest_files)
53
54         # Aufbau der zu Lesenden csv-Dateien:   Zeit, Channel 1, Channel 2, ..., Channel n
55         #                                         (eine Zeile entspricht einem Interval von 1 Sekunde)
56         # Aufbau der erzeugten csv-Datei:       Zeit; Sensor1; Sensor2; Sensor3; Sensor 4
57         # Aufbau der erzeugten Liste:          [[Zeit1, Sensor1, Sensor2, Sensor3, Sensor 4],
58         # (data_all_sensors_transposed)        [Zeit2, Sensor1, Sensor2, Sensor3, Sensor 4]]
59
60
61         # Einlesen der Zeitschritte aus dem ersten File aus newest_files:
62         with open(str(pfad_absolut) + "/" + str(newest_files[0]), "r", newline='', encoding='utf-8') as file:
63             reader_timesteps = csv.reader(file, delimiter=',', quotechar='|')
64
65             content_file = [] # Auslesen des ersten Files
66             for row in reader_timesteps:
67                 content_file.append(row)
68             #print(content_file)
69
70         global start_time
71         start_time = (content_file[1][0]) # Startzeit des Versuchs (Jahr-Monat-Tag Stunde-Minute-Sekunde)
72
73         timesteps_per_second = len(content_file[0])-1 # Zeitschritte pro Sekunde (-1 -> ohne Zeitspalte)
74         timesteps = len(content_file)-1 # Gesamtzeit (eine Zeile entspricht 1s, -1 -> ohne Header)
75         #print(timesteps_per_second)
76         #print(timesteps)

```

```

77
78     total_time = []                                     # Alle Zeitschritte des Prozesses in Sekunden
79     for i in range(0, timesteps):
80         for j in range(0, timesteps_per_second):
81             t = i+j/timesteps_per_second
82             total_time.append(round(t,5))
83     #print(total_time)
84     data_all_sensors.append(total_time)
85
86
87     # Einlesen der Sensordaten:
88     for file in newest_files:
89         data_sensor = []
90         with open (str(pfad_absolut) + "/" + str(file), "r", newline='', encoding='utf-8') as file:
91             reader_data = csv.reader(file, delimiter=',', quotechar='|')
92             next(reader_data)                             # Überspringen der Kopfzeile
93
94             for row in reader_data:                       # Auslesen aller Reihen
95                 for datapoint in row[1:]:                 # Auslesen aller Datenpunkte einer Reihe (bis auf Zeit)
96                     data_sensor.append(float(datapoint))
97
98             data_all_sensors.append(data_sensor)
99
100     #print(Len(data_all_sensors[0]), Len(data_all_sensors[1]), Len(data_all_sensors[2]), Len(data_all_sensors[3]),
101           # Len(data_all_sensors[4])) # Überprüfen der Dimensionen der Daten -> alle Länge müssen gleich sein
102
103     data_all_sensors_transposed = np.transpose(data_all_sensors) # Transponieren auf oben erwähnte Datenstruktur
104     #print(data_all_sensors_transposed)
105
106     return data_all_sensors_transposed
107
108
109 class CsvWriter():
110     def __init__(self):
111         pass
112
113     def export_all(self):
114         number_files = len(os.listdir(pfad_absolut))      # Anzahl der Files im Ordner
115         filenames = sorted(os.listdir(pfad_absolut))     # Namen der Files in alphabetischer Reihenfolge
116         newest_files = filenames[number_files-4:number_files] # Namen der neuesten (vier Letzten) Files
117
118         for file in newest_files:
119             csv_filename = file
120             foldername = neues_projekt.Neues_Projekt.get_projektname()
121
122             source = pfad_absolut + "/" + csv_filename
123             destination = "test_projects/" + foldername + "/csv-data/" + csv_filename
124
125             copyfile(source, destination)
126
127         print("Export aller .csv-Dateien in den Projektordner '" + foldername + "' erfolgreich")
128
129
130     def export_summary(self):
131         csv_data = CsvReader().read()
132
133         csv_filename = "data_sensors_summary.csv"
134         foldername = neues_projekt.Neues_Projekt.get_projektname()
135
136         with open("test_projects/" + foldername + "/csv-data/" + csv_filename, "w", newline='', encoding='utf-8') as file:
137             writer = csv.writer(file, delimiter=';', quotechar='|')
138
139             header = ["Zeit", "Linearpotentiometer", "KMD_links", "KMD_rechts", "Winkel"]
140             writer.writerow(header)
141
142             # Reihen auf Spalten transponieren
143             for line in data_all_sensors_transposed:
144                 writer.writerow(line)
145
146         print("Export der Sammlung aller .csv-Dateien in den Projektordner '" + foldername + "' erfolgreich")

```

## Anhang C4: Quellcode „zeitschritte.py“

```
1 import numpy as np
2
3 # -----
4 # Name: Marcel Sorger
5 # Datum der Letzten Änderung: 06.09.2020
6 # Version: PyCharm Community Edition 2019.3.4
7
8 # Beschreibung:
9 # Zeitinkremente(all_data).get_timesteps()
10 # Gibt aus dem Datensatz "all_data", welcher alle Sensordaten enthält, alle Zeitschritte zurück.
11
12 # -----
13
14 class Zeitinkremente():
15     def __init__(self, all_data):
16         self.all_data = all_data
17
18     def get_timesteps(self):          # Erstellen einer Liste, die jeden Zeitschritt (nur) einmal enthält.
19         timesteps = []              # Erstellen einer Leeren Liste für die Zeitschritte
20         for line in self.all_data:  # Auslesen der Zeitschritte aus dem Datensatz
21             if line[0] not in timesteps:
22                 timesteps.append(line[0])
23             else:
24                 pass
25
26         return timesteps
27
```

## Anhang C5: Quellcode „berechnung.py“

```

1  import numpy as np
2
3  # -----
4  # Name: Marcel Sorger
5  # Datum der Letzten Änderung: 06.09.2020
6  # Version: PyCharm Community Edition 2019.3.4
7
8  # Beschreibung:
9  # Vorbereitung(walzendurchmesser, ballenlaenge, e_modul, kraft).durchbiegung():
10     # Gibt die maximale Durchbiegung w_max der Walze in z-Richtung zurück.
11
12 # Berechnung().gedrueckte_laenge(einlaufdicke, auslaufdicke):
13     # Gibt die gedrückte Länge l_d in Abhängigkeit der von Einlaufdicke h_0 und der Auslaufdicke h_1 des Walzgutes
14     # zurück.
15
16 # Berechnung().greifwinkel(einlaufdicke, auslaufdicke):
17     # Gibt den max. Greifwinkel alpha_0 zurück, der benötigt wird um das Walzgut einzuziehen.
18
19 # Berechnung().maximale_dickenabnahme():
20     # Gibt die maximale Dickenabnahme delta_h_max des Walzgutes zurück.
21
22 # Berechnung().geruestmodul(all_data):
23     # Gibt den Gerüstmodul C des Walzwerkes zurück. Dabei wird der Datensatz "all_data", die alle Sensordaten enthalten,
24     # übergeben und daraus das Gerüstmodul C berechnet.
25
26 # -----
27
28 class Vorbereitung():
29     def __init__(self, walzendurchmesser, ballenlaenge, e_modul, kraft):
30         self.d = walzendurchmesser # Walzendurchmesser [mm]
31         self.l = ballenlaenge # Ballenlänge der Walze [mm]
32         self.E = e_modul # E-Modul des Walzenwerkstoffes (Werkzeugstahl)[N/mm²]
33         self.F = kraft # Walzkraft [N]
34
35     def durchbiegung(self):
36         I = self.d**4*np.pi/64 # Flächenträgheitsmoment der Walze [mm^4]
37         w_max = (self.F*self.l**3)/(48*self.E*I) # Maximale Durchbiegung in der Mitte der Walze [mm]
38         w_max = round(w_max, 4)
39         print("Max. Durchbiegung in z = " + str(w_max) + " mm (= " + str(w_max*10**3) + " \u03BCm)")
40
41         return w_max
42
43
44 class Berechnung():
45     def __init__(self):
46         self.r = 203/2 # Walzenradius [mm]
47         self.reibungskoeffizient = 0.2 # Reibungskoeffizient zwischen Walzgut und Walze [-]
48
49     def gedruckte_laenge(self, einlaufdicke, auslaufdicke):
50         self.h_0 = einlaufdicke # Einlaufdicke des Walzgutes [mm]
51         self.h_1 = auslaufdicke # Auslaufdicke des Walzgutes [mm]
52
53         delta_h = self.h_0 - self.h_1 # Höhenabnahme des Walzgutes [mm]
54         l_d = np.sqrt(self.r*delta_h - delta_h**2/4) # Gedrückte Länge [mm]
55         print("Gedrückte Länge l_d = " + str(round(l_d,3)) + "mm")
56
57         return l_d
58
59     def greifwinkel(self, einlaufdicke, auslaufdicke):
60         self.h_0 = einlaufdicke # Einlaufdicke des Walzgutes [mm]
61         self.h_1 = auslaufdicke # Auslaufdicke des Walzgutes [mm]
62
63         l_d = Berechnung().gedruckte_laenge(self.h_0, self.h_1) # Gedrückte Länge [mm]
64         alpha_0 = np.arctan(l_d/self.r)*180/np.pi # Greifwinkel [°]
65         print("Maximaler Greifwinkel alpha_0 = " + str(round(alpha_0, 3)) + "°")
66
67         return alpha_0
68
69     def maximale_dickenabnahme(self):
70         delta_h_max = self.reibungskoeffizient**2*self.r # Maximale Dickenabnahme des Walzgutes [mm]
71         print("Maximale Dickenabnahme delta_h_max = " + str(round(delta_h_max, 3)) + "mm")
72
73         return delta_h_max

```

```
74
75 def geruestmodul(self, all_data):
76     self.all_data = all_data
77     s = []                                # Walzspalhöhe [mm]
78     F_ges = []                            # Walzkraft [N]
79
80     for line in self.all_data:
81         s.append(float(line[1]))
82         F_ges.append(float(line[2]) + float(line[3]))
83
84     # Polynom durch Datenpunkte von s und F ges:
85     poly_coeff = np.polyfit(s, F_ges, 1)   # Grad = 1, Linear
86     s_new = np.linspace(min(s), max(s), 100) # Inkrementierung der Walzspalhöhe
87     F_ges_new = np.poly1d(poly_coeff)      # Gerüstkennlinie als Polynom
88
89     delta_F = F_ges_new[1]                # Steigung der Gerüstkennlinie [-]
90     delta_s = max(s) - min(s)             # Differenz der min. und max. Walzspalhöhen [mm]
91     C = delta_F*10**-3/delta_s            # Gerüstmodul [kN/mm]
92
93     #print(F_ges_new)
94     #print(delta_F)
95     #print(delta_s)
96     print("Gerüstmodul C = " + str(round(C, 3)) + "kN/mm")
97     print("Auffederung 1/C = " + str(round(1/C, 3)) + "mm/kN")
98
99     return C
100
```

## Anhang C6: Quellcode „diagramme.py“

```

1  import numpy as np
2  import matplotlib.pyplot as plt
3  from module import zeitschritte
4
5  # -----
6  # Name: Marcel Sorger
7  # Datum der Letzten Änderung: 06.09.2020
8  # Version: PyCharm Community Edition 2019.3.4
9
10 # Beschreibung:
11 # Standardformat().diagramm(self, x_data, y_data, title, x_label, y_label, legend_label):
12 #   Definiert die Standardformatierung (z.B. Liniefarbe, Achsenbeschriftung) eines Diagrammes.
13
14 # Diagramme(all_data).diagramm_kraft():
15 #   Liefert je ein Diagramm der beiden Kraftmessdosen.
16
17 # Diagramme(all_data).diagramm_handradwinkel():
18 #   Liefert ein Diagramm des gemessenen Handradwinkels.
19
20 # Diagramme(all_data).diagramm_all():
21 #   Liefert ein Diagramm der beiden Kraftmessdosen, der Größe des Walzspaltes und des Handradwinkels/Einstellwinkels.
22
23 # Geruestkennlinie(all_data).geruestkennlinie():
24 #   Liefert ein Diagramm der Gerüstkennlinie (Walzspaltgröße bzw. Auffederung über Walzkraft).
25
26 # -----
27
28 # Dateneingang:
29 #   |Zeit|Auffed|F.Li|f.re|Winkel|
30 #   | 0  | 1  | 2  | 3  | 4  |
31
32 class Standardformat():
33     def __init__(self):
34         pass
35
36     def diagramm(self, x_data, y_data, title, x_label, y_label, legend_label):
37         fig = plt.figure()
38         ax = fig.add_subplot(1, 1, 1)
39
40         ax.set_axisbelow(True)
41         ax.xaxis.grid(color='gray', linestyle='dashed')
42         ax.yaxis.grid(color='gray', linestyle='dashed')
43
44         plt.title(title)
45         plt.xlabel(x_label)
46         plt.ylabel(y_label)
47
48         plt.scatter(x_data, y_data, color='r', zorder=1)
49         plt.plot(x_data, y_data, color='b', zorder=2, label=legend_label)
50         plt.legend(loc="upper left")
51
52
53 class Diagramme():
54     def __init__(self, all_data):
55         self.all_data = all_data
56
57     def diagramm_kraft(self):
58         t = []
59         F_li = []
60         F_re = []
61         for line in self.all_data:
62             t.append(line[0])
63             F_li.append(line[2])
64             F_re.append(line[3])
65
66         t_arr = np.array(t, dtype=object) # Numpy-Array der Zeitschritte
67         F_li_arr = np.array(F_li, dtype=object) # Numpy-Array der Kräfte links
68         F_re_arr = np.array(F_re, dtype=object) # Numpy-Array der Kräfte rechts
69         bool_arr_F_li = F_li_arr > 0.01 # Int-Bool um Datenpunkte kleiner 0.01 zu filtern
70         bool_arr_F_re = F_re_arr > 0.01 # Int-Bool um Datenpunkte kleiner 0.01 zu filtern
71
72         #print(Len(t_arr[bool_arr_F_li]), Len(F_li_arr[bool_arr_F_li]))
73         #print(Len(t_arr[bool_arr_F_re]), Len(F_re_arr[bool_arr_F_re]))
74

```

```

75     Standardformat().diagramm(t_arr[bool_arr_F_li], F_li_arr[bool_arr_F_li], "Walzenkraft-Zeit", "Zeit t [s]",
76                               "Kraft F [N]", "Kraft links")
77     Standardformat().diagramm(t_arr[bool_arr_F_re], F_re_arr[bool_arr_F_re], "Walzenkraft-Zeit", "Zeit t [s]",
78                               "Kraft F [N]", "Kraft rechts")
79     plt.show()
80
81     return [t, F_li, F_re]
82
83     def diagramm_zahnradwinkel(self):
84         t = []
85         alpha = []
86         for line in self.all_data:
87             t.append(line[0])
88             alpha.append(line[4])
89
90         d_1 = 264 # Durchmesser des Zahnradkontaktkreises mit dem Reibrad [mm]
91         d_2 = 52  # Durchmesser des Reibrades [mm]
92         z_1 = 58  # Zähnezahl des Zahnrades zur Walzspaltverstellung [-]
93         z_2 = 13  # Zähnezahl des Zahnrades des Handrades [-]
94         i = d_1/d_2 # Übersetzung zwischen Zahnradkontaktkreis und Reibrad [-]
95
96         t_arr = np.array(t, dtype=object) # Numpy-Array der Zeitschritte
97         alpha_arr = np.array(alpha, dtype=object) # Numpy-Array des Zahnradwinkels
98         bool_arr_alpha = alpha_arr > 0.1 # Int-Bool um Datenpunkte kleiner 1 zu filtern
99
100        Standardformat().diagramm(t_arr[bool_arr_alpha], alpha_arr[bool_arr_alpha]/i, "Zahnradwinkel-Zeit",
101                                   "Zeit t [s]", "Zahnradwinkel [°]", "Handradwinkel")
102        plt.show()
103
104        return [t, alpha]
105
106
107    def diagramm_all(self):
108        # Kräfte
109        fig = plt.figure()
110        ax1 = fig.add_subplot(2,1,1)
111        ax1.set_axisbelow(True)
112        ax1.xaxis.grid(color='gray', linestyle='dashed')
113        ax1.yaxis.grid(color='gray', linestyle='dashed')
114        ax1.set_title("Walzenkraft-Zeit")
115        ax1.set_xlabel("Zeit t [s]")
116        ax1.set_ylabel("Kraft F [N]")
117
118        t = []
119        F_li = []
120        F_re = []
121        for line in self.all_data:
122            t.append(line[0])
123            F_li.append(line[2])
124            F_re.append(line[3])
125
126        t_arr = np.array(t, dtype=object) # Numpy-Array der Zeitschritte
127        F_li_arr = np.array(F_li, dtype=object) # Numpy-Array der Kräfte links
128        F_re_arr = np.array(F_re, dtype=object) # Numpy-Array der Kräfte rechts
129        bool_arr_F_li = F_li_arr > 1 # Int-Bool um Datenpunkte kleiner 1 zu filtern
130        bool_arr_F_re = F_re_arr > 1 # Int-Bool um Datenpunkte kleiner 1 zu filtern
131
132        ax1.scatter(t_arr[bool_arr_F_li], F_li_arr[bool_arr_F_li], color='r', zorder=1)
133        ax1.plot(t_arr[bool_arr_F_li], F_li_arr[bool_arr_F_li], color='b', zorder=2, label="Kraft links")
134        ax1.scatter(t_arr[bool_arr_F_re], F_re_arr[bool_arr_F_re], color='r', zorder=1)
135        ax1.plot(t_arr[bool_arr_F_re], F_re_arr[bool_arr_F_re], color='orange', zorder=2, label="Kraft rechts")
136        ax1.legend(loc="upper left")
137
138        # Walzspalthöhe:
139        ax2 = fig.add_subplot(2,2,3)
140        ax2.set_axisbelow(True)
141        ax2.xaxis.grid(color='gray', linestyle='dashed')
142        ax2.yaxis.grid(color='gray', linestyle='dashed')
143        ax2.set_title("Walzspalthöhe-Zeit")
144        ax2.set_xlabel("Zeit t [s]")
145        ax2.set_ylabel("Walzspalthöhe s [mm]")
146

```

```

147     s = []
148     for line in self.all_data:
149         s.append(line[1])
150
151     s_arr = np.array(s, dtype=object)      # Numpy-Array des Zahnradwinkels
152     bool_arr_s = s_arr > 0.1             # Int-Bool um Datenpunkte kleiner 0.1 zu filtern
153
154     ax2.scatter(t_arr[bool_arr_s], s_arr[bool_arr_s], color='r', zorder=1)
155     ax2.plot(t_arr[bool_arr_s], s_arr[bool_arr_s], color='b', zorder=2, label="Walzspalthöhe")
156     ax2.legend(loc="upper left")
157
158     # Zahnradwinkel:
159     ax3 = fig.add_subplot(2,2,4)
160     ax3.set_axisbelow(True)
161     ax3.xaxis.grid(color='gray', linestyle='dashed')
162     ax3.yaxis.grid(color='gray', linestyle='dashed')
163     ax3.set_title("Zahnradwinkel-Zeit")
164     ax3.set_xlabel("Zeit t [s]")
165     ax3.set_ylabel("Zahnradwinkel [°]")
166
167     alpha = []
168     for line in self.all_data:
169         alpha.append(line[4])
170
171     alpha_arr = np.array(alpha, dtype=object)      # Numpy-Array des Zahnradwinkels
172     bool_arr_alpha = alpha_arr > 0.1             # Int-Bool um Datenpunkte kleiner 1 zu filtern
173
174     ax3.scatter(t_arr[bool_arr_alpha], alpha_arr[bool_arr_alpha], color='r', zorder=1)
175     ax3.plot(t_arr[bool_arr_alpha], alpha_arr[bool_arr_alpha], color='b', zorder=2, label="Zahnradwinkel")
176     ax3.legend(loc="upper left")
177     plt.show()
178
179     return [t, F_li, F_re, s, alpha]
180
181
182 class Geruestkennlinie():
183     def __init__(self, all_data):
184         self.all_data = all_data
185
186     def geruestkennlinie(self):
187         s = []
188         F_ges = []
189
190         for line in self.all_data:
191             s.append(line[1])
192             F_ges.append(line[2]+line[3])
193
194         s_arr = np.array(s)                # Numpy-Array des Zahnradwinkels
195         F_ges_arr = np.array(F_ges)
196         bool_arr = s_arr > 0.003         # Int-Bool um Datenpunkte kleiner 0.003 zu filtern
197
198         # Polynom durch Datenpunkte von s und F_ges:
199         poly_coeff = np.polyfit(s_arr[bool_arr], F_ges_arr[bool_arr], 1)      # Grad = 1, anpassbar
200         s_new = np.linspace(min(s_arr[bool_arr]), max(s_arr[bool_arr]), 100)
201         F_ges_new = np.poly1d(poly_coeff)
202
203         fig = plt.figure()
204         ax = fig.add_subplot(1, 1, 1)
205         ax.set_axisbelow(True)
206         ax.xaxis.grid(color='gray', linestyle='dashed')
207         ax.yaxis.grid(color='gray', linestyle='dashed')
208
209         plt.title("Gerüstkennlinie")
210         plt.xlabel("Walzspalt s [mm]")
211         plt.ylabel("Walzkraft F_ges [N]")
212         plt.scatter(s, F_ges, color='r', zorder=1)
213         plt.plot(s_new, F_ges_new(s_new), color='b', zorder=2, label="Gerüstkennlinie")
214         plt.legend(loc="upper left")
215         plt.show()
216
217         return [s, F_ges]
218

```

## Anhang C7: Quellcode „walzspaltzustellung.py“

```

1  import numpy as np
2
3  # -----
4  # Name: Marcel Sorger
5  # Datum der letzten Änderung: 15.07.2020
6  # Version: PyCharm Community Edition 2019.3.4
7
8  # Beschreibung:
9  # Zustellung().get_auffederung(all_data):
10     # Gibt aus dem Datensatz "all_data", welcher alle Sensordaten enthält, die Walzspaltöffnung s_0 und die Auslaufdicke
11     # h_1 des Walzuges zurück.
12
13 # # Zustellung().get_auffederung(all_data):
14     # Gibt über eine Umrechnung von Maschinenparametern (Übersetzung) die aufgrund der Auffederung notwendige
15     # Nachstellung in Grad und Umdrehungen zurück.
16
17 # -----
18
19 class Zustellung():
20     def __init__(self, all_data):
21         self.all_data = all_data
22
23     def get_auffederung(self):
24         s_0 = np.inf           # Walzspaltöffnung des Gerüsts [mm]
25         h_1 = 0               # Auslaufdicke des Walzgutes bzw. Walzspalt mit Auffederung [mm]
26         for line in self.all_data:
27             if line[1] <= s_0 and line[1] > 0.001:
28                 s_0 = line[1]
29             elif line[1] > h_1:
30                 h_1 = line[1]
31             else:
32                 pass
33         #print(s_0, h_1)
34
35         return s_0, h_1
36
37     def zustellung(self):
38         # 360 Grad Drehung des Handrades entsprechen 12,5 Zähnen, 1 Zahn entspricht 0,07mm Zustellung
39         s_0, h_1 = Zustellung(self.all_data).get_auffederung()
40         delta_h = h_1 - s_0           # Zustellung [mm]
41         z_360 = 12.5                 # Anzahl der Zähne bei 360° Drehung
42
43         z = delta_h*1/0.07           # Anzahl Zähne zur Zustellung um delta_h (1 Zahn = 0.07mm)
44         alpha = round(360*z/z_360, 2) # Notwendige Drehung [°] zur Zustellung um delta_h
45         umdrehungen = round(alpha*np.pi/180, 2)
46
47         print("Notwendige Drehung der Zustellung: " + str(alpha) + "° (entspricht " + str(umdrehungen) + " Umdrehungen)")
48
49         return alpha
50

```

## Anhang C8: Quellcode „diagramme\_gui.py“

```

1  import numpy as np
2  import matplotlib.pyplot as plt
3  from module import zeitschritte
4
5  # -----
6  # Name: Marcel Sorger
7  # Datum der Letzten Änderung: 23.07.2020
8  # Version: PyCharm Community Edition 2019.3.4
9
10 # Beschreibung:
11 # Diagramme(all_data).kraft():
12 #   Liefert die Daten für die Visualisierung der beiden Kraftmessdosen an das GUI.
13
14 # Diagramme(all_data).handradwinkel():
15 #   Liefert die Daten für die Visualisierung des Handradwinkels an das GUI.
16
17 # Diagramme(all_data).auffederung():
18 #   Liefert die Daten für die Visualisierung der Auffederung an das GUI.
19
20 # Geruestkennlinie(all_data).geruestkennlinie():
21 #   Liefert ein Daten für die Visualisierung der Gerüstkennlinie (Walzspaltgröße bzw. Auffederung über Walzkraft).
22
23 # -----
24
25 # Dateneingang:
26 #   |Zeit|Auffed|F.Li|f.re|Winkel|
27 #   | 0 | 1 | 2 | 3 | 4 |
28
29 class Diagramme():
30     def __init__(self, all_data):
31         self.all_data = all_data
32
33     def kraft(self):
34         t = []
35         F_li = []
36         F_re = []
37         for line in self.all_data:
38             t.append(line[0])
39             F_li.append(line[2])
40             F_re.append(line[3])
41
42         t_arr = np.array(t, dtype=object) # Numpy-Array der Zeitschritte
43         F_li_arr = np.array(F_li, dtype=object) # Numpy-Array der Kräfte links
44         F_re_arr = np.array(F_re, dtype=object) # Numpy-Array der Kräfte rechts
45         bool_arr_F_li = F_li_arr > 0.01 # Int-Bool um Datenpunkte kleiner 1 zu filtern
46         bool_arr_F_re = F_re_arr > 0.01 # Int-Bool um Datenpunkte kleiner 1 zu filtern
47
48         return t_arr[bool_arr_F_li], F_li_arr[bool_arr_F_li], t_arr[bool_arr_F_re], F_re_arr[bool_arr_F_re]
49
50     def zahnradwinkel(self):
51         t = []
52         alpha = []
53         for line in self.all_data:
54             t.append(line[0])
55             alpha.append(line[4])
56
57         d_1 = 264 # Durchmesser des Zahnradkontaktkreises mit dem Reibrad [mm]
58         d_2 = 52 # Durchmesser des Reibrades [mm]
59         z_1 = 58 # Zähnezahl des Zahnrades zur Walzspaltverstellung [-]
60         z_2 = 13 # Zähnezahl des Zahnrades des Handrades [-]
61         i = d_1/d_2 # Übersetzung zwischen Zahnradkontaktkreis und Reibrad [-]
62
63         t_arr = np.array(t, dtype=object) # Numpy-Array der Zeitschritte
64         alpha_arr = np.array(alpha, dtype=object) # Numpy-Array des Zahnradwinkels
65         bool_arr_alpha = alpha_arr > 0.1 # Int-Bool um Datenpunkte kleiner 1 zu filtern
66
67         return t_arr[bool_arr_alpha], alpha_arr[bool_arr_alpha]/i
68
69     def auffederung(self):
70         t = []
71         s = []
72         for line in self.all_data:
73             t.append(line[0])
74             s.append(line[1])
75

```

```

76     t_arr = np.array(t, dtype=object) # Numpy-Array der Zeitschritte
77     s_arr = np.array(s, dtype=object) # Numpy-Array des Zahnradwinkels
78     bool_arr_s = s_arr > 0.1 # Int-Bool um Datenpunkte kleiner 0.1 zu filtern
79
80     return t_arr[bool_arr_s], s_arr[bool_arr_s]
81
82
83 class Geruestkennlinie():
84     def __init__(self, all_data):
85         self.all_data = all_data
86
87     def geruestkennlinie(self):
88         s = []
89         F_ges = []
90
91         for line in self.all_data:
92             s.append(line[1])
93             F_ges.append(line[2]+line[3])
94
95         s_arr = np.array(s) # Numpy-Array des Zahnradwinkels
96         F_ges_arr = np.array(F_ges)
97         bool_arr = s_arr > 0.003 # Int-Bool um Datenpunkte kleiner 0.001 zu filtern
98
99         # Polynom durch Datenpunkte von s und F_ges:
100        poly_coeff = np.polyfit(s_arr[bool_arr], F_ges_arr[bool_arr], 1) # Grad = 1, anpassbar
101        s_new = np.linspace(min(s_arr[bool_arr]), max(s_arr[bool_arr]), 100)
102        F_ges_new = np.poly1d(poly_coeff)
103
104        fig = plt.figure()
105        ax = fig.add_subplot(1, 1, 1)
106        ax.set_axisbelow(True)
107        ax.xaxis.grid(color='gray', linestyle='dashed')
108        ax.yaxis.grid(color='gray', linestyle='dashed')
109
110        plt.title("Gerüstkennlinie")
111        plt.xlabel("Walzspalt s [mm]")
112        plt.ylabel("Walzkraft F_ges [N]")
113        plt.scatter(s, F_ges, color='r', zorder=1)
114        plt.plot(s_new, F_ges_new(s_new), color='b', zorder=2, label="Gerüstkennlinie")
115        plt.legend(loc="upper left")
116        #plt.show()
117
118        return s_arr[bool_arr], F_ges_arr[bool_arr], s_new, F_ges_new
119

```

## Anhang C9: Quellcode „build.py“ (GUI)

```
1  from qtpy import uic
2
3  uic.compileUiDir("gui")
```

## Anhang C10: Quellcode „mainwindow.py“ (GUI)

```

1  # -*- coding: utf-8 -*-
2
3  # Form implementation generated from reading ui file 'gui/mainwindow.ui'
4  #
5  # Created by: PyQt5 UI code generator 5.15.0
6  #
7  # WARNING: Any manual changes made to this file will be lost when pyuic5 is
8  # run again. Do not edit this file unless you know what you are doing.
9
10
11 from PyQt5 import QtCore, QtGui, QtWidgets
12
13
14 class Ui_MainWindow(object):
15     def setupUi(self, MainWindow):
16         MainWindow.setObjectName("MainWindow")
17         MainWindow.resize(1366, 768)
18         self.centralwidget = QtWidgets.QWidget(MainWindow)
19         self.centralwidget.setObjectName("centralwidget")
20         self.gridLayout = QtWidgets.QGridLayout(self.centralwidget)
21         self.gridLayout.setObjectName("gridLayout")
22         spacerItem = QtWidgets.QSpacerItem(2050, 20, QtWidgets.QSizePolicy.Ignored, QtWidgets.QSizePolicy.Minimum)
23         self.gridLayout.addItem(spacerItem, 1, 2, 1, 1)
24         self.verticalLayout = QtWidgets.QVBoxLayout()
25         self.verticalLayout.setObjectName("verticalLayout")
26         self.label = QtWidgets.QLabel(self.centralwidget)
27         font = QtGui.QFont()
28         font.setPointSize(16)
29         font.setBold(True)
30         font.setWeight(75)
31         self.label.setFont(font)
32         self.label.setObjectName("label")
33         self.verticalLayout.addWidget(self.label)
34         self.horizontalLayout_2 = QtWidgets.QHBoxLayout()
35         self.horizontalLayout_2.setObjectName("horizontalLayout_2")
36         self.pfad = QtWidgets.QLabel(self.centralwidget)
37         font = QtGui.QFont()
38         font.setPointSize(13)
39         self.pfad.setFont(font)
40         self.pfad.setScaledContents(True)
41         self.pfad.setObjectName("pfad")
42         self.horizontalLayout_2.addWidget(self.pfad)
43         self.verticalLayout.addLayout(self.horizontalLayout_2)
44         self.projektname = QtWidgets.QLineEdit(self.centralwidget)
45         self.projektname.setEnabled(True)
46         font = QtGui.QFont()
47         font.setPointSize(13)
48         self.projektname.setFont(font)
49         self.projektname.setContextMenuPolicy(QtCore.Qt.DefaultContextMenu)
50         self.projektname.setInputMethodHints(QtCore.Qt.ImhNone)
51         self.projektname.setText("")
52         self.projektname.setAlignment(QtCore.Qt.AlignCenter)
53         self.projektname.setObjectName("projektname")
54         self.verticalLayout.addWidget(self.projektname)
55         spacerItem1 = QtWidgets.QSpacerItem(20, 100, QtWidgets.QSizePolicy.Minimum, QtWidgets.QSizePolicy.Ignored)
56         self.verticalLayout.addItem(spacerItem1)
57         self.label_2 = QtWidgets.QLabel(self.centralwidget)
58         self.label_2.setEnabled(True)
59         font = QtGui.QFont()
60         font.setPointSize(16)
61         font.setBold(True)
62         font.setWeight(75)
63         self.label_2.setFont(font)
64         self.label_2.setObjectName("label_2")
65         self.verticalLayout.addWidget(self.label_2)
66         self.horizontalLayout_3 = QtWidgets.QHBoxLayout()
67         self.horizontalLayout_3.setObjectName("horizontalLayout_3")
68         self.einlaufdicke_label = QtWidgets.QLabel(self.centralwidget)
69         font = QtGui.QFont()
70         font.setPointSize(13)
71         self.einlaufdicke_label.setFont(font)
72         self.einlaufdicke_label.setScaledContents(True)

```

```

73     self.einlaufdicke_label.setObjectName("einlaufdicke_label")
74     self.horizontalLayout_3.addWidget(self.einlaufdicke_label)
75     spacerItem2 = QtWidgets.QSpacerItem(85, 20, QtWidgets.QSizePolicy.Preferred, QtWidgets.QSizePolicy.Minimum)
76     self.horizontalLayout_3.addItem(spacerItem2)
77     self.einlaufdicke = QtWidgets.QLineEdit(self.centralwidget)
78     font = QtGui.QFont()
79     font.setPointSize(13)
80     self.einlaufdicke.setFont(font)
81     self.einlaufdicke.setText("")
82     self.einlaufdicke.setAlignment(QtCore.Qt.AlignCenter)
83     self.einlaufdicke.setObjectName("einlaufdicke")
84     self.horizontalLayout_3.addWidget(self.einlaufdicke)
85     self.einlaufdicke_einheit = QtWidgets.QLabel(self.centralwidget)
86     font = QtGui.QFont()
87     font.setPointSize(13)
88     self.einlaufdicke_einheit.setFont(font)
89     self.einlaufdicke_einheit.setObjectName("einlaufdicke_einheit")
90     self.horizontalLayout_3.addWidget(self.einlaufdicke_einheit)
91     self.verticalLayout.addLayout(self.horizontalLayout_3)
92     self.horizontalLayout_4 = QtWidgets.QHBoxLayout()
93     self.horizontalLayout_4.setObjectName("horizontalLayout_4")
94     self.auslaufdicke_label = QtWidgets.QLabel(self.centralwidget)
95     font = QtGui.QFont()
96     font.setPointSize(13)
97     self.auslaufdicke_label.setFont(font)
98     self.auslaufdicke_label.setScaledContents(True)
99     self.auslaufdicke_label.setObjectName("auslaufdicke_label")
100    self.horizontalLayout_4.addWidget(self.auslaufdicke_label)
101    spacerItem3 = QtWidgets.QSpacerItem(75, 20, QtWidgets.QSizePolicy.Preferred, QtWidgets.QSizePolicy.Minimum)
102    self.horizontalLayout_4.addItem(spacerItem3)
103    self.auslaufdicke = QtWidgets.QLineEdit(self.centralwidget)
104    font = QtGui.QFont()
105    font.setPointSize(13)
106    self.auslaufdicke.setFont(font)
107    self.auslaufdicke.setText("")
108    self.auslaufdicke.setAlignment(QtCore.Qt.AlignCenter)
109    self.auslaufdicke.setObjectName("auslaufdicke")
110    self.horizontalLayout_4.addWidget(self.auslaufdicke)
111    self.auslaufdicke_einheit = QtWidgets.QLabel(self.centralwidget)
112    font = QtGui.QFont()
113    font.setPointSize(13)
114    self.auslaufdicke_einheit.setFont(font)
115    self.auslaufdicke_einheit.setObjectName("auslaufdicke_einheit")
116    self.horizontalLayout_4.addWidget(self.auslaufdicke_einheit)
117    self.verticalLayout.addLayout(self.horizontalLayout_4)
118    spacerItem4 = QtWidgets.QSpacerItem(20, 100, QtWidgets.QSizePolicy.Minimum, QtWidgets.QSizePolicy.Ignored)
119    self.verticalLayout.addItem(spacerItem4)
120    self.label_3 = QtWidgets.QLabel(self.centralwidget)
121    font = QtGui.QFont()
122    font.setPointSize(16)
123    font.setBold(True)
124    font.setWeight(75)
125    self.label_3.setFont(font)
126    self.label_3.setObjectName("label_3")
127    self.verticalLayout.addWidget(self.label_3)
128    self.horizontalLayout = QtWidgets.QHBoxLayout()
129    self.horizontalLayout.setObjectName("horizontalLayout")
130    self.gedruckte_laenge_Label = QtWidgets.QLabel(self.centralwidget)
131    self.gedruckte_laenge_Label.setEnabled(True)
132    font = QtGui.QFont()
133    font.setPointSize(13)
134    self.gedruckte_laenge_Label.setFont(font)
135    self.gedruckte_laenge_Label.setScaledContents(True)
136    self.gedruckte_laenge_Label.setObjectName("gedruckte_laenge_Label")
137    self.horizontalLayout.addWidget(self.gedruckte_laenge_Label)
138    spacerItem5 = QtWidgets.QSpacerItem(30, 20, QtWidgets.QSizePolicy.Preferred, QtWidgets.QSizePolicy.Minimum)
139    self.horizontalLayout.addItem(spacerItem5)
140    self.gedruckte_laenge = QtWidgets.QLineEdit(self.centralwidget)
141    font = QtGui.QFont()
142    font.setPointSize(13)
143    self.gedruckte_laenge.setFont(font)
144    self.gedruckte_laenge.setText("")
145    self.gedruckte_laenge.setAlignment(QtCore.Qt.AlignCenter)
146    self.gedruckte_laenge.setObjectName("gedruckte_laenge")
147    self.horizontalLayout.addWidget(self.gedruckte_laenge)
148    self.gedruckte_laenge_Einheit = QtWidgets.QLabel(self.centralwidget)

```

```

149     font = QtGui.QFont()
150     font.setPointSize(13)
151     self.gedrueckte_laenge_Einheit.setFont(font)
152     self.gedrueckte_laenge_Einheit.setObjectName("gedrueckte_laenge_Einheit")
153     self.horizontalLayout.addWidget(self.gedrueckte_laenge_Einheit)
154     self.verticalLayout.addLayout(self.horizontalLayout)
155     self.horizontalLayout_7 = QtWidgets.QHBoxLayout()
156     self.horizontalLayout_7.setObjectName("horizontalLayout_7")
157     self.handradwinkel_label = QtWidgets.QLabel(self.centralwidget)
158     font = QtGui.QFont()
159     font.setPointSize(13)
160     self.handradwinkel_label.setFont(font)
161     self.handradwinkel_label.setScaledContents(True)
162     self.handradwinkel_label.setObjectName("handradwinkel_label")
163     self.horizontalLayout_7.addWidget(self.handradwinkel_label)
164     spacerItem6 = QtWidgets.QSpacerItem(120, 20, QtWidgets.QSizePolicy.Preferred, QtWidgets.QSizePolicy.Minimum)
165     self.horizontalLayout_7.addItem(spacerItem6)
166     self.gerustmodul = QtWidgets.QLineEdit(self.centralwidget)
167     font = QtGui.QFont()
168     font.setPointSize(13)
169     self.gerustmodul.setFont(font)
170     self.gerustmodul.setText("")
171     self.gerustmodul.setAlignment(QtCore.Qt.AlignCenter)
172     self.gerustmodul.setObjectName("gerustmodul")
173     self.horizontalLayout_7.addWidget(self.gerustmodul)
174     self.gerustmodul_einheit = QtWidgets.QLabel(self.centralwidget)
175     font = QtGui.QFont()
176     font.setPointSize(13)
177     self.gerustmodul_einheit.setFont(font)
178     self.gerustmodul_einheit.setObjectName("gerustmodul_einheit")
179     self.horizontalLayout_7.addWidget(self.gerustmodul_einheit)
180     self.verticalLayout.addLayout(self.horizontalLayout_7)
181     self.horizontalLayout_8 = QtWidgets.QHBoxLayout()
182     self.horizontalLayout_8.setObjectName("horizontalLayout_8")
183     self.dickenabnahme_label = QtWidgets.QLabel(self.centralwidget)
184     font = QtGui.QFont()
185     font.setPointSize(13)
186     self.dickenabnahme_label.setFont(font)
187     self.dickenabnahme_label.setScaledContents(True)
188     self.dickenabnahme_label.setObjectName("dickenabnahme_label")
189     self.horizontalLayout_8.addWidget(self.dickenabnahme_label)
190     spacerItem7 = QtWidgets.QSpacerItem(4, 20, QtWidgets.QSizePolicy.Preferred, QtWidgets.QSizePolicy.Minimum)
191     self.horizontalLayout_8.addItem(spacerItem7)
192     self.dickenabnahme = QtWidgets.QLineEdit(self.centralwidget)
193     font = QtGui.QFont()
194     font.setPointSize(13)
195     self.dickenabnahme.setFont(font)
196     self.dickenabnahme.setText("")
197     self.dickenabnahme.setAlignment(QtCore.Qt.AlignCenter)
198     self.dickenabnahme.setObjectName("dickenabnahme")
199     self.horizontalLayout_8.addWidget(self.dickenabnahme)
200     self.dickenabnahme_einheit = QtWidgets.QLabel(self.centralwidget)
201     font = QtGui.QFont()
202     font.setPointSize(13)
203     self.dickenabnahme_einheit.setFont(font)
204     self.dickenabnahme_einheit.setObjectName("dickenabnahme_einheit")
205     self.horizontalLayout_8.addWidget(self.dickenabnahme_einheit)
206     self.verticalLayout.addLayout(self.horizontalLayout_8)
207     spacerItem8 = QtWidgets.QSpacerItem(20, 400, QtWidgets.QSizePolicy.Minimum, QtWidgets.QSizePolicy.Preferred)
208     self.verticalLayout.addItem(spacerItem8)
209     self.horizontalLayout_9 = QtWidgets.QHBoxLayout()
210     self.horizontalLayout_9.setObjectName("horizontalLayout_9")
211     self.berechnung = QtWidgets.QPushButton(self.centralwidget)
212     font = QtGui.QFont()
213     font.setPointSize(16)
214     self.berechnung.setFont(font)
215     self.berechnung.setObjectName("berechnung")
216     self.horizontalLayout_9.addWidget(self.berechnung)
217     self.visualisierung = QtWidgets.QPushButton(self.centralwidget)
218     font = QtGui.QFont()
219     font.setPointSize(16)
220     self.visualisierung.setFont(font)
221     self.visualisierung.setObjectName("visualisierung")
222     self.horizontalLayout_9.addWidget(self.visualisierung)
223     self.verticalLayout.addLayout(self.horizontalLayout_9)
224     self.datenexport = QtWidgets.QPushButton(self.centralwidget)

```

```

224 self.datenexport = QtWidgets.QPushButton(self.centralwidget)
225 font = QtGui.QFont()
226 font.setPointSize(16)
227 self.datenexport.setFont(font)
228 self.datenexport.setObjectName("datenexport")
229 self.verticalLayout.addWidget(self.datenexport)
230 self.gridLayout.addLayout(self.verticalLayout, 1, 1, 1, 1)
231 spacerItem9 = QtWidgets.QSpacerItem(20, 10, QtWidgets.QSizePolicy.Minimum, QtWidgets.QSizePolicy.Ignored)
232 self.gridLayout.addItem(spacerItem9, 0, 0, 1, 1)
233 spacerItem10 = QtWidgets.QSpacerItem(50, 20, QtWidgets.QSizePolicy.Ignored, QtWidgets.QSizePolicy.Minimum)
234 self.gridLayout.addItem(spacerItem10, 1, 0, 1, 1)
235 spacerItem11 = QtWidgets.QSpacerItem(20, 50, QtWidgets.QSizePolicy.Minimum, QtWidgets.QSizePolicy.Ignored)
236 self.gridLayout.addItem(spacerItem11, 2, 0, 1, 1)
237 MainWindow.setCentralWidget(self.centralwidget)
238 self.menubar = QtWidgets.QMenuBar(MainWindow)
239 self.menubar.setGeometry(QtCore.QRect(0, 0, 1366, 21))
240 self.menubar.setObjectName("menubar")
241 MainWindow.setMenuBar(self.menubar)
242 self.statusbar = QtWidgets.QStatusBar(MainWindow)
243 self.statusbar.setObjectName("statusbar")
244 MainWindow.setStatusBar(self.statusbar)
245
246 self.retranslateUi(MainWindow)
247 QtCore.QMetaObject.connectSlotsByName(MainWindow)
248
249 def retranslateUi(self, MainWindow):
250     _translate = QtCore.QCoreApplication.translate
251     MainWindow.setWindowTitle(_translate("MainWindow", "MainWindow"))
252     self.label.setText(_translate("MainWindow", "Projekt"))
253     self.pfad.setText(_translate("MainWindow", "pfad"))
254     self.label_2.setText(_translate("MainWindow", "Walzparameter"))
255     self.einlaufdicke_label.setText(_translate("MainWindow", "Einlaufdicke h_0"))
256     self.einlaufdicke_einheit.setText(_translate("MainWindow", "mm "))
257     self.auslaufdicke_label.setText(_translate("MainWindow", "Auslaufdicke h_1"))
258     self.auslaufdicke_einheit.setText(_translate("MainWindow", "mm "))
259     self.label_3.setText(_translate("MainWindow", "Berechnung"))
260     self.gedruetzte_laenge_Label.setText(_translate("MainWindow", "Gedrückte Länge l_d"))
261     self.gedruetzte_laenge_Einheit.setText(_translate("MainWindow", "mm "))
262     self.handradwinkel_label.setText(_translate("MainWindow", "Gerüstmodul C"))
263     self.geruestmodul_einheit.setText(_translate("MainWindow", "kN/mm"))
264     self.dickenabnahme_label.setText(_translate("MainWindow", "Max. Dickenabnahme "))
265     self.dickenabnahme_einheit.setText(_translate("MainWindow", "mm "))
266     self.berechnung.setText(_translate("MainWindow", "Berechnung"))
267     self.visualisierung.setText(_translate("MainWindow", "Visualisierung"))
268     self.datenexport.setText(_translate("MainWindow", "Daten exportieren"))
269

```

## Anhang C11: Quellcode „main.py“ (GUI)

```

1 import sys
2 import os
3 import subprocess
4 from qtpy import QtWidgets
5 from gui.mainwindow import Ui_MainWindow
6 from module import berechnung, diagramme_gui, sensordata, neues_projekt, walzspaltzustellung, zeitschritte
7 import matplotlib
8 matplotlib.use('Qt5Agg')
9 from matplotlib.backends.backend_qt5agg import FigureCanvasQTAgg
10 from matplotlib.figure import Figure
11 from PyQt5.QtWidgets import QApplication, QMainWindow, QMenu, QVBoxLayout, QSizePolicy, QMessageBox, QWidget, QPushButton, QAction, QLineEdit, QI
12 from PyQt5.QtGui import QIcon
13 import random
14 import numpy as np
15
16 # -----
17 # Name: Marcel Sorger
18 # Datum der Letzten Änderung: .07.2020
19 # Version: PyCharm Community Edition 2019.3.4, Qt Creator 4.11.2 (Community)
20
21 # Anmerkung:
22 # "build.py" ausführen um die Dateien im Ordner "gui" umzuwandeln, damit diese von "main.py" verwendet werden können.
23
24 # Beschreibung:
25 # Visualisierung():
26 #   Initialisiert alle Diagramme des GUI mit den aktuellen Daten.
27
28 # MainWindow().update_plot():
29 #   Initialisiert alle Diagramme erneut um sie im GUI zu aktualisieren.
30
31 # MainWindow().daten_exportieren():
32 #   Exportiert die im GUI angezeigten Daten in den vom Benutzer benannten Projektordner.
33
34 # MainWindow().auswertung():
35 #   Berechnet die gedrückte Länge, den Gerüstmodul und die maximale Dickenabnahme mit den im GUI vom Benutzer
36 #   eingegebenen Einlauf- und Auslaufhöhe.
37
38 # -----
39
40 class Visualisierung(FigureCanvasQTAgg):
41     def __init__(self, parent = None):
42         width, height = 21, 21.5
43         fig = Figure(figsize=(width, height), dpi=100)
44         FigureCanvasQTAgg.__init__(self, fig)
45         self.setParent(parent)
46         FigureCanvasQTAgg.setSizePolicy(self, QtWidgets.QSizePolicy.Expanding, QtWidgets.QSizePolicy.Expanding)
47         FigureCanvasQTAgg.updateGeometry(self)
48         self.move(1000, -150)
49         self.fig = fig
50
51         self.plot()
52
53     def plot(self):
54         global all_data
55         all_data = sensordata.CsvReader().read()
56         size_title = 25
57         size_labels = 18
58         size_ticks = 14
59
60         # Gerüstkennlinie:
61         s, F_ges, s_new, F_ges_new = diagramme_gui.Geruestkennlinie(all_data).geruestkennlinie()
62         ax1 = self.figure.add_subplot(221) # Erstellen eines Subplots
63         ax1.scatter(s, F_ges, color='r', zorder=1) # Plot der Datenpunkte als ScatterPlot (PunktpLOT)
64         ax1.plot(s_new, F_ges_new(s_new), color='b', zorder=2) # Plot des Diagrammes
65         ax1.set_axisbelow(True)
66         ax1.xaxis.grid(color='gray', linestyle='dashed') # Initialisieren des x-Gitters
67         ax1.yaxis.grid(color='gray', linestyle='dashed') # Initialisieren des y-Gitters
68         ax1.set_title("Gerüstkennlinie", fontsize=size_title) # Plottitel
69         ax1.set_xlabel("Walzspalt [mm]", fontsize=size_labels) # Beschriftung der x-Achse
70         ax1.set_ylabel("Walzkraft F_ges [N]", fontsize=size_labels) # Beschriftung der y-Achse
71         ax1.tick_params(axis='x', labelsize=size_ticks) # Größe der x-Achsenbeschriftung
72         ax1.tick_params(axis='y', labelsize=size_ticks) # Größe der y-Achsenbeschriftung
73
74         # Zahnradwinkel
75         t, alpha = diagramme_gui.Diagramme(all_data).zahnradwinkel()
76         ax2 = self.figure.add_subplot(222)
77         ax2.scatter(t, alpha, color='r', zorder=1)
78         ax2.plot(t, alpha, color='b', zorder=2)
79         ax2.set_axisbelow(True)
80         ax2.xaxis.grid(color='gray', linestyle='dashed')
81         ax2.yaxis.grid(color='gray', linestyle='dashed')
82         ax2.set_title("Zahnradwinkel", fontsize=size_title)
83         ax2.set_xlabel("Zeit t [s]", fontsize=size_labels)
84         ax2.set_ylabel("Zahnradwinkel [°]", fontsize=size_labels)
85         ax2.tick_params(axis='x', labelsize=size_ticks)
86         ax2.tick_params(axis='y', labelsize=size_ticks)
87

```

```

88     # Walzkräfte:
89     t_li, F_li, t_re, F_re = diagramme_gui.Diagramme(all_data).kraft()
90     ax3 = self.figure.add_subplot(223)
91     ax3.scatter(t_li, F_li, color='r', zorder=1)
92     ax3.plot(t_li, F_li, color='orange', zorder=2, label="Kraftmessdose links")
93     ax3.scatter(t_re, F_re, color='r', zorder=1)
94     ax3.plot(t_re, F_re, color='b', zorder=2, label="Kraftmessdose rechts")
95     ax3.set_axisbelow(True)
96     ax3.xaxis.grid(color='gray', linestyle='dashed')
97     ax3.yaxis.grid(color='gray', linestyle='dashed')
98     ax3.set_title("Walzkräfte", fontsize=size_title)
99     ax3.set_xlabel("Zeit t [s]", fontsize=size_labels)
100    ax3.set_ylabel("Walzkraft F [N]", fontsize=size_labels)
101    ax3.tick_params(axis='x', labelsize=size_ticks)
102    ax3.tick_params(axis='y', labelsize=size_ticks)
103    ax3.legend(loc="upper left", fontsize=size_ticks)
104
105    # Auffederung:
106    t, s = diagramme_gui.Diagramme(all_data).auffederung()
107    ax4 = self.figure.add_subplot(224)
108    ax4.scatter(t, s, color='r', zorder=1)
109    ax4.plot(t, s, color='b', zorder=2)
110    ax4.set_axisbelow(True)
111    ax4.xaxis.grid(color='gray', linestyle='dashed')
112    ax4.yaxis.grid(color='gray', linestyle='dashed')
113    ax4.set_title("Auffederung", fontsize=size_title)
114    ax4.set_xlabel("Zeit t [s]", fontsize=size_labels)
115    ax4.set_ylabel("Auffederung s [mm]", fontsize=size_labels)
116    ax4.tick_params(axis='x', labelsize=size_ticks)
117    ax4.tick_params(axis='y', labelsize=size_ticks)
118
119    self.draw()
120
121
122    class MainWindow(QtWidgets.QMainWindow):
123    def __init__(self, parent = None):
124        super().__init__(parent)
125
126        self.ui = Ui_MainWindow()
127        self.ui.setupUi(self)
128
129        # Visualisierung der Daten/Visualisierung
130        Visualisierung(self)
131
132        # BUTTONS & BEFEHLE:
133        self.ui.berechnung.clicked.connect(self.auswertung)
134        self.ui.visualisierung.clicked.connect(self.update_plot)
135        self.ui.datenexport.clicked.connect(self.daten_exportieren)
136
137        # Navigationsleiste:
138        self.statusBar().showMessage('Ready')
139        mainMenu = self.menuBar()
140        mainMenu.setNativeMenuBar(False)
141        fileMenu = mainMenu.addMenu('Projekt')
142        helpMenu = mainMenu.addMenu('Hilfe')
143
144        # Menüpunkt "Projekt wählen"
145        projektauswahl = QAction(QIcon('exit.png'), 'Projekt wählen', self)
146        projektauswahl.setShortcut('Ctrl+P')
147        projektauswahl.triggered.connect(self.projekt_auswahl)
148        fileMenu.addAction(projektauswahl)
149
150        # Menüpunkt "Schließen"
151        exitButton = QAction(QIcon('exit24.png'), 'Schließen', self)
152        exitButton.setShortcut('Ctrl+Q')
153        exitButton.setStatusTip('Exit application')
154        exitButton.triggered.connect(self.close)
155        fileMenu.addAction(exitButton)
156
157        #self.setMinimumSize(1366, 768) # Größe des Fensters beim Start der GUI (Lenovo: 1366, 768)
158        self.setWindowTitle("GUI Walzwerk") # Titel des Fensters
159        self.ui.pfad.setText("L:/010_LUT/Digitalisierung/Walzwerk/Versuche/...") # Ablagepfad des Projektes
160        self.showMaximized()
161
162    def update_plot(self):
163        path_to_interpreter = sys.executable
164        path_to_file = "D://Uni/Master/Master-Arbeit/Arbeit/Python Implementiert/main.py"
165
166        subprocess.call([path_to_interpreter, path_to_file])
167        sys.exit(app.exec_())
168
169    def projekt_auswahl(self):
170        file = str(QFileDialog.getExistingDirectory(self, "Projekt wählen"))
171

```

```

172 def daten_exportieren(self):
173     if self.ui.projektname.text() != "" and self.ui.projektname.text() != "Bitte Projektnamen wählen":
174         # Modul "neues_projekt"
175         projekt = str(self.ui.projektname.text())
176         neues_projekt.Neues_Projekt(projekt).anlegen()
177         #projektname = neues_projekt.Neues_Projekt.get_projektname()
178
179         # Modul "sensordata"
180         #all_data = sensordata.CsvReader().read() # all_data = [t1 z1 z2 z3 z4] = [t1 Aufg. Kraft1 Kraft2 Winkel]
181         sensordata.CsvWriter().export_all()
182         sensordata.CsvWriter().export_summary()
183         #print(all_data)
184     else:
185         self.ui.projektname.setText("Bitte Projektnamen wählen")
186
187 def auswertung(self):
188     def is_float(string):
189         try:
190             float(string)
191             return True
192         except ValueError:
193             return False
194
195     if (is_float(self.ui.einlaufdicke.text()) and is_float(self.ui.auslaufdicke.text())) is True and \
196         (float(self.ui.einlaufdicke.text()) and float(self.ui.auslaufdicke.text())) > 0 and \
197         float(self.ui.einlaufdicke.text()) > float(self.ui.auslaufdicke.text()):
198         # Modul "berechnung"
199         h_0 = round(float(self.ui.einlaufdicke.text()), 3)
200         h_1 = round(float(self.ui.auslaufdicke.text()), 3)
201
202         l_d = round(berechnung.Berechnung().gedruckte_laenge(h_0, h_1), 3) # h_0 und h_1 noch als String erkannt
203         #alpha = round(berechnung.Berechnung().greifwinkel(h_0, h_1), 3)
204         delta_h_max = round(berechnung.Berechnung().maximale_dickenabnahme(), 3)
205         C = round(berechnung.Berechnung().geruestmodul(all_data), 3)
206
207         self.ui.gedruckte_laenge.setText(str(l_d))
208         self.ui.geruestmodul.setText(str(C))
209         self.ui.dickenabnahme.setText(str(delta_h_max))
210
211         # Modul "Walzspaltzustellung"
212         delta_alpha = walzspaltzustellung.Zustellung(all_data).zustellung()
213
214     else:
215         self.ui.einlaufdicke.setText("")
216         self.ui.auslaufdicke.setText("")
217         self.ui.gedruckte_laenge.setText("")
218         self.ui.geruestmodul.setText("")
219         self.ui.dickenabnahme.setText("")
220
221
222
223 app = QtWidgets.QApplication(sys.argv)
224 window = MainWindow()
225 window.show()
226
227 sys.exit(app.exec_())

```

## Anhang D: Datenblätter

Dem folgenden Anhang können die Datenblätter der verwendeten Hardware entnommen werden.

### Anhang D1: Linearpotentiometer

Das Datenblatt des Linearpotentiometers Megatron RC13-75 [41] kann dem Anhang D1 entnommen werden.

#### Datenblatt für Wegsensoren



Linearpotentiometer (Leitplastik)

Serie RC13



Die Serie RC13 in Schutzart IP60 wird in Applikationen eingesetzt, die eine Wegsensor mit einseitig geführter Schubstange mit Messlängen von 25 bis 250 mm benötigen. Die drei Bauarten erschließen ein breites Anwendungsfeld.

- Linearpotentiometer (Leitplastikelement) mit nahezu unendlicher Auflösung
- Messlängen von 25 mm bis 250 mm
- Hohe Lebensdauer (100 Mio. Achsbewegungen)

Die Variante mit Gelenkköpfen gleicht Bewegungen quer zur Schubstange aus, so dass auch nicht lineare Bewegungen einfach und spannungsfrei angekoppelt werden können.

Elektrische Daten	RC13-25	RC13-50	RC13-75	RC13-100	RC13-125	RC13-150	RC13-200	RC13-250
Elektrisch wirksamer Einstellweg (+1 - 0 mm) 1.)	25	50	75	100	125	150	200	250
Gesamter elektrisch Einstellweg (mm) 1.)	26 ±1	51 ±1	76 ±1	101 ±1	126 ±1	151 ±1	201 ±1	251 ±1
Gesamtwiderstand 1.)	1 kOhm	2 kOhm	3 kOhm	4 kOhm	5 kOhm	6 kOhm	8 kOhm	6 kOhm
Widerstandstoleranz	±20 %							
Unabhängige Linearität (beste Gerade) 1.)	±0,2 %	±0,1 %			±0,05 %			
Theoretische Auflösung 1.)	Nahezu unendlich							
Max. / empfohlener Schleiferstrom 1.)	1 mA (@40 °C, 1 min im Fehlerfall) / <1 µA							
Nennbelastbarkeit @40 °C (0 W @120 °C)	≤ 0,5 W	≤ 1 W	≤ 1,5 W	≤ 2 W	≤ 2,5 W	≤ 3 W		
Isolationsspannung 1.)	<100 µA @500 VAC, 1bar, 2s							
Isolationswiderstand 1.)	100 MOhm @ 500 VDC, 1bar, 2s							

Mechanische Daten, Umgebungsdaten, sonstiges	RC13-25	RC13-50	RC13-75	RC13-100	RC13-125	RC13-150	RC13-200	RC13-250
Mechanischer Einstellweg (mm) 1.)	25 +5	50 +5	75 +5	100 +5	125 +5	150 +5	200 +5	250 +5
Lebensdauer (90 % el. wirksamer Einstellweg) 2.)	>25 Mio. Meter oder 100 Mio. Bewegungen (es gilt der jeweils kleinere Wert)							
Max. Betätigungsgeschwindigkeit	< 10 m/s							
Betätigungskraft @ RT 1.) 2.)	≤ 0,5 N							
Betriebstemperaturbereich	-30..+100 °C							
Lagertemperaturbereich	-50..+120 °C							
Schutzart (IEC60529)	IP60							
Vibration (IEC 68-2-6, Test Fc)	20 g (10..2000 Hz, 0,75 mm)							
Schock (IEC 68-2-27, Test Ea)	50 g, Halbsinus, 11 ms							
Gehäuselänge Bauart M (mm)	74,5	99,5	124,5	149,5	174,5	199,5	249,5	299,5
Gehäuselänge Bauart G (mm)	102	127	152	177	202	227	277	327
Gehäuselänge Bauart F (mm)	74,5	99,5	124,5	149,5	174,5	199,5	249,5	299,5

## Anhang D2: Winkelsensor

Das Datenblatt des Winkelsensors ASM posihall PH36-V01-31T-I1-CW-M12A5 [42] kann dem Anhang D2 entnommen werden.

posihall®  
PH36



PH36 - Magnetischer Multiturn-Encoder  
**Variante mit Analog-Ausgang**

### Technische Daten

		Bestellvarianten	
Welle	Vollwelle 6 mm Vollwelle 10 mm	<b>1</b>	V01 V02
Messbereich	Bis 31 x 360° (31 Umdrehungen) 1 Umdrehung, 2 Umdrehungen bis 31 Umdrehungen	<b>2</b>	1T 2T ... 31T
Ausgang	Spannung 0,5 ... 10 V Spannung 0,5 ... 4,5 V Spannung 0,5 ... 4,5 V Strom 4 ... 20 mA, 3-Leiter-Technik	<b>3</b>	U2 U6 U8 I1
Auflösung	Bis 16 Bit		
Wiederholgenauigkeit	0,1°		
Linearität	±(2° + 0,015% vom Messbereich)		
Gehäusematerial	Aluminium (Gehäuse), Edelstahl (Welle)		
Befestigung	Befestigungsexzenter, Befestigungsplatte		
Schutzart	IP67 wellenseitig IP67/69 gehäuseseitig (nur mit IP69-Gegenstecker)		
Signalverlauf	Signal rechtsdrehend ansteigend Signal linksdrehend ansteigend	<b>4</b>	CW CCW
Elektrischer Anschluss	M12-Stecker, axial, 5-polig	<b>5</b>	M12A5
Maximale Drehzahl (mech.)	Max. 10.000 U/min		
Zulässige Wellenbelastung	20 N radial, 10 N axial		
Lagerlebensdauer	1,5 x 10 <sup>10</sup> Umdrehungen (4500 h bei 6000 U/min)		
Schockbelastung	DIN EN 60068-2-27:2010, 100 g/11 ms, 100 Schocks		
Vibration	DIN EN 60068-2-6:2008, 20 g 10 Hz-2 kHz, 10 Zyklen		
Temperaturbereich	-40 ... +85°C		
Gewicht	ca. 120 g		
EMV	DIN EN 61326-1:2013		

### Bestellcode

PH36 – **1** – **2** – **3** – **4** – **5**

Bestellbeispiel: PH36 – V01 – 31T – I1 – CW – M12A5

<b>I1</b> Stromausgang 4 ... 20 mA, Dreileiter 	Versorgungsspannung	8 ... 36 V DC
	Stromaufnahme	typisch 36 mA bei 24 V DC typisch 70 mA bei 12 V DC max. 120 mA
	Bürde $R_L$	500 $\Omega$ max.
	Ausgangsstrom	4 ... 20 mA
	Messrate	1 kHz Standard
	Stabilität (Temperatur)	$\pm 50 \times 10^{-6}$ / °C vom Messbereich (typisch)
	Elektrischer Schutz	Gegen Verpolung, Kurzschluss
	Arbeitstemperatur	siehe Modellspezifikation
	EMV	DIN EN 61326-1:2013

Anschlussbelegung	Signal	Stecker PIN	Kabeladerfarbe
<b>Stecker M12, 5-polig</b>  Sicht auf die Steckerkontakte des Sensors	Versorgung +	1	braun
	Signal	2	weiß
	GND	3	blau
	Nicht anschließen!	4	schwarz
	Nicht anschließen!	5	(grau)

## Anhang D3: mv-Transmitter

Das Datenblatt des Winkelsensors PR Electronics mV-Transmitter 2261 [43] kann dem Anhang D3 entnommen werden.



PERFORMANCE  
MADE  
SMARTER

### Millivolt Signalgeber



#### 2261

- Wägezellenverstärker
- mV für Strom- / Spannungsumformung
- Frontprogrammierbar / LED-Display
- Verhältniskalibrierung der Eingangsmessspanne
- NPN- / PNP-Eingang für externe Tarierung
- Versorgung für Standard-Umformer



#### Erweiterte Merkmale

- Konfiguration über Benutzerschnittstelle mit einem 3-ziffrigen Display und 3 Funktionstasten in der Gerätefront.

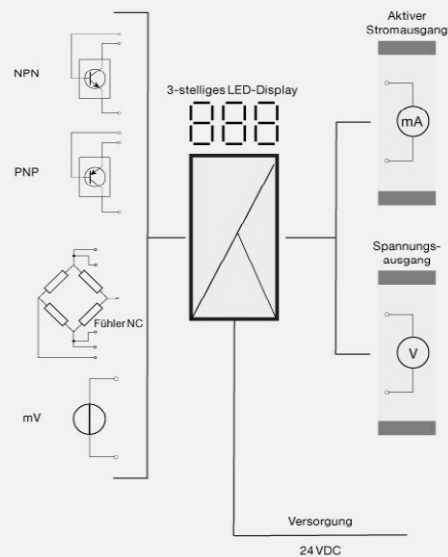
#### Anwendung

- 2261 wandelt bipolare mV-Signale von Umformern, die direkt vom Gerät versorgt werden, in Standard-Strom- / Spannungssignale.
- Der 2261 eignet sich für Wägezellenanwendungen sowie für andere Anwendungen wie Tankentleerung /-füllung, Wiegung mit Selbsttarierung, Kabelzugkraftmessung, Niveaumessung, Signalumsetzung / -verstärkung usw.

#### Technische Merkmale

- Leuchtdiode für Fehlanzeige in der Gerätefront.
- Der Analogeingang kann auf Spannungen im Bereich -40...100 mVDC frei programmiert werden.
- Das digitale Signal kann als NPN (Kurzschluss mit Masse) oder PNP (+24 VDC) gewählt werden.
- Die Tarierung kann entweder über den Digitaleingang erfolgen oder von der Gerätevorderseite aus gewählt werden.
- Der Analogausgang kann auf Strom im Bereich 0...20 mA oder Spannung im Bereich 0...10 VDC frei programmiert werden.
- Umformerversorgung, die von der Gerätefront aus auf 5...13 VDC programmiert werden kann. Der Benutzer muss sicherstellen, dass die Versorgung mit maximal 230 mA belastet werden (z. B. 6 Stück 350-Ω-Wägezellen in Parallelschaltung).
- Fühler-Eigang (wenn die Umformerversorgung benutzt wird) zur Kompensation des Leiterwiderstandes zum Umformer.
- Montierbar auf ein Standard 11-poligen Sockel, welcher auf DIN-Schiene oder der Montageplatte montiert werden kann, mit PR 7023 Adapter und 7024 Kodier-Ring. Bei starken Vibrationen kann der PR 7002 Sicherungsbügel für die Serie 2200 auf Relaissockel verwendet werden.

#### Anwendungen



**Bestellangaben:**

Typ
2261

**Umgebungsbedingungen**

Betriebstemperatur.....	-20°C bis +60°C
Kalibrierungstemperatur.....	20...28°C
Relative Luftfeuchtigkeit.....	< 95% RF (nicht kond.)
Schutzart.....	IP50

**Mechanische Spezifikationen**

Abmessungen (HxBxT).....	80,5 x 35,5 x 84,5 mm (T ohne Kontaktstifte)
Gewicht, ca.....	130 g

**Allgemeine Spezifikationen**

**Versorgung**

Versorgungsspannung.....	19,2...28,8 VDC
Leistungsbedarf, max.....	7,2 W
Verlustleistung.....	2,2 W

**Ansprechzeit**

Ansprechzeit (programmierbar).....	0,06...999 s
Signal- / Rauschverhältnis.....	Min. 60 dB
Aktualisierungszeit.....	20 ms
Signaldynamik, Eingang.....	17 Bit
Signaldynamik, Ausgang.....	16 Bit
Einfluss von Änderung der Versorgungsspannung.....	< ±0,002% d. Messsp. / %V
Temperaturkoeffizient.....	< ±0,01% d. Messsp. / °C
Linearitätsfehler.....	< 0,1% d. Messsp.
Hilfsspannung: Umformerversorgung.....	5...13 VDC
Belastung (max.).....	230 mA
EMV-Immunitätswirkung.....	< ±0,5% d. Messsp.

**Eingangsspezifikationen**

**Allgemeine Eingangsspezifikationen**

Max. Nullpunktverschiebung (Offset).....	70% d. gew. Max.-Wertes
--	-------------------------

**Spannungseingang**

Messbereich.....	-40...100 mV
Min. Messbereich (Spanne).....	10 mV
Eingangswiderstand.....	> 10 MΩ
Überbelastung.....	0...999% der gewählten Messspanne
NPN, Digitaleingang.....	Pull up 24 VDC / 6,9 mA
PNP, Digitaleingang.....	Pull down 0 VDC / 6,9 mA
Trig-Niveau NIEDRIG, NPN/PNP.....	< 6 VDC
Trig-Niveau HOCH, NPN/PNP.....	> 10,5 VDC
Impulslänge.....	> 30 ms

**Ausgangsspezifikationen**

**Stromausgang**

Signalbereich.....	0...20 mA
Min. Signalbereich.....	5 mA
Belastung (bei Stromausgang).....	≤ 600 Ω
Belastungsstabilität.....	≤ 0,01% d. Messsp. / 100 Ω
Strombegrenzung.....	< 23 mA

**Spannungsausgang über internen**

Shunt (1).....	Siehe Manual
d. Messspanne.....	= der gewählten Messspanne (1)

**Eingehaltene Behördenvorschriften**

EMV.....	2014/30/EU
EAC.....	TR-CU 020/2011

2261-052820